Hong Kong Exchanges and Clearing Limited et The Stock Exchange of Hong Kong Limited n'assument aucune responsabilité quant au contenu de la présente annonce, ne font aucune déclaration quant à son exactitude ou à son exhaustivité et déclinent expressément toute responsabilité pour toute perte, quelle qu'elle soit, découlant de tout ou partie du contenu de la présente annonce ou s'y rapportant.



MMG LIMITED

五礦資源有限公司

(Société à responsabilité limitée constituée à Hong Kong)

(STOCK CODE: 1208)

RAPPORT DE PRODUCTION DU PREMIER TRIMESTRE

POUR LES TROIS MOIS SE CLÔTURANT AU 31 MARS 2020

Cette annonce est faite conformément à la Règle 13.09 des règles régissant la Cotation des Titres de la Bourse de Hong Kong Limited (Règles de Cotation) et aux dispositions relatives aux Informations Privilégiées (telles que définies dans les règles de cotation) de la partie XIVA de l'ordonnance sur les titres et les contrats à terme (chapitre 571 des lois de Hong Kong).

Le Conseil d'Administration (CA) de MMG Limited (Société ou MMG) a le plaisir de fournir le Rapport de Production du Premier Trimestre pour les trois mois se clôturant au 31 mars 2020.

Ce rapport est annexé à la présente annonce.

Par ordre du Conseil d'Administration

MMG Limited

GAO Xiaoyu

PDG et Directeur Exécutif

Hong Kong, 23 Avril 2020

À la date de cette annonce, le Conseil d'Administration comprend huit directeurs, dont un est un directeur exécutif, à savoir M. Gao Xiaoyu ; quatre sont des directeurs non exécutifs, à savoir M. Guo Wenqing (Président), M. Jiao Jian, M. Zhang Shuqiang et M. Xu Jiqing ; et trois sont des directeurs non exécutifs indépendants, à savoir Dr Peter William Cassidy, M. Leung Cheuk Yan et M. Chan Ka Keung, Peter

RAPPORT DE PRODUCTION DU PREMIER TRIMESTRE 2020

POUR LES TROIS N	MOIS SE CLÔTU	RANT AU 31 M	ARS 2020		
	1T20	1T20 VS 1T19	1T20 VS 4T19	YTD20	YTD20 VS YTD19
Cathode de Cuivre (tonnes)					
Kinsevere	18.207	45%	-11%	18.207	45%
Total	18.207	45%	-11%	18.207	45%
Cuivre (Métal contenu dans le concentré, tonnes)					
Las Bambas	73.319	-28%	-26%	73.319	-28%
Rosebery	385	2%	-11%	385	2%
Total	73.704	-28%	-26%	73.704	-28%
Zinc (métal contenu dans le concentré, tonnes)					
Dugald River	35.505	-8%	-26%	35.505	-8%
Rosebery	17.452	-6%	-23%	17.452	-6%
Total	52.957	-7%	-25%	52.957	-7%
Plomb (métal contenu dans le concentré, tonnes)					
Dugald River	4.277	-16%	-37%	4.277	-16%
Rosebery	5.666	-4%	-17%	5.666	-4%
Total	9.943	-9%	-27%	9.943	-9%
Molybdène (métal contenu dans le concentré, tonnes)					
Las Bambas	124	-76%	-48%	124	-76%
Total	124	-76%	-48%	124	-76%

POINTS CLES

- Fréquence Totale des Blessures Enregistrables (TRIF) de 1,59 par million d'heures prestées pour le premier trimestre de 2020.
- La production totale de cuivre de 91 911 tonnes était inférieure de 24 % à celle de la période précédente, en grande partie en raison des perturbations sociales et opérationnelles à Las Bambas.
- À Las Bambas, les niveaux de production ont été affectés en janvier et février par les réparations du convoyeur terrestre de minerai, ainsi que par les barrages le long du corridor routier du sud du Pérou qui ont temporairement restreint la logistique d'entrée et de sortie entre le 27 janvier et le 8 février.
- D'autres perturbations de l'activité minière et de production à Las Bambas ont résulté de l'état d'urgence national qui a été déclaré pour la première fois le 15 mars, en réponse à la pandémie du COVID-19. En raison de l'état

- d'urgence et d'autres restrictions sanitaires, le transport des concentrés a été suspendu, et la circulation des personnes et des produits essentiels est considérablement restreinte.
- La production de cathodes de cuivre de Kinsevere, de 18 207 tonnes, a été conforme au plan pour le premier trimestre et de 45 % supérieure à la période correspondante de 2019, ce qui reflète un retour à l'exploitation de la mine Centrale.
- La production de zinc de 52 957 tonnes a été largement conforme aux prévisions.
- À Rosebery, la production de zinc de 17 452 tonnes a été inférieure de 6 % à celle de la période correspondante de l'année précédente, ce qui reflète la baisse prévue des teneurs du minerai, ainsi que la diminution des volumes de broyage, les travaux se poursuivant pour améliorer la flexibilité de la mine en réponse à l'instabilité sismique en profondeur.
- À Dugald River, la production de zinc a atteint 35 505 tonnes, avec des teneurs d'alimentation plus faibles et des difficultés temporaires de récupération qui ont affecté le résultat.
- MMG continue de lutter de manière proactive contre la pandémie du COVID-19, en travaillant en étroite collaboration avec les autorités nationales des pays concernés pour protéger la santé et la sécurité de ses employés, des communautés d'accueil et des autres parties prenantes. À ce jour, aucun cas de COVID-19 n'a été recensé sur un site de MMG.
- Les conséquences de la perturbation des communautés et du COVID-19 sur la production, ainsi que l'incertitude persistante concernant l'impact continu des contraintes liées au virus, ont entraîné le retrait des prévisions pour Las Bambas
- Constatant la possibilité d'autres impacts et l'incertitude continue associée à la pandémie du COVID-19, la société maintient à ce stade ses prévisions de production et de coûts C1 pour l'année entière pour Kinsevere, Dugald River et Rosebery.
- Des résultats positifs continuent d'être obtenus en ce qui concerne les programmes de forage autour des centres d'exploitation existants. Les forages réalisés au cours du premier trimestre 2020 à Las Bambas prolongent et confirment les interceptions à haute teneur (>1%) précédemment signalées dans la zone sud-ouest de Chalcobamba, et des résultats significatifs d'analyse du cuivre et du cobalt ont été reçus au cours du trimestre dans le cadre des programmes de forage à Sokoroshe II et Nambulwa, en République démocratique du Congo.

COVID-19

MMG continue de lutter de manière proactive contre la pandémie du COVID-19, en travaillant en étroite collaboration avec les autorités nationales des pays concernés pour protéger la santé et la sécurité de ses employés, des communautés d'accueil et des autres parties prenantes. À ce jour, aucun cas de COVID-19 n'a été recensé sur un site de MMG.

La société a mis en place des plans de continuité des activités au niveau de l'entreprise et des régions afin d'aider les communautés et les autorités locales à limiter la propagation du COVID-19, et de contribuer à atténuer les risques opérationnels. Ces plans sont gérés par des équipes de gestion de crise qui se réunissent quotidiennement, sous la supervision de l'équipe de direction de MMG. Dans la mesure du possible, des dispositions de travail flexibles et à distance ont été mises en place pour limiter les interactions en face à face. Un dépistage accru par les équipes médicales de site, ainsi que des ajustements aux listes du personnel de site et des procédures d'isolement et de quarantaine pour les employés arrivant sur des sites de campement éloignés ont également été introduits. Ces mesures sont renforcées par des communications régulières avec les employés, qui visent à promouvoir la distanciation sociale et les meilleures pratiques en matière de gestion de la santé et de l'hygiène.

En outre, la société a mis en œuvre une série d'initiatives pour soutenir les initiatives de riposte et de sensibilisation au COVID-19 dans ses communautés d'accueil. Cela comprend un financement et un soutien supplémentaires pour les directions sanitaires locales et régionales, un approvisionnement en EPI essentiels, la communication de conseils nationaux de santé publique dans les langues officielles et indigènes par l'intermédiaire des stations de radio communautaires et au moyen de dépliants et d'affiches, ainsi que d'autres soutiens directs aux communautés locales lorsqu'un besoin est identifié.

Le 15 mars, le Gouvernement du Pérou a déclaré l'état d'urgence national et a pris d'autres mesures pour limiter la propagation du COVID-19. Cet état d'urgence est toujours en vigueur et a été prolongé par le Gouvernement

Péruvien à plusieurs reprises. En raison de cette situation, Las Bambas a fonctionné, conformément aux directives nationales et aux mesures de protection de la santé des entreprises, à des niveaux réduits d'exploitation minière et de production. Le transport de concentrés a été suspendu, et la circulation des personnes et des produits essentiels est considérablement restreinte.

Avec les mesures de protection susmentionnées en place, les opérations se sont largement poursuivies normalement en Australie et en République Démocratique du Congo (RDC), avec des impacts relativement limités de la pandémie du COVID-19.

MMG continue à gérer prudemment sa position de liquidité, avec plus de 510 millions de dollars US en espèces et en facilités de trésorerie non utilisées disponibles pour la coentreprise Las Bambas et 310 millions de dollars US supplémentaires disponibles dans ses autres filiales au 31 mars. La société conserve le soutien ferme de son actionnaire majoritaire et de ses partenaires de financement et poursuit de manière proactive des mesures visant à améliorer encore sa position de liquidité, à réduire les dépenses discrétionnaires et à revoir les besoins en capitaux à court terme.

PRIX, COMMERCIALISATION ET VENTE DES MATIÈRES PREMIÈRES

	PRIX, COMME	RCIALISATION ET	VENTE DES MAT	TÈRES PREMIÈRES	S		
	MOY	ENNE DU TRIME	STRE	CLOTURE DU TRIMESTRE			
	1T20	4T19	1T19	1T20	4T19	1T19	
Prix des Métaux							
Cuivre (US\$/lb)	2.56	2.83	2.82	2.18	2.79	2.94	
Or (US\$/oz)	1.583	1.548	1.304	1.607	1.523	1.293	
Plomb (US\$/lb)	0.84	0.88	0.92	0.78	0.87	0.92	
Molybdène (US\$/lb)	9.64	9.14	11.79	8.43	9.20	12.13	
Argent (US\$/oz)	16.90	18.29	15.57	13.93	18.05	15.10	
Zinc (US\$/lb)	0.97	1.04	1.23	0.85	1.04	1.36	

Sources : zinc, plomb et cuivre : Prix de règlement en espèces à la LME ; Molybdène: Platts ; or et argent: LBMA.

Les prix des métaux de base ont considérablement baissé au cours du premier trimestre 2020, alors que l'impact économique mondial de la pandémie du COVID-19 devenait de plus en plus évident. Les prix du cuivre et du zinc ont chuté respectivement de 22 % et 19 % au cours de cette période. Le prix du plomb a connu une légère amélioration, chutant de 10 %, en partie grâce à des facteurs de demande liés aux besoins de remplacement des batteries au plomb pour les véhicules.

Après un premier redressement en janvier et février, le prix de l'or a fortement chuté en mars, en même temps que les marchés des actions, les investisseurs cherchant à liquider leurs positions après la déclaration officielle d'une pandémie mondiale par l'Organisation Mondiale de la Santé. Le prix de l'or s'est redressé à la fin du trimestre, terminant en hausse de 5 % par rapport au début de l'année. Le prix de l'argent a clôturé en baisse de 22 % pour le trimestre, en raison d'une baisse significative de la demande industrielle.

Le comportement du marché des concentrés de cuivre a changé au cours de la période. Les restrictions liées au COVID-19 au cours de la première partie du trimestre ont limité la production des fonderies chinoises, ce qui a suscité des inquiétudes initiales quant à une éventuelle offre excédentaire de concentrés. Cependant, le marché s'est ressaisi en mars, avec la reprise de l'activité des fonderies chinoises et l'interruption de l'approvisionnement en concentrés en provenance d'Amérique du Sud en raison de la baisse de production des principales mines. Les termes des concentrés au comptant ont commencé l'année en dessous des niveaux des contrats de référence annuels, avant d'augmenter régulièrement en février, reflétant les impacts directs du COVID-19 sur les fonderies chinoises. Elles sont maintenant revenues à un niveau inférieur à celui des contrats annuels, car les fonderies recherchent une alimentation stable et sûre en concentrés. Malgré les changements de tendance du marché au cours du trimestre, la demande en concentré de cuivre dans les fonderies primaires devrait encore dépasser la croissance de l'offre des mines en 2020.

Les expéditions de MMG de Las Bambas au cours du trimestre ont été inférieures aux prévisions en raison d'interruptions logistiques liées à la communauté en janvier et début février. Suite à la déclaration par le gouvernement du Pérou de l'état d'urgence nationale et à d'autres mesures visant à contenir la propagation du COVID-19, la logistique des concentrés a été affectée et suspendue, les stocks de concentrés au port de Matarani étant épuisés. En conséquence, la force majeure a été déclarée sur les accords de vente de concentrés de cuivre et de molybdène de Las Bambas. Pour nos clients, toutes les cargaisons expédiées de Las Bambas vers des ports d'outremer au cours du trimestre ont été déchargées et reçues dans les ports de destination, sans aucune interruption majeure.

Les frais de traitement au comptant du zinc ont augmenté en 2019 et au début de 2020, sur la base des prévisions d'entrée en production d'une capacité supplémentaire de mines de zinc dans le monde. Conformément à cette tendance, il a été signalé en mars que Korea Zinc et Teck Resources ont fixé à 299,75 \$/dmt les frais généraux de traitement du concentré de zinc pour 2020, qui servent de référence dans de nombreux contrats annuels. Ceci a marqué une augmentation de 54,75 \$/dmt par rapport aux frais de traitement de zinc de 245 \$/dmt de 2019. Par la suite, les frais de traitement sur le marché au comptant ont commencé à diminuer considérablement en faveur des mineurs, car la production minière a chuté en raison des effets du COVID-19, alors que la demande des fonderies reste stable. Les termes des concentrés de plomb se sont également améliorés au cours de la dernière partie du trimestre. La demande de concentrés de zinc et de plomb de qualité de MMG reste forte, les expéditions de concentrés des mines de Dugald River et de Rosebery se déroulant sans problème au cours du trimestre.

TARIFICATION PREVISIONNELLE

Le tableau suivant donne un aperçu du métal qui a été vendu mais dont le prix reste provisoirement inchangé à la fin du premier trimestre 2020 et du mois où le prix moyen final devrait être établi au moment de la facturation provisoire.

	PRIX D'OUVERTURE AU 01 AVRIL 2020										
	AVR-20	MAI-20	JUIN-20	JUIL-20	TOTAL						
Cuivre (tonnes de cathode et de cuivre contenues dans le concentré)	49.527	3.709	3.606		56.842						
Or (onces)	7.953	486	2.193		10.632						
Plomb (tonnes)	1.607		2.875		4.482						
Molybdène (en livres)			177.536	204,778	382.314						
Argent (onces)	452.978	44.052	296.415		793.445						
Zinc (tonnes)	17.560	3.880	8.464		29.904						

OPERATIONS

LAS BAMBAS

		LAS BAMBA	AS		
	1T20	1T20 VS 1T19	1T20 VS 4T19	YTD20	YTD20 VS YTD19
Cuivre (tonnes)	73.319	-28%	-26%	73.319	-28%
Molybdène (tonnes)	124	-76%	-48%	124	-76%

Résultats du premier trimestre

Las Bambas a produit 73 319 tonnes de cuivre sous forme de concentré de cuivre au cours du premier trimestre. Cela représente une baisse de 26 % par rapport à la période précédente et reflète la réduction des volumes d'extraction et de broyage, qui ont chuté de 12 % et 23 % respectivement.

Les activités d'extraction et de traitement ont été affectées au cours de la période par les réparations du convoyeur terrestre de minerai et les perturbations logistiques liées à la communauté en janvier et février. À partir de la mi-mars,

les effets indirects de la pandémie COVID-19 ont également eu un impact négatif sur les niveaux d'activité des sites. Ces impacts ont été partiellement compensés par des teneurs en minerai plus élevées, qui ont dépassé les prévisions pour le trimestre.

La production de molybdène pour le premier trimestre a également été inférieure à celle de la période précédente. Ceci est principalement dû aux travaux de décongestion de l'usine de molybdène, qui ont débuté en 2019. L'usine de molybdène est actuellement en cours de mise en service et de montée en puissance. On s'attend à ce que ces travaux entraînent une augmentation de la production de molybdène lorsque les opérations reviendront à la normale.

Le 27 janvier, une série de barrages communautaires a commencé le long du corridor routier du sud du Pérou. Ces actions ont perturbé la logistique d'entrée et de sortie de Las Bambas, ainsi que les opérations de plusieurs autres sociétés minières qui utilisent les routes publiques affectées. La livraison du charroi minier supplémentaire a également été retardée par le blocus. Pendant ce temps, des réparations ont également été nécessaires sur le convoyeur terrestre de Las Bambas, qui transporte le minerai concassé vers l'usine de traitement. Cela a temporairement limité l'approvisionnement régulier de minerai vers l'usine.

Le 8 février, le gouvernement du Pérou a déclaré un état d'urgence de 30 jours le long de certaines sections du corridor routier du sud. Cela a permis de mettre fin aux barrages communautaires et de faciliter la reprise progressive des opérations normales et des activités logistiques. Cet état d'urgence a ensuite été reconduit pour une nouvelle période de 30 jours le 7 mars. La compagnie a poursuivi un dialogue constructif avec les communautés le long de la route et le gouvernement national concernant les solutions alternatives possibles au transport actuel de concentré.

Le 15 mars, le gouvernement du Pérou a déclaré l'état d'urgence national et a également annoncé d'autres mesures pour limiter la propagation du COVID-19. En conséquence, l'activité normale d'exploitation à Las Bambas a de nouveau été perturbée, avec des limites imposées à la disponibilité de la main-d'œuvre et à la logistique d'entrée et de sortie. Bien que l'activité d'extraction et de traitement sur le site se soit poursuivie, le niveau d'activité et la conformité aux plans miniers initiaux ont été progressivement compromis. Le transport de concentré a également été considérablement limité et est actuellement suspendu. Bien que, dans un premier temps, il n'ait été mis en place que pour une période de 14 jours, le gouvernement du Pérou a fait de nouvelles déclarations selon lesquelles les restrictions resteront en place au moins jusqu'au dimanche 26 avril.

Comme l'indique le rapport de production du quatrième trimestre 2019, environ 50 000 tonnes de cuivre métallique étaient stockées sur le site de la mine de Las Bambas au 31 décembre 2019. Ce stock a été progressivement réduit au cours de l'année 2020, en dépit d'importants défis logistiques au cours du trimestre. Les stocks sont passés sous la barre des 40 000 tonnes à la fin du mois de février, mais les impacts liés au COVID-19 ont entraîné une augmentation progressive jusqu'à environ 45 000 tonnes au 31 mars. Il est prévu que ce stock soit transporté au port de Matarani le plus tôt possible.

Prévisions revues

En raison de l'incertitude inhérente à COVID-19 et de ses impacts sur les opérations de Las Bambas, le 13 avril, MMG a retiré ses prévisions pour 2020 pour Las Bambas. La société travaille sur une série de scénarios de reprise une fois les restrictions levées et informera le marché lorsqu'il y aura une plus grande certitude quant aux perspectives et au calendrier de retour à la normale des opérations. Cela comprendra une actualisation des impacts éventuels sur le développement et le calendrier d'autorisation de la mine de Chalcobamba.

Malgré les effets du COVID-19, la société continue de prévoir que Las Bambas livrera environ deux millions de tonnes de production de cuivre au cours de la période de cinq ans allant de 2021 à 2025.

Au-delà de 2025, la société continue à mettre en place une série de programmes de développement pour maintenir un profil de production solide à Las Bambas. Les résultats positifs des forages, détaillés dans la section "Géosciences et Découvertes" ci-dessous, continuent de soutenir la conviction de la société quant au potentiel d'expansion de la mine existante de Chalcobamba et reflètent également la nature très prometteuse des concessions de Las Bambas de manière plus générale.

KINSEVERE

		KINSEVERE			
	1T20	1T20 VS 1T19	1T20 VS 4T19	YTD20	YTD20 VS YTD19
Cathode de Cuivre (tonnes)	18.207	45%	-11%	18.207	45%

Résultats du premier trimestre

Kinsevere a produit 18 207 tonnes de cathodes de cuivre au cours du premier trimestre. Cela représente une amélioration de 45 % par rapport à la période comparative de l'année précédente et fait suite à la reprise de l'exploitation de la mine Centrale, avec des améliorations associées de la teneur du minerai. La baisse de la production de cathodes par rapport au dernier trimestre de 2019 est largement imputable à la réduction du débit de l'usine. Cette baisse est due aux caractéristiques défavorables du minerai, qui ont également eu un impact sur les récupérations par l'accumulation de fines dans les cuves de lixiviation. L'effet de cette situation a été partiellement compensé par des teneurs d'alimentation supérieures aux prévisions. Des ajustements sont apportés au circuit de traitement pour limiter les impacts à l'avenir.

Les volumes d'extraction ont été inférieurs à ceux du dernier trimestre de 2019, en grande partie en raison de l'impact de la saison des pluies. Cela a entraîné des changements dans le plan de programmation de la mine qui permettront de reporter à plus tard dans l'année l'accès aux zones à plus forte teneur, les niveaux de dilution étant plus faciles à gérer durant la saison sèche. Les restrictions locales temporaires liées au COVID-19 ont limité les mouvements de personnes et ont également eu un impact sur les volumes miniers au cours du mois de mars. Cependant, cela n'a pas eu d'impact direct sur l'activité de l'usine de traitement, étant donné la disponibilité des stocks de minerai sur le site.

Perspectives de 2020

Compte tenu de l'incertitude persistante associée à COVID-19, MMG maintient à ce stade ses prévisions actuelles pour 2020 pour Kinsevere, avec une production de 68 000 à 75 000 tonnes de cathodes de cuivre et des coûts de C1 de 1,80 à 1,95 \$ US/lb. La société continue d'étudier les possibilités de prolonger la durée de vie de Kinsevere. Des études sont en cours pour la prochaine phase du projet Kinsevere, notamment l'ajout d'un circuit de traitement du minerai de sulfure et de cobalt à côté du circuit d'oxyde existant. Comme indiqué précédemment, la société prévoit de prendre une décision sur ce projet au cours du second semestre 2020.

DUGALD RIVER

		DUGALD RIVER			
	1T20	1T20 VS 1T19	1T20 VS 4T19	YTD20	YTD20 VS YTD19
Métal contenu dans les concentrés					
Zinc (tonnes)	35.505	-8%	-26%	35.505	-8%
Plomb (tonnes)	4.277	-16%	-37%	4.277	-16%

Résultats du premier trimestre

Dugald River a produit 35 505 tonnes de zinc sous forme de concentré de zinc et 4 277 tonnes de plomb sous forme de concentré de plomb au cours du premier trimestre 2020. Les volumes d'extraction et de broyage de 462 570 et 443 378 tonnes respectivement ont été conformes au plan et continuent de démontrer la capacité de Dugald River à fonctionner durablement au-delà de sa capacité nominale.

Les volumes d'extraction et de broyage du premier trimestre à Dugald River sont généralement inférieurs aux autres périodes en raison du temps humide. Le minerai extrait au cours du premier trimestre de 2020 était nettement plus élevé (18 %) que la période comparative de l'année précédente, ce qui reflète les importantes inondations à Dugald River au début de l'année 2019.

L'épuisement du minerai de pré-mise en service au cours du second semestre 2019 a entraîné une baisse des stocks de minerai en surface au début de 2020, limitant le débit de l'usine pour la période jusqu'à ce qu'un excédent soit établi vers la fin du trimestre. Le broyage a également été affecté par des besoins de maintenance imprévus, notamment des coupures d'électricité liées au temps pluvieux. Cette situation, combinée à des teneurs en minerai et des taux de récupération plus faibles, a entraîné des volumes de production de métaux inférieurs à ceux du trimestre précédent et des périodes comparatives de l'année précédente. La baisse des teneurs reflète en partie le séquençage de la mine, en plus d'une dilution plus importante que prévu dans la mine Sud. La baisse des taux de récupération a été largement confinée à la première moitié de la période, l'amélioration des procédés de broyage ayant permis d'obtenir des améliorations en mars.

Perspectives de 2020

Après une montée en puissance agressive et réussie en 2019, les travaux en 2020 continueront à se concentrer sur l'ouverture de nouvelles zones d'exploitation, afin d'assurer une alimentation régulière de l'usine en minerai. L'optimisation des récupérations sera un domaine d'intérêt majeur pour l'usine de traitement. Ces travaux seront essentiels pour garantir que Dugald River reste sur la bonne voie pour atteindre une capacité minière annuelle de deux millions de tonnes et une production cible d'équivalent zinc supérieure à 200 kt par an, d'ici 2022.

Compte tenu de l'incertitude persistante liée à COVID-19, MMG maintient à ce stade ses prévisions actuelles pour 2020 pour Dugald River, avec une production de 170 000 à 180 000 tonnes de zinc sous forme de concentré de zinc et des coûts de C1 de 0,70-0,75 USD/lb.

ROSEBERY

		ROSEBERY			
	1T20	1T20 VS 1T19	1T20 VS 4T19	YTD20	YTD20 VS YTD19
Métal contenu dans les concentrés					
Zinc (tonnes)	17.452	-6%	-23%	17.452	-6%
Plomb (tonnes)	5.666	-4%	-17%	5.666	-4%
Cuivre (tonnes)	385	2%	-11%	385	2%

Résultats du premier trimestre

Rosebery a produit 17 452 tonnes de zinc sous forme de concentré de zinc au cours du premier trimestre, ce qui, avec la production de plomb et de cuivre, est conforme aux attentes. Les effets de la réduction du débit ont été partiellement compensés par des teneurs en minerai broyé plus élevées que prévu au cours de la période. La baisse de la production de métal par rapport au quatrième trimestre de 2019 et à la période comparative de l'année précédente s'explique à la fois par la diminution du débit de l'usine et par la baisse des teneurs en minerai.

D'importants stocks de minerai en surface au début de 2020 ont permis un débit élevé en janvier. Toutefois, une fois ces stocks épuisés, l'impact continu de deux événements sismiques en 2019, ainsi que la poursuite de l'activité sismique et l'amélioration des pratiques de gestion des risques, ont limité l'accès aux fronts miniers existants et limité l'activité de minage. Ces restrictions ont temporairement réduit la production minière, avec un impact sur les volumes de broyage.

Bien que supérieure aux prévisions pour le trimestre, une baisse générale des teneurs par rapport aux périodes précédentes est conforme aux avis donnés précédemment au marché et reflète la nature des corps minéralisés dans les zones plus profondes de la mine auxquelles on accède actuellement.

Perspectives de 2020

À court terme, la planification minière continuera à donner la priorité au développement de zones minières à faible risque sismique et à améliorer la flexibilité de la mine. L'usine de traitement reste axée sur l'optimisation des récupérations afin de compenser les baisses prévues de la teneur du minerai à mesure que la mine s'enfonce dans des zones plus profondes.

Comme indiqué précédemment, MMG reste déterminé à prolonger la durée de vie de la mine de Rosebery. Le forage d'extension des ressources s'est poursuivi au cours de la période et des études sur les stratégies de gestion durable à long terme des rejets sont également en cours d'élaboration.

Compte tenu de l'incertitude persistante associée au COVID-19, MMG maintient à ce stade ses prévisions actuelles pour 2020 pour Rosebery, avec une production de 55 000 à 65 000 tonnes de zinc sous forme de concentré de zinc et des coûts de C1 de 0,20-0,30 \$US/lb.

GÉOSCIENCES ET DÉCOUVERTE

Des activités de forage ont été menées sur le site de Las Bambas au Pérou, ainsi que la découverte et la délimitation de gisements satellites d'oxyde de cuivre dans un rayon d'environ 50 km (RAD50) de la mine de Kinsevere. Les principales activités de la société au cours du trimestre sont détaillées ci-dessous.

LAS BAMBAS

Les forages réalisés au cours du premier trimestre 2020 à Las Bambas prolongent et confirment la minéralisation en cuivre du skarn et du porphyre proche de la surface dans la zone sud-ouest de Chalcobamba (figure 1).

La zone Chalcobamba Sud-Ouest est située immédiatement au sud-ouest de l'actuelle mine de la réserve de minerai de Chalcobamba (figure 2). Un skarn de cuivre cohérent à plus haute teneur (>1% Cu) est situé sous une intrusion de diorite non minéralisée peu profonde avec une orientation EO et plonge doucement vers le S (figures 4 et 5). Les contrôles géologiques supplémentaires de la minéralisation à haute teneur comprennent : des failles, des marges de dykes et une stratigraphie favorable qui s'oriente vers le nord-nord-ouest et plonge modérément vers le sud-ouest. Les interceptions de forage situées sur les côtés E et SE du site sont dominées par une minéralisation de type porphyrique, tandis qu'une minéralisation de type skarn à plus haute teneur est située à l'ouest.

Telle qu'elle est actuellement définie, l'empreinte en surface du skarn et de la minéralisation porphyrique mesure 500 mètres dans une direction EO et 300 mètres dans une direction NS. La minéralisation porphyrique à faible teneur (0,2 % à 0,5 % de Cu) contient par produit du molybdène allant de 200 à 700 ppm (voir annexe).

Au total, 20 trous de forage ont été réalisés au cours du premier trimestre 2020. Les analyses de 11 de ces trous de forage ont été reçues depuis le rapport de production du Quatrième Trimestre 2019. Les résultats sont résumés dans l'annexe (trous de forage : CHS19-099 à CHEX20-12. Les points principaux sont les suivants :

•	Trou CHS19-100	70.60m @ 2.50% Cu à partir de 56.00m
•	Trou CHEX20-001	26.00m @ 2.22% Cu à partir de 37.0m 40.40m @ 1.07% Cu à partir de 72.6m 44.10m @ 1.01% Cu à partir de 114.4m
•	Trou CHEX20-002	19.40m @ 1.10% Cu à partir de 54.0m 36.85m @ 1.55% Cu à partir de 126.0m
•	Trou CHEX20-008	19.00m @ 2.06% Cu à partir de 78.0m 56.60m @ 1.47% Cu & 314 ppm Mo à partir de 221.4m

En raison des difficultés d'accès, la plupart des trous de forage sont percés à des angles obliques par rapport aux caractéristiques géologiques de contrôle et les longueurs d'intervalle signalées dépassent donc l'épaisseur réelle. Ces trous de forage ont été réalisés dans le cadre d'un programme de forage en cours à des fins hydrogéologiques, géotechniques et de stérilisation qui a recoupé des minéralisations. Les emplacements actuels des forages limitent la capacité de tester toutes les cibles et la possibilité de confirmer l'épaisseur réelle de la minéralisation. Le forage se poursuivra à partir des plates-formes actuelles jusqu'à ce que de nouveaux emplacements de forage aient été autorisés, ce qui est prévu pour le second semestre 2020. Un résumé de tous les résultats de forage obtenus à ce jour dans le cadre de ce programme est fourni en annexe et les colliers de forage sont présentés à la figure 2.

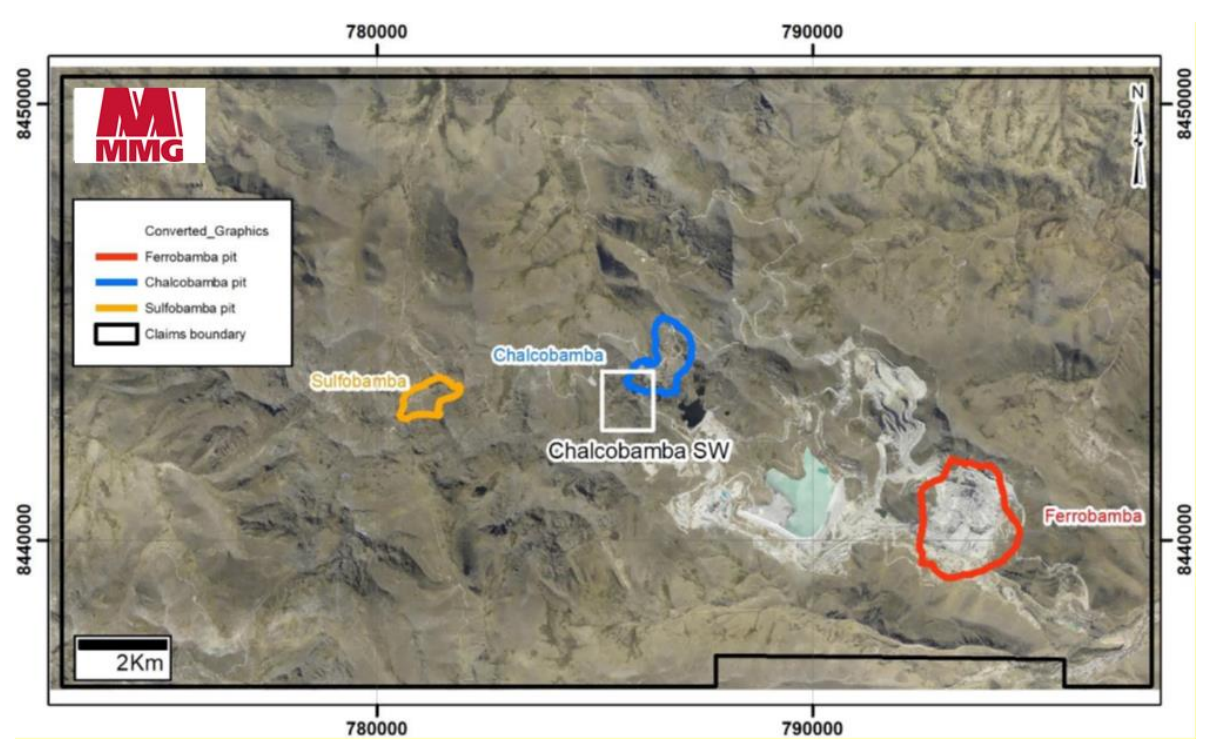


Figure 1. Présentation des concessions minières de Las Bambas mettant en évidence l'emplacement des réserves de minerai et des ressources minérales ainsi que la zone d'exploration de la zone de Chalcobamba Sud-Ouest.

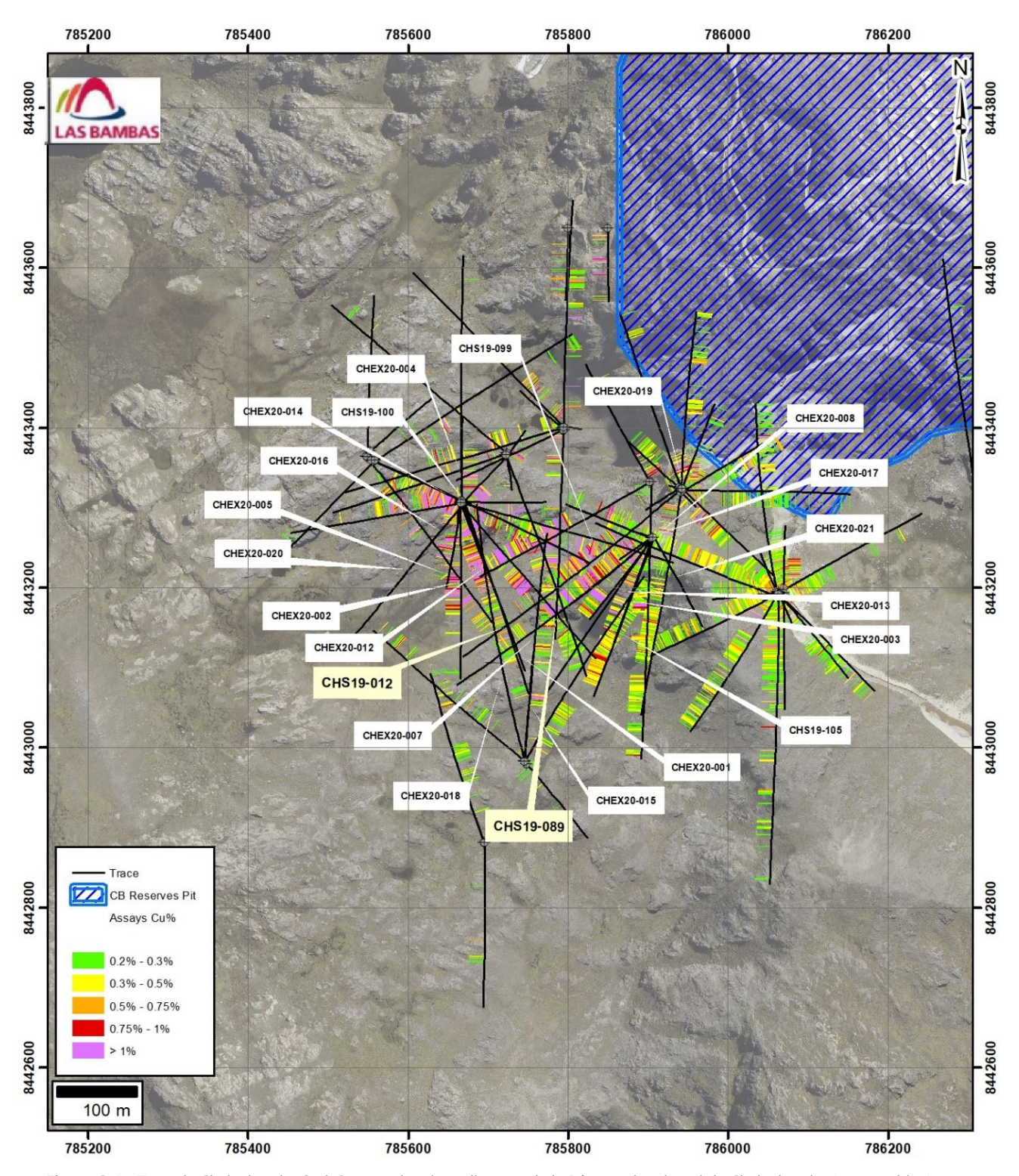


Figure 2. La Zone de Chalcobamba Sud-Ouest et la mine adjacente de la Réserve de minerai de Chalcobamba (contour bleu) sont représentées avec les traces de tous les trous de forage et les teneurs en cuivre du fond de trou. Les trous de forage avec des étiquettes blanches ont été forés en 2020. Les étiquettes des trous de forage en jaune clair indiquent certains trous de forage qui ont été réalisés en 2019 à titre de référence.

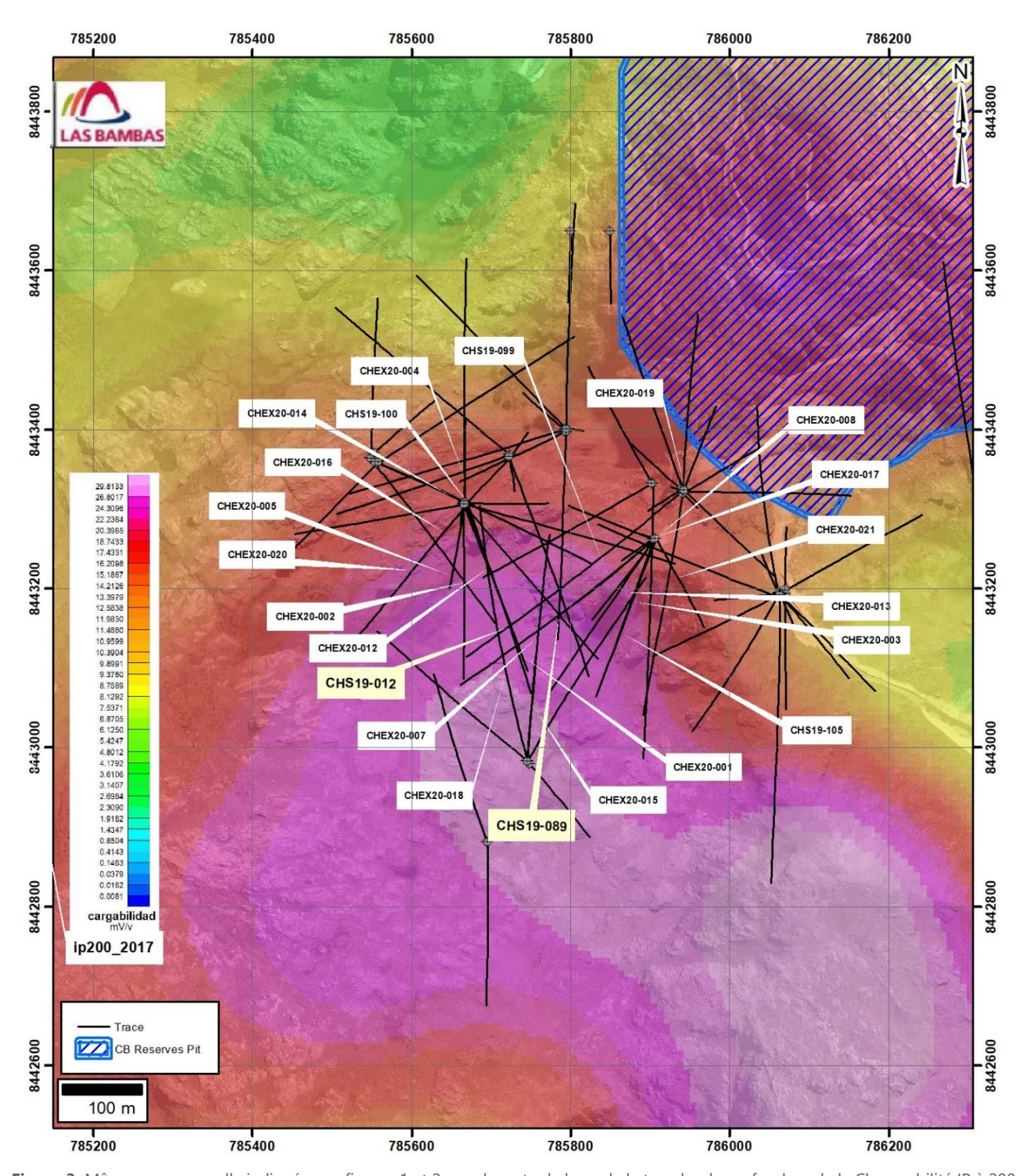


Figure 3. Même zone que celle indiquée aux figures 1 et 2 avec la carte de base de la tranche de profondeur de la Chargeabilité IP à 200 mètres. Les trous de forage avec des étiquettes blanches ont été forés en 2020. Les étiquettes des trous de forage en jaune clair indiquent les trous de forage réalisés en 2019.

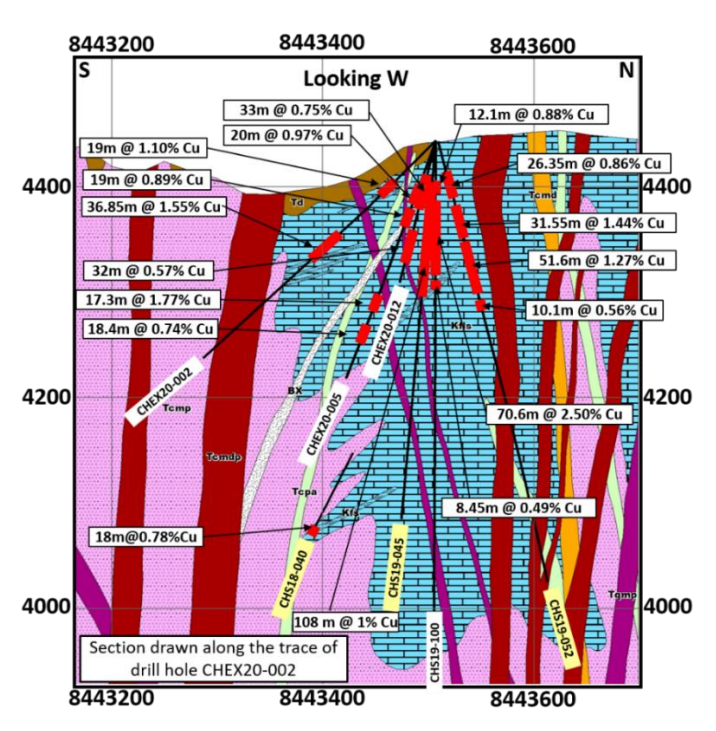


Figure 4. Coupe transversale géologique tracée le long de la trace du trou de forage CHEX20-002. Les étiquettes des trous de forage avec un fond jaune clair indiquent les trous qui ont été forés en 2019. Alors que les étiquettes blanches des trous de forage indiquent les trous de forage qui ont été réalisés en 2020.

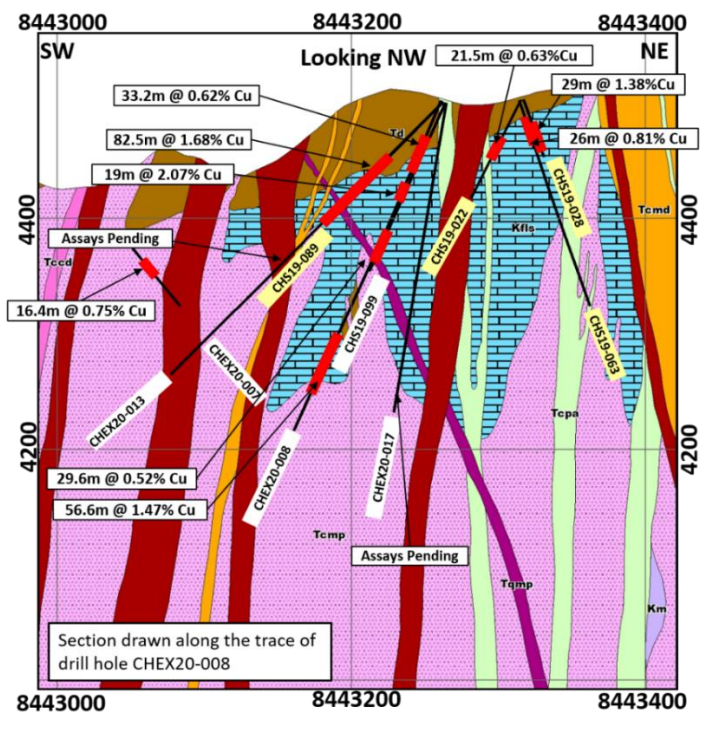


Figure 4. Sections transversales géologiques dessinées le long de la trace des trous de forage CHEX20-008.Les étiquettes des trous de forage avec un fond jaune clair indiquent les trous qui ont été forés en 2019. Alors que les étiquettes blanches des trous de forage indiquent les trous qui ont été réalisés en 2020.

DRC

Au cours du premier trimestre 2020, les activités d'exploration ont continué à se concentrer principalement sur le développement de gisements satellites d'oxyde de cuivre dans un rayon d'environ 50 km ("RAD50"), qui pourraient être exploités de manière rentable dans la mine de Kinsevere. Au cours de ce trimestre, alors que la saison des pluies en Afrique australe battait son plein, les activités ont principalement porté sur l'analyse des données, l'interprétation et la planification de la campagne de terrain 2020. Un programme de forage de délimitation des ressources a débuté sur le site de Kinsevere, sur le prolongement des sulfures de la mine Centrale, à la fin du trimestre. En outre, un certain nombre de résultats significatifs d'analyses de cuivre et de cobalt ont été reçus au cours du trimestre, provenant des campagnes de forage de délimitation des ressources de 2019 à Sokoroshe II (PE538) et Nambulwa (PE539).

Les points importants relatifs au cuivre comprennent (largeur réelle) :

- 25,2 m @ 2,50 % Cu, dans le trou de forage SOK2DD012, à partir d'un fond de trou de 63,5 m
- 31,5 m à 1,87 % de Cu, dans le trou de forage SOK2DD015, à partir d'un fond de trou de 30,0 m
- 25,3 m à 1,98 % de cuivre, dans le trou de forage SOK2DD016, à partir d'un trou de 68,0 m
- 16,2 m @ 2,57 % Cu, dans le trou de forage SOK2DD023, à partir d'un fond de trou de 48,0 m
- 14,0 m à 3,31 % de Cu, dans le trou de forage SOK2RC070, à partir d'un trou de 37,0 m
- 26,7 m @ 3,93 % Cu, dans le trou de forage NAMRC015, à partir d'un fond de 53,0 m
- 20,1 m à 3,14% de Cu, dans le trou de forage NAMRC019, à partir d'un fond de trou de 32,0 m
- 25,5 m à 2,59 % de Cu, dans le trou de forage NAMRC020, à partir d'un fond de trou de 25,0 m
- 30,0 m @ 1,92 % Cu, dans le trou de forage NAMRC022, à partir d'un fond de trou de 18,0 m
- 19,1 m à 2,23% Cu, dans le trou de forage NAMRC025, à partir d'un fond de trou de 24,0 m
- 29,2 m à 2,78% Cu, dans le trou de forage NAMRC029, à partir d'un fond de trou de 18,0 m
- 26,2 m à 3,37 % de cuivre, dans le trou de forage NAMRC032, à partir d'un fond de trou de 9,0 m
- 7,9 m @ 3,53 % Cu, dans le trou de forage NAMRC046, à partir d'un fond de trou de 44,0 m
- 26,8 m à 2,20 % de cuivre, dans le trou de forage NAMRC051, à partir d'un fond de trou de 18,0 m

Les points importants relatifs au cuivre comprennent (largeur réelle):

- 43,3 m à 1,09% Co, dans le trou de forage SOK2DD015, à partir d'un fond de trou de 30,0 m
- 30,4 m à 0,85 % de Co, dans le trou de forage SOK2DD016, à partir d'un fond de trou de 60 m
- 20,0 m à 0,74 % Co, dans le trou de forage SOK2DD016, à partir d'un fond de trou de 109,0 m
- 32,6 m à 0,70 % de Co, dans le trou de forage SOK2DD022, à partir d'un fond de trou de 97,0 m
- 18,2 m à 1,91% Co, dans le trou de forage SOK2DD023, à partir d'un fond de trou de 50 m
- 6,5 m @ 0,73 % Co, dans le trou de forage NAMRC014, à partir d'un fond de trou de 23,0 m
- 12,1 m à 0,32 % de cobalt, dans le trou de forage NAMRC015, à partir d'un fond de 64,0 m
- 32,0 m à 0,70 % de Co, dans le trou de forage NAMRC032, à partir d'un fond de trou de 6,0 m
- 13,2 m à 0,37% Co, dans le trou de forage NAMRC037, à partir d'un fond de trou de 26,0 m
- 9,0 m @ 0,37 % Co, dans le trou de forage NAMRC049, à partir d'un fond de trou de 22,0 m

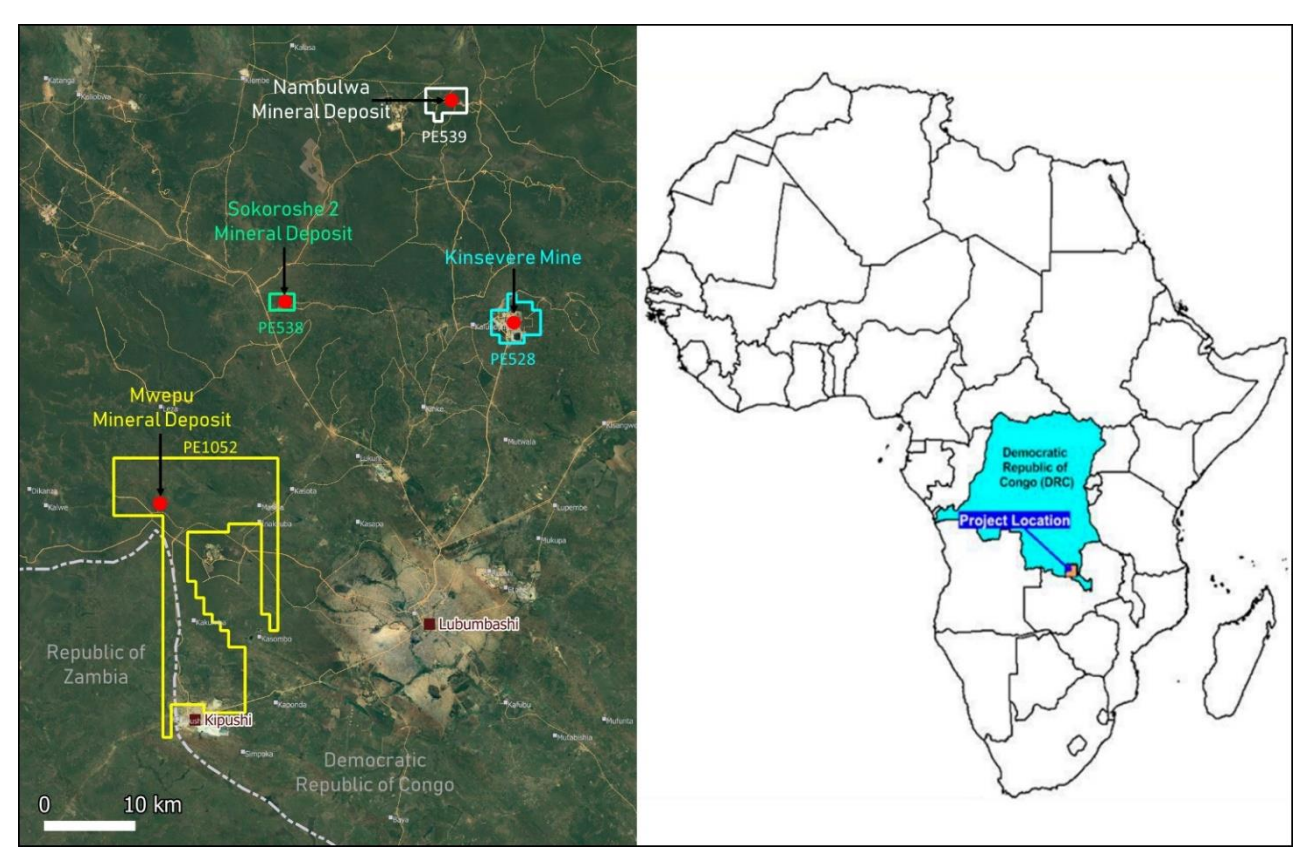


Figure 6. Projets d'exploration en RDC.

Kinsevere

Début mars, un programme de forage de délimitation des ressources de 1 900 m a commencé à Kinsevere, dans la zone située entre les mines Centrale et Mashi, où des sulfures à haute teneur existent sous la conception finale de la fosse. Actuellement, ces sulfures ne sont pas rentables pour l'exploitation à ciel ouvert en raison des grandes bandes associées à la présence de matériaux à faible teneur dans la selle de Kinsevere. L'objectif du programme est de mieux définir les ressources en sulfures connues et d'identifier d'autres minéralisations de sulfures en aval de la mine qui pourraient augmenter les ressources minérales en sulfures en général.

Mwepu

Les activités du trimestre se sont concentrées sur la planification d'une étude de validation de concept au cours du premier semestre de l'année afin de déterminer le potentiel d'extraction rentable.

Nambulwa

Les activités au cours du trimestre ont porté sur la mise à jour des modèles pour les gisements de Nambulwa Main et DZ. Les résultats finaux des analyses chimiques des solution ont été reçus pour tous les programmes de forage de ressources de 2019 et sont en cours d'intégration dans le modèle. Des activités de planification ont été entreprises au cours du trimestre en vue de la préparation de l'Etude de Faisabilité et de la Déclaration d'Impact Environnemental et

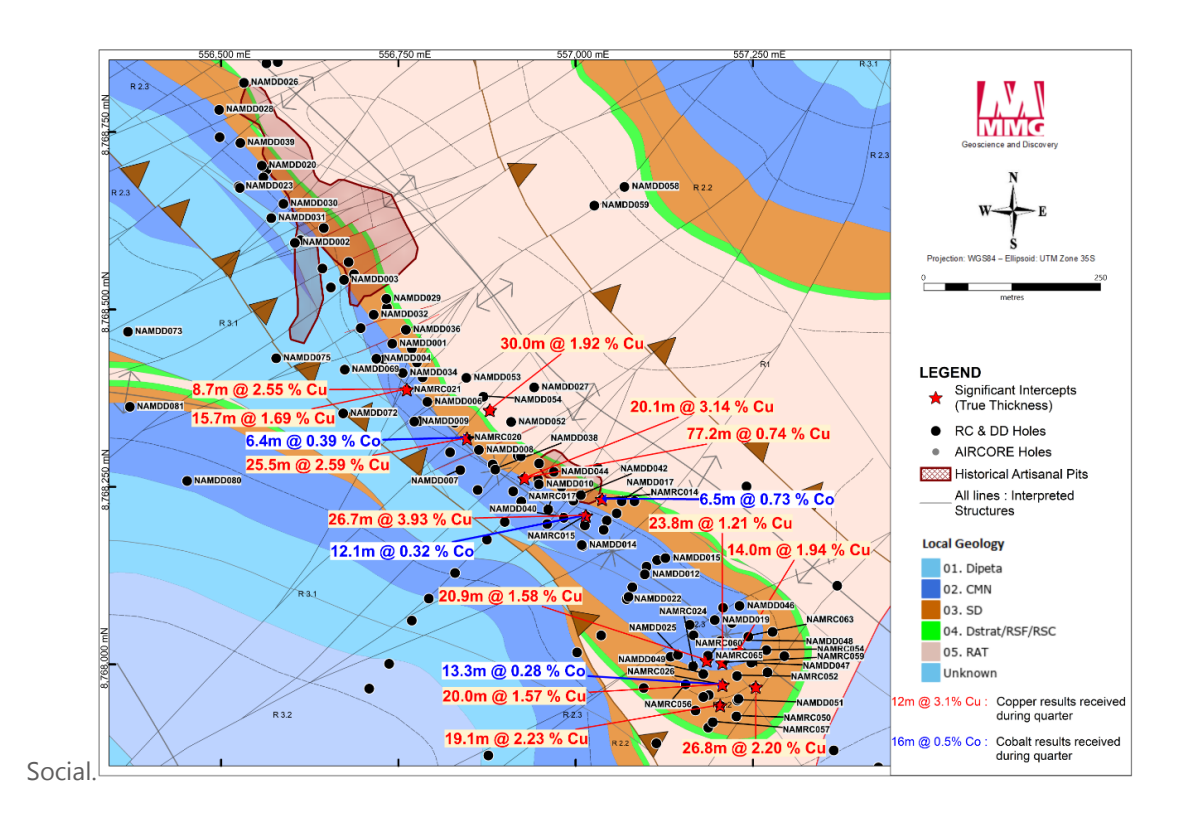
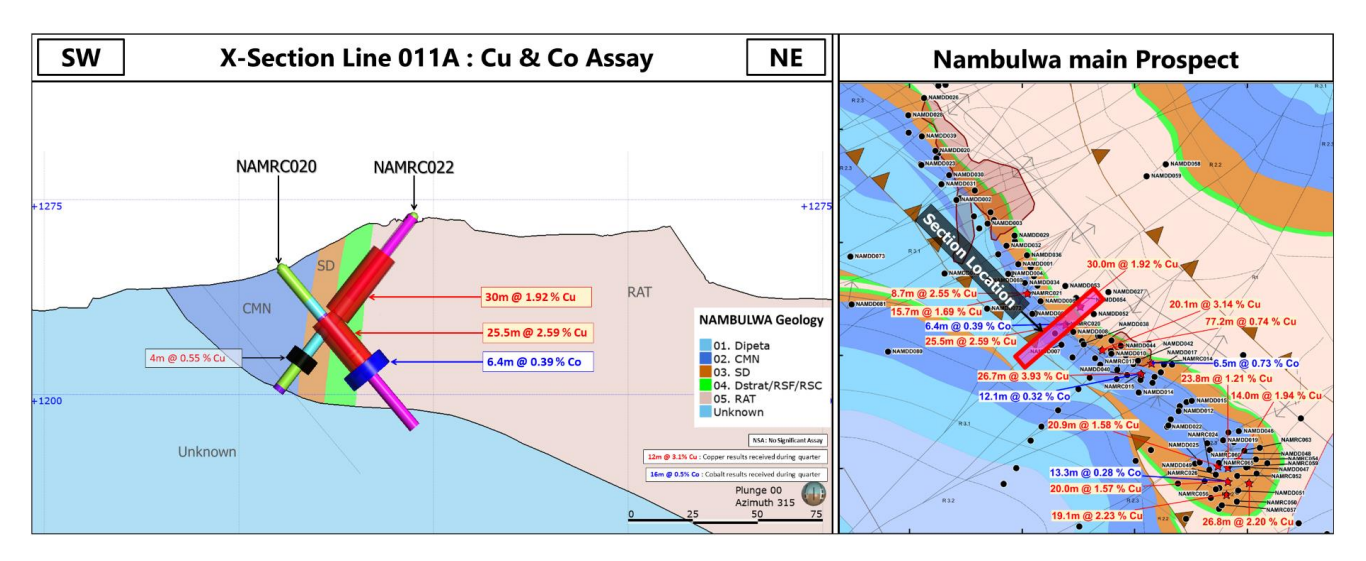


Figure 7 : Projet de Nambulwa présentant le gisement principal de Nambulwa et les meilleures interceptions de forage (largeur réelle) de la campagne de forage de 2019. Une liste exhaustive des résultats de l'exploration est présentée en annexe.



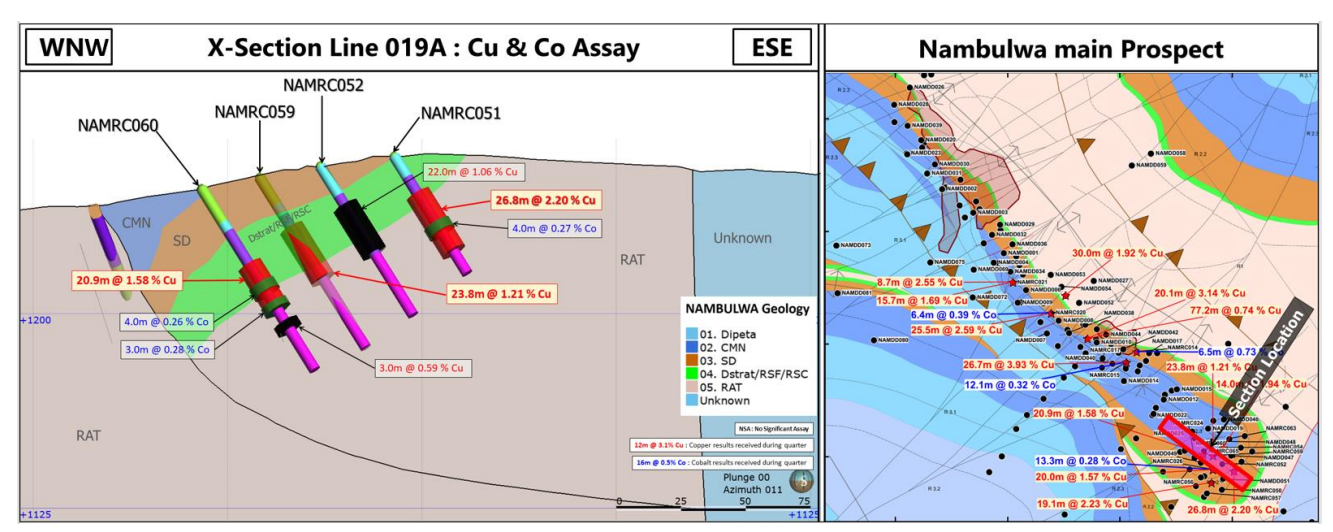


Figure 8: Projet de Nambulwa: Nambulwa Main - Coupes transversales représentatives montrant des interceptions significatives.

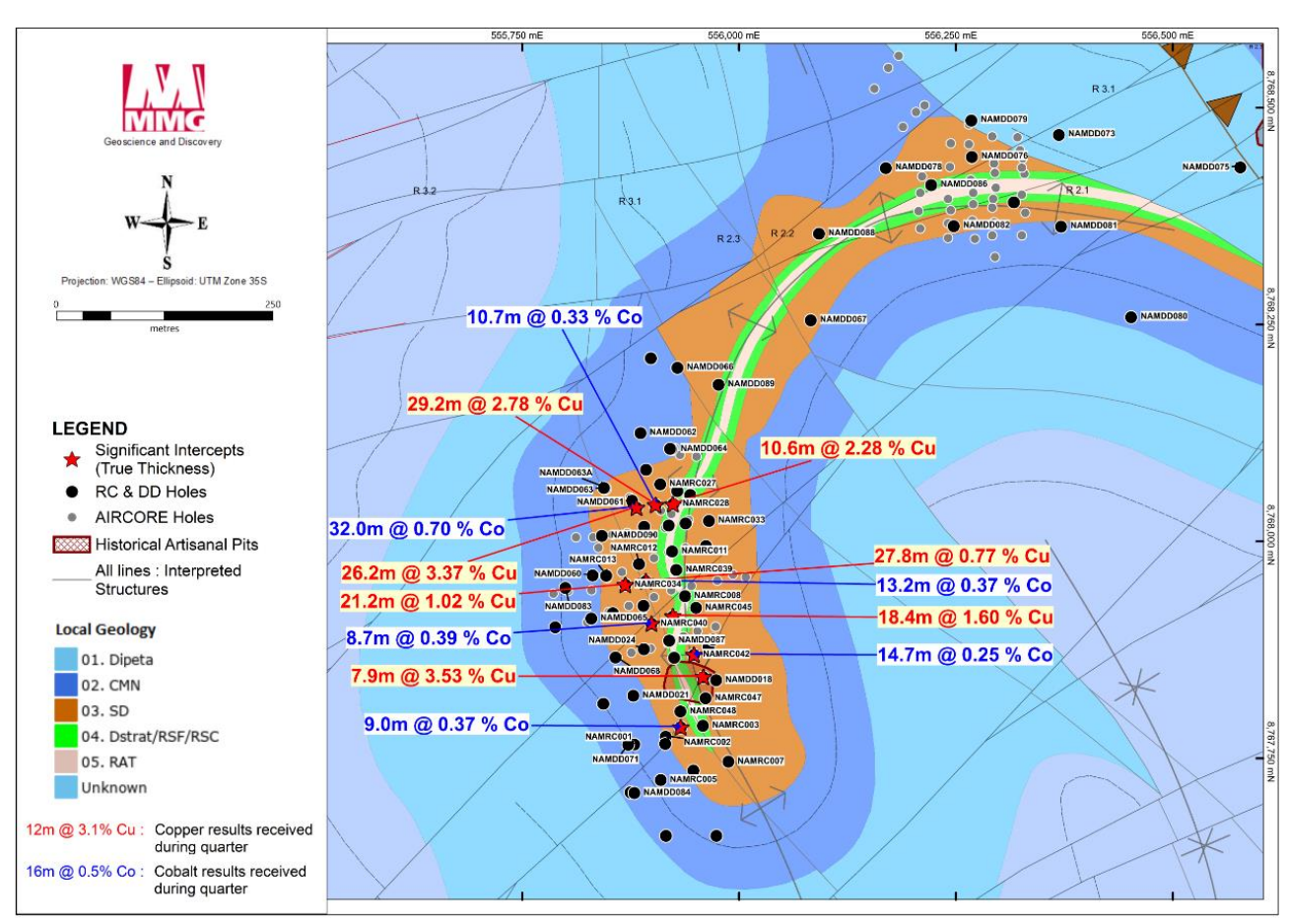


Figure 9 : Projet de Nambulwa présentant le gisement DZ et les meilleures interceptions de la campagne de forage de 2019. Une liste exhaustive des résultats de l'exploration est présentée en annexe.

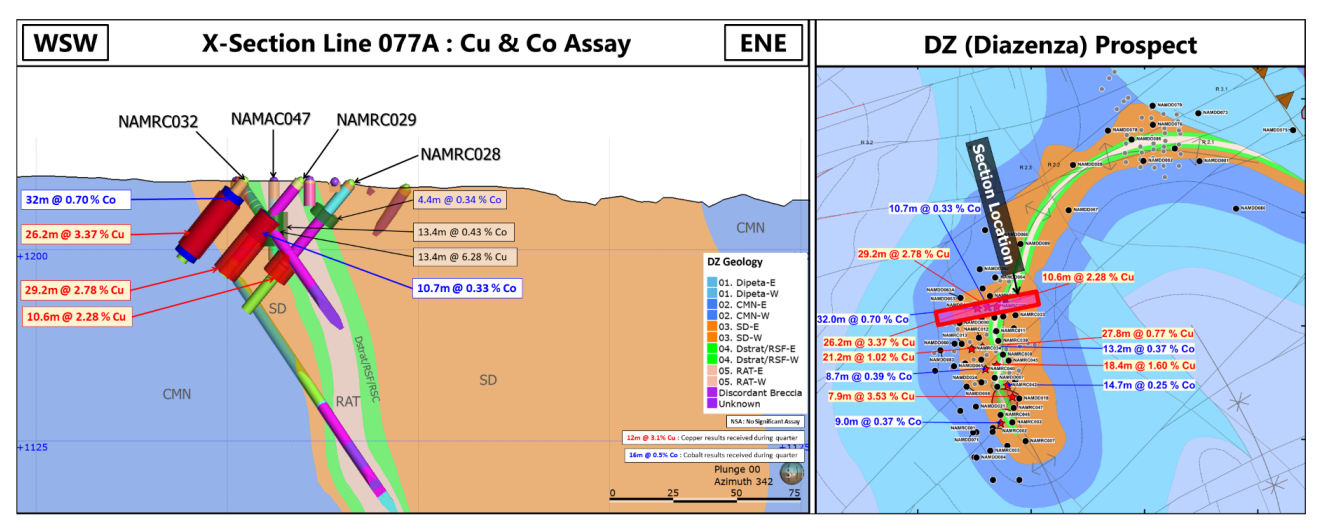


Figure 10: Projet de Nambulwa: DZ - Coupe transversale représentative montrant des interceptions significatives.

Sokoroshe II

Les résultats finaux des analyses chimiques des solutions ont été reçus pour le programme de forage de délimitation des ressources de 2019 et sont en cours d'intégration dans le modèle de ressources. Le programme 2019 a réussi à délimiter une zone inconnue jusqu'alors de minéralisation de cuivre-cobalt proche de la surface et située à proximité immédiate du sud-est du gisement principal. Cette zone nouvellement identifiée, appelée corps minéralisé sud, mesure plus de 150 m de long et jusqu'à 30 m d'épaisseur, et reste ouverte dans plusieurs directions. Il s'agit d'une zone à prédominance de cobalt avec des intervalles de cobalt à haute teneur et des quantités moindres de cuivre associé. Les travaux au cours du trimestre se sont concentrés sur l'inclusion des extensions de ressources de l'année dernière en ce qui concerne le gisement sud, dans un plan minier détaillé. Cela nécessitera probablement la révision de l'Etude de Faisabilité et de la Déclaration d'Impact Environnemental et Social, étant donné que des changements importants sont prévus dans la conception de la mine et les dimensions des remblais.

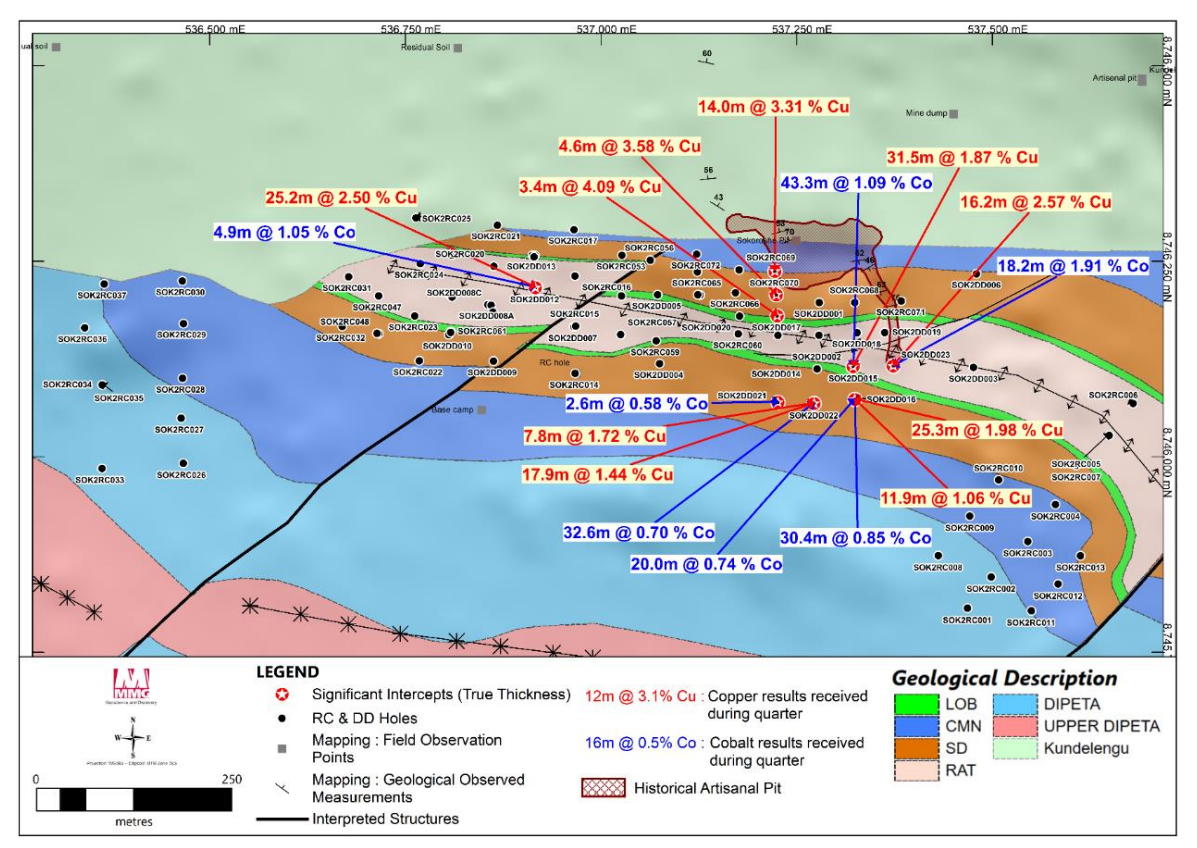


Figure 11 : Projet de Sokoroshe II présentant les meilleures interceptions de forage (largeur réelle) de la campagne de forage de 2019. Une liste exhaustive des résultats de l'exploration est présentée en annexe.

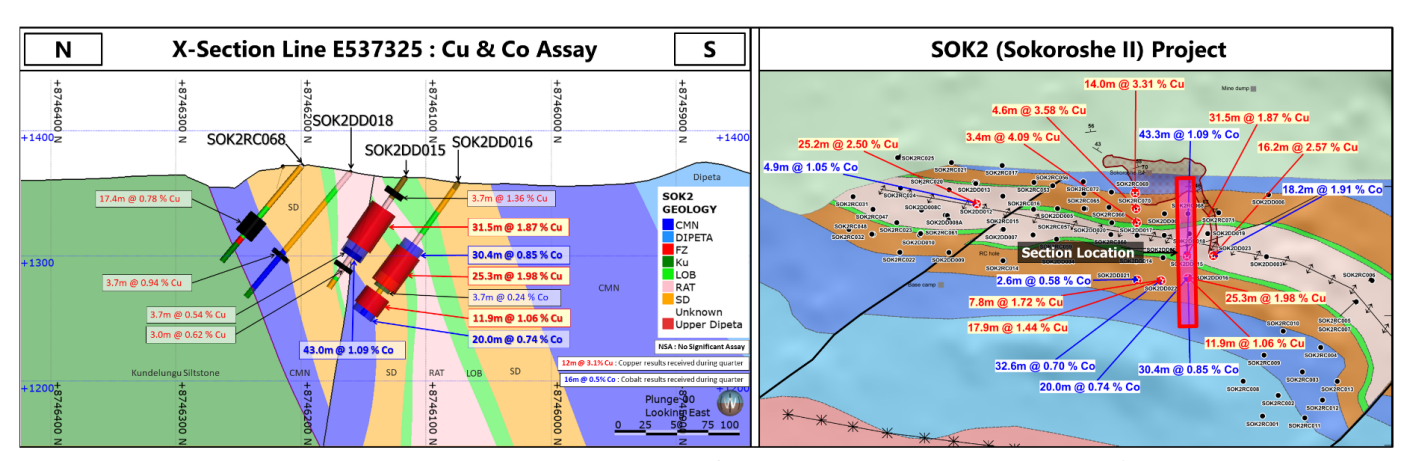


Figure 12 : Projet de Sokoroshe II : Coupe transversale représentative montrant des interceptions significatives.

INFORMATIONS SUR L'ENTREPRISE

RÉSULTATS ANNUELS 2019

Le 4 mars 2020, MMG a annoncé ses résultats financiers annuels pour 2019, faisant état d'une perte nette sous-jacente après impôts imputable aux actionnaires de 125,4 millions de dollars US, et d'un flux de trésorerie net provenant des activités d'exploitation de 1 145,1 millions de dollars US. Les performances financières de l'année ont été affectées par la baisse des prix des matières premières, la réduction des volumes de ventes de cuivre à Las Bambas suite aux perturbations communautaires et aux difficultés opérationnelles du premier semestre à Kinsevere. Cette baisse a été partiellement compensée par les bons résultats de Dugald River au cours de sa première année complète de production commerciale.

Une dépréciation hors trésorerie, nette d'impôts, de 105,0 millions de dollars US de la valeur comptable des actifs liés à l'oxyde à Kinsevere, a entraîné une perte après impôts de 230,4 millions de dollars US pour l'exercice complet imputable aux actionnaires.

En 2019, les opérations de MMG ont produit 451.963 tonnes de cuivre et 253.520 tonnes de zinc.

INFORMATIONS SUR MCK

Le 23 mars 2020, la société a annoncé que MMG Kinsevere a été avisée que la société minière Katanga SARL (MCK) a entamé une procédure judiciaire contre MMG Kinsevere devant les tribunaux de Lubumbashi dans la province du Haut-Katanga en RDC. MMG comprend que MCK est associée à l'ancien gouverneur de la province du Katanga, M. Moise Katumbi et/ou à son fils.

MCK affirme que MMG Kinsevere est tenu d'indemniser MCK pour les pertes subies suite à la décision de MMG Kinsevere de ne pas renouveler ou prolonger le contrat de services miniers avec son entité associée MCK Trucks (alors connue sous le nom de NB Mining SA) en 2018, au motif que MCK avait droit à un contrat sur la "vie de la mine" avec MMG Kinsevere. MCK réclame une compensation pour les dommages subis par MCK de 158 millions de dollars US (couvrant une période de février 2018 à septembre 2019) plus 100 millions de dollars US de dommages et intérêts punitifs. Le montant réclamé semble surévalué car il reflète les revenus potentiels de MCK dans le cadre d'un contrat de services miniers par opposition à un manque à gagner.

Bien qu'il n'y ait eu aucune audience sur le fond de l'affaire et aucune évaluation judiciaire du montant réclamé, MCK a obtenu un ordre de gel de certains actifs de MMG Kinsevere par le biais de procédures qui, selon MMG, n'ont pas respecté les procédures légales habituelles en RDC. MMG a entamé une procédure d'appel contre l'ordre de saisie et se défend également contre un certain nombre d'autres actions procédurales engagées par MCK.

MMG Kinsevere et la Société considèrent que la plainte est non fondée et opportuniste, et que le montant de la plainte est totalement disproportionné par rapport aux pertes qui auraient pu raisonnablement être subies. MMG prévoit de contester vigoureusement la demande.

En outre, MMG Kinsevere rejette, dans les termes les plus fermes, les allégations exposées dans les communiqués de presse de MCK et d'une organisation non gouvernementale associée à MCK, relayées par certains médias, selon lesquelles MMG aurait tenté d'intervenir indûment dans les tribunaux devant lesquels les procédures entre les parties sont en cours.

Ces accusations sont sans fondement et portent atteinte à la réputation de MMG Kinsevere. MMG Kinsevere se réserve le droit de faire valoir ses arguments en ce qui concerne ces allégations.

-FIN-

La version française abrégée du Rapport de Production Trimestriel est basée sur la version anglaise. En cas d'incohérence entre les versions anglaise et française dudit rapport, le texte anglais prévaudra.

The French abridged version of the Quarterly Production Report is based on the English version. If there is any inconsistency between the English and French versions of this Quarterly Report, the English text shall prevail to the extent of the inconsistency.

COORDONNÉES DE L'ENTREPRISE

BUREAU DE MELBOURNE

23ieme Niveau, 28 Freshwater Place Southbank Victoria 3006, Australie T +61 3 9288 0888

BUREAU DE HONG KONG

Unité 8506A, 85ieme Niveau, International Commerce Centre 1 Austin Road West, Kowloon, Hong Kong T +852 2216 9688

ADDRESSE POSTALE

GPO Box 2982, Melbourne, Victoria, 3001, Australie

COMITÉ EXÉCUTIF DE MMG LIMITED

GAO Xiaoyu, Président Directeur Général et Directeur Exécutif Ross CARROLL, Directeur Financier LI Liangang, Directeur Général Exécutif - Commercial Troy HEY, Directeur Général Exécutif - Relations avec les Entreprises WEI Jianxian, Directeur Général Exécutif - Amériques

REGISTRE DES ACTIONS

Computershare Hong Kong Investor Services Limited, 17ème étage, Centre Hopewell, 183 Queen's Road East, Hong Kong

DATES IMPORTANT

21 mai 2020 - Assemblée Générale Annuelle Pour plus de détails, veuillez contacter le service des Relations avec les Entreprises ci-dessous.

DEMANDES DE RENSEIGNEMENTS DES INVESTISSEURS ET DES MÉDIAS

Blake ERICKSEN

Responsable des Relations avec les Investisseurs T +61 3 9288 9185 M +61 475 804 341 E InvestorRelations@mmg.com

Andrea ATELL

Responsable des Affaires Corporatives T +61 3 9288 0758 M +61 476 830 491 E CorporateAffairs@mmg.com

Langage Chinois:

Maggie QIN

Responsable des Relations avec la Chine T +61 3 9288 0818 M +61 411 465 468 E ChinaRelations@mmg.com

Tout au long de ce rapport, les chiffres en italique indiquent que le chiffre a été ajusté depuis qu'il a été communiqué précédemment.

ANNEXE – PREVISIONS DE 2020

	RESUME DES PREVISIONS	
	PREVISIONS DE 2020	CHIFFRES REELS DE 2019
Las Bambas		
Cuivre – production	N/A*	382,518 tonnes
Cuivre – coûts C1	N/A*	US\$0.99 / lb
Dugald River		
Zinc – production	170,000 – 180,000 tonnes	170,057 tonnes
Zinc – coûts C1	US\$0.70 – US\$0.75 / lb	US\$0.70 / lb
Kinsevere		
Cuivre – production	68,000 - 75,000 tonnes	67,935 tonnes
Cuivre – coûts C1	US\$1.80 – US\$1.95 / lb	US\$2.24 / lb
Rosebery		
Zinc – production	55,000 - 65,000 tonnes	83,463 tonnes
Zinc – coûts C1	US\$0.20 - US\$0.30 / lb	US\$0.20/ lb

^{*}Les prévisions pour 2020 concernant Las Bambas ont été retirées le 13 avril 2020, en raison de l'incertitude persistante relative à l'impact du COVID-19 sur les opérations au Pérou.

ANNEXE – RÉSULTATS DE PRODUCTION

			TRI	LAS BAMBAS MESTRE CLÔTU			À CE .	JOUR
		MARS 2019	JUIN 2019	SEPT 2019	DEC 2019	MARS 2020	MARS 2020	MARS 2019
Minerai extrait - cuivre	tonnes	15,543,100	11,743,412	13,433,089	10,934,016	9,600,874	9,600,874	15,543,100
Minerai broyé - cuivre	tonnes	12,822,132	11,992,161	13,683,455	12,785,623	9,898,899	9,898,899	12,822,132
Déplacement des stériles	tonnes	28,178,543	25,897,658	39,303,433	34,907,342	35,696,212	35,696,212	28,178,543
CUIVRE								
Minerai extrait - teneur	%	0.79	0.84	0.80	0.91	0.87	0.87	0.79
Minerai broyé - teneur	%	0.86	0.81	0.81	0.87	0.84	0.84	0.86
Récupération	%	88.5	86.6	87.9	89.4	87.8	87.8	88.5
Production								
Concentré de cuivre	tonnes	265,311	219,423	247,882	261,513	199,411	199,411	265,311
Teneur	%	38.24	38.45	39.13	38.13	36.77	36.77	38.24
Contenant	tonnes	101,452	84,373	96,990	99,702	73,319	73,319	101,452
Ventes								
Total des concentrés vendus	tonnes	111,515	271,521	198,477	271,784	217,013	217,013	111,515
Métal payable dans le produit vendu	tonnes	41,262	99,001	72,219	100,435	76,262	76,262	41,262
OR ET ARGENT								
Métal payable dans le produit vendu - or	OZ	10,463	27,248	21,889	31,840	24,654	24,654	10,463
Métal payable dans le produit vendu - argent	OZ	636,316	1,416,348	1,042,736	1,486,314	1,146,899	1,146,899	636,316
MOLYBDÈNE								
Production								
Concentré de molybdène	tonnes	1,062	1,189	1,015	526	273	273	1,062
Teneur	%	48.25	47.33	45.98	45.79	45.55	45.55	48.25
Métal contenu produit	tonnes	512	563	467	241	124	124	512
Ventes								
Total des produits vendus	tonnes	790	1,097	1,307	775	200	200	790
Métal payable dans le produit vendu	tonnes	377	524	612	354	93	93	377

				DUGALD RIVEI IESTRE CLÔTUI			À CE J	OUR
		MARS 2019	JUIN 2019	SEPT 2019	DEC 2019	MARS 2020	MARS 2020	MARS 2019
Minerai extrait	tonnes	393,004	453,261	494,443	513,169	462,570	462,570	393,004
Minerai broyé	tonnes	457,478	428,651	542,703	546,738	443,378	443,378	457,478
ZINC								
Minerai extrait - teneur	%	10.47	10.33	10.50	10.53	9.97	9.97	10.47
Minerai broyé - teneur	%	9.94	9.90	10.30	10.37	9.56	9.56	9.94
Récupération	%	84.7	84.5	84.6	85.1	83.8	83.8	84.7
Production								
Concentré de zinc	tonnes	79,071	73,782	97,005	100,014	72,846	72,846	79,071
Teneur	%	48.90	48.59	48.76	48.24	48.74	48.74	48.90
Contenant	tonnes	38,665	35,850	47,296	48,247	35,505	35,505	38,665
Ventes								
Total des produits vendus	tonnes	55,084	95,148	90,059	100,007	83,429	83,429	55,084
Métal payable dans le produit vendu	tonnes	22,676	38,634	36,474	40,625	33,881	33,881	22,676
PLOMB								
Minerai extrait - teneur	%	1.73	1.93	1.67	1.86	1.63	1.63	1.73
Minerai broyé - teneur	%	1.63	1.90	1.65	1.87	1.55	1.55	1.63
Récupération	%	67.7	68.3	64.3	66.1	62.2	62.2	67.7
Production								
Concentré de plomb	tonnes	8,730	9,147	9,588	11,758	7,622	7,622	8,730
Teneur	%	58.14	60.82	59.97	57.54	56.11	56.11	58.14
Contenant	tonnes	5,076	5,563	5,750	6,766	4,277	4,277	5,076
Ventes								
Total des produits vendus	tonnes	4,313	10,727	10,600	10,756	10,431	10,431	4,313
Métal payable dans le produit vendu	tonnes	2,299	5,927	6,042	6,023	5,735	5,735	2,299
ARGENT								
Minerai broyé - teneur	g/t	47.93	59.34	53.54	62.73	66.95	66.95	47.93
Métal payable dans le produit vendu	OZ	128,644	368,674	351,027	344,958	343,156	343,156	128,644

				KINSEVERE				
	TRIMESTRE CLÔTURÉ						À CE	JOUR
		MARS 2019	JUIN 2019	SEPT 2019	DEC 2019	MARS 2020	MARS 2020	MARS 2019
Minerai extrait - cuivre	tonnes	600,765	544,845	607,922	708,505	383,158	383,158	600,765
Minerai broyé - cuivre	tonnes	508,843	590,577	623,533	632,321	565,148	565,148	508,843
Déplacement des stériles	tonnes	3,226,912	4,576,461	5,307,732	3,913,258	2,355,250	2,355,250	3,226,912
CUIVRE								
Minerai extrait - teneur	%	2.20	2.00	2.50	2.87	2.87	2.87	2.20
Minerai broyé - teneur	%	2.73	2.92	3.06	3.39	3.35	3.35	2.73
Récupération	%	96.3	95.3	96.4	94.7	94.0	94.0	96.3
Production								
Métal contenu produit - cathode	tonnes	12,539	16,463	18,495	20,438	18,207	18,207	12,539
Ventes								
Produit total vendu - cathode	tonnes	11,800	15,639	17,804	20,083	17,874	17,874	11,800
Métal payable dans le produit vendu - cathode	tonnes	11,800	15,639	17,804	20,083	17,874	17,874	11,800

				ROSEBERY					
	TRIMESTRE CLÔTURÉ						À CE JOUR		
		MARS 2019	JUIN 2019	SEPT 2019	DEC 2019	MARS 2020	MARS 2020	MARS 2019	
Minerai extrait	tonnes	250,004	248,537	257,342	276,624	221,522	221,522	250,004	
Minerai broyé	tonnes	259,833	251,282	256,572	262,329	234,415	234,415	259,833	
ZINC									
Minerai extrait - teneur	%	9.01	9.51	9.83	10.73	8.91	8.91	9.01	
Minerai broyé - teneur	%	8.43	9.91	9.56	9.90	8.60	8.60	8.43	
Récupération	%	84.4	84.7	87.0	86.9	86.6	86.6	84.4	
Production									
Concentré de zinc	tonnes	34,132	39,032	39,859	41,323	32,363	32,363	34,132	
Teneur	%	54.16	54.00	53.52	54.61	53.93	53.93	54.16	
Contenant	tonnes	18,486	21,079	21,332	22,566	17,452	17,452	18,486	
Ventes									
Total des produits vendus	tonnes	37,931	37,968	39,501	32,440	31,744	31,744	37,931	
Métal payable dans le produit vendu	tonnes	17,705	17,750	18,014	15,004	14,817	14,817	17,705	
PLOMB									
Minerai extrait - teneur	%	3.08	2.97	3.27	3.53	3.31	3.31	3.08	
Minerai broyé - teneur	%	2.98	3.11	3.02	3.28	3.20	3.20	2.98	
Récupération	%	76.2	79.0	72.7	79.2	75.5	75.5	76.2	
Production									
Concentré de plomb	tonnes	9,392	10,261	9,344	11,320	9,155	9,155	9,392	
Teneur	%	62.93	60.28	60.36	60.19	61.90	61.90	62.93	
Contenant	tonnes	5,910	6,186	5,640	6,813	5,666	5,666	5,910	
Ventes									
Total des produits vendus	tonnes	7,245	11,925	10,694	11,008	5,912	5,912	7,245	
Métal payable dans le produit vendu	tonnes	4,198	7,112	6,081	6,298	3,426	3,426	4,198	

	ROSEBERY (suite) TRIMESTRE CLÔTURÉ							À CE JOUR		
		MARS 2019 JUIN 2019 SEPT 2019 DEC 2019 MARS 2020					MARS 2020	MARS 2019		
Minerai extrait	tonnes	250,004	248,537	257,342	276,624	221,522	221,522	250,004		
Minerai broyé	tonnes	259,833	251,282	256,572	262,329	234,415	234,415	259,833		
CUIVRE										
Minerai extrait - teneur	%	0.20	0.22	0.21	0.24	0.24	0.24	0.20		
Minerai broyé - teneur	%	0.23	0.22	0.24	0.25	0.25	0.25	0.23		
Récupération	%	62.4	57.5	62.5	65.8	64.6	64.6	62.4		
Production										
Concentré de cuivre	Tonnes	2,223	1,954	2,381	2,339	2,143	2,143	2,223		
Teneur	%	17.01	16.50	15.89	18.43	17.95	17.95	17.01		
Contenant	tonnes	378	322	378	431	385	385	378		
Ventes										
Total des produits vendus	tonnes	2,649	1,721	2,498	1,699	1,557	1,557	2,649		
Métal payable dans le produit vendu	tonnes	430	287	402	296	271	271	430		
AUTRE METAUX										
Teneur du minerai broyé - or	g/t	1.4	1.2	1.2	1.5	1.4	1.4	1.4		
Minerai broyé - argent	g/t	101.6	104.3	95.2	113.2	113.4	113.4	101.6		
Récupération - or	%	27.2	21.0	21.4	22.3	23.6	23.6	27.2		
Production										
Or doré	OZ	5,462	3,702	3,650	4,450	3,026	3,026	5,462		
Contenant - or	OZ	3,314	2,166	2,171	2,916	1,816	1,816	3,314		
Contenant - argent	OZ	1,842	1,296	1,202	1,711	993	993	1,842		
Ventes										
Or doré vendu	OZ	5,679	3,023	4,088	4,061	3,447	3,447	5,679		
Métal payable dans tous les produits	OZ	8,250	6,022	7,254	7,095	5,980	5,980	8,250		
vendus - or Métal payable dans tous les produits vendus - argent	OZ	544,262	612,630	555,198	574,515	408,630	408,630	544,262		

ANNEXE - EXPLORATION

TABLEAU 1 JORC 2012 - ACTIVITÉS D'EXPLORATION DE LAS BAMBAS

Les informations suivantes fournies dans le tableau 1 sont conformes aux exigences du Code JORC 2012 spécifiées par le "Tableau 1, section 1-3" du Code.

Tableau 1 Code JORC 2012 Tableau 1 Critères d'Evaluation et de Déclaration pour les Activités d'Exploration de Las Bambas

Critères d'Evaluation	Commentaire
Section 1 Techniques	et Données d'Echantillonnage
Techniques d'échantillonnage	Le forage au diamant (DD) a été utilisé pour obtenir un échantillon moyen de 2 m qui est à moitié fractionné, broyé et pulvérisé pour produire une pulpe (95% passant à 105µm). La carotte de diamant est sélectionnée, marquée et numérotée pour l'échantillonnage par le géologue chargé de l'enregistrement. Les détails de l'échantillon sont stockés dans une base de données Geobank pour la corrélation avec les résultats des analyses géochimiques.
	Les échantillons pour l'analyse sont mis en sac, mélangés, renumérotés et identifiés avant d'être expédiés.
	Les carottes ont été coupées et échantillonnées sur site dans un laboratoire de préparation des échantillons d'ALS. Les échantillons sont ensuite envoyés à ALS Lima pour préparation et analyse.
	Aucun problème inhérent à l'échantillonnage n'est constaté.
	Les mesures prises pour assurer la représentativité des échantillons comprennent la collecte et l'analyse de duplicatas de broyage grossier.
Techniques de broyage	Le type de forage est le carottage au diamant par câble à partir de la surface. La carotte de forage n'est pas orientée.
Récupération d'échantillons de forage	La récupération est estimée en mesurant la carotte récupérée dans une longueur de forage et enregistrée dans la base de données Geobank. La récupération course par course a été enregistrée pour tous les 6 226,20 m forés à ce jour à Chalcobamba Sud-Ouest avec une récupération de 98,9%. des forages au diamant dans les données utilisées pour l'estimation des ressources minérales pour les gisements de Sulfobamba, Chalcobamba et Ferrobamba. La moyenne de récupération des forages au diamant est d'environ 97 % pour tous les gisements (98 % pour les gisements de Sulfobamba, 97 % pour ceux de Chalcobamba et de Ferrobamba).
	Le processus de forage est contrôlé par l'équipe de forage et la supervision géologique permet de maximiser la récupération des échantillons et de garantir une présentation adéquate des carottes. Aucune autre mesure n'est prise pour maximiser la récupération des carottes.
	Il n'y a pas de corrélation détectable entre la récupération et la teneur, qui peut être déterminée à partir d'une analyse graphique et statistique. Les pertes/gains préférentiels de matériaux fins ou grossiers ne sont pas significatifs et n'entraînent pas de biais dans l'échantillon car la nature de la minéralisation est constituée de filons de stock et de sulfures disséminés. L'échantillonnage des carottes de forage au diamant est appliqué, et le taux de récupération est considéré comme élevé.
Enregistrement	100 % des carottes de forage ont été enregistrées géologiquement et géo-techniquement.
	La diagraphie géologique est qualitative et la diagraphie géotechnique est quantitative. Toutes les carottes de forage sont photographiées.
Techniques de sous- échantillonnage et préparation des échantillons	Tous les échantillons proviennent de carottes de forage au diamant. Les carottes de forage sont sciées longitudinalement pour obtenir des échantillons de demi-carottes dans les intervalles dirigés par le géologue chargé de l'enregistrement. La demi-carotte restante est conservée et stockée dans le plateau d'échantillons d'origine. La longueur d'échantillonnage standard est de 2 m pour les carottes PQ (minimum 1,2 m) et HQ (minimum 1,2 m, maximum 2,2 m) tandis que les carottes NQ sont échantillonnées à 2,5 m (minimum 1,5 m). Les intervalles d'échantillonnage ne dépassent pas les limites géologiques.

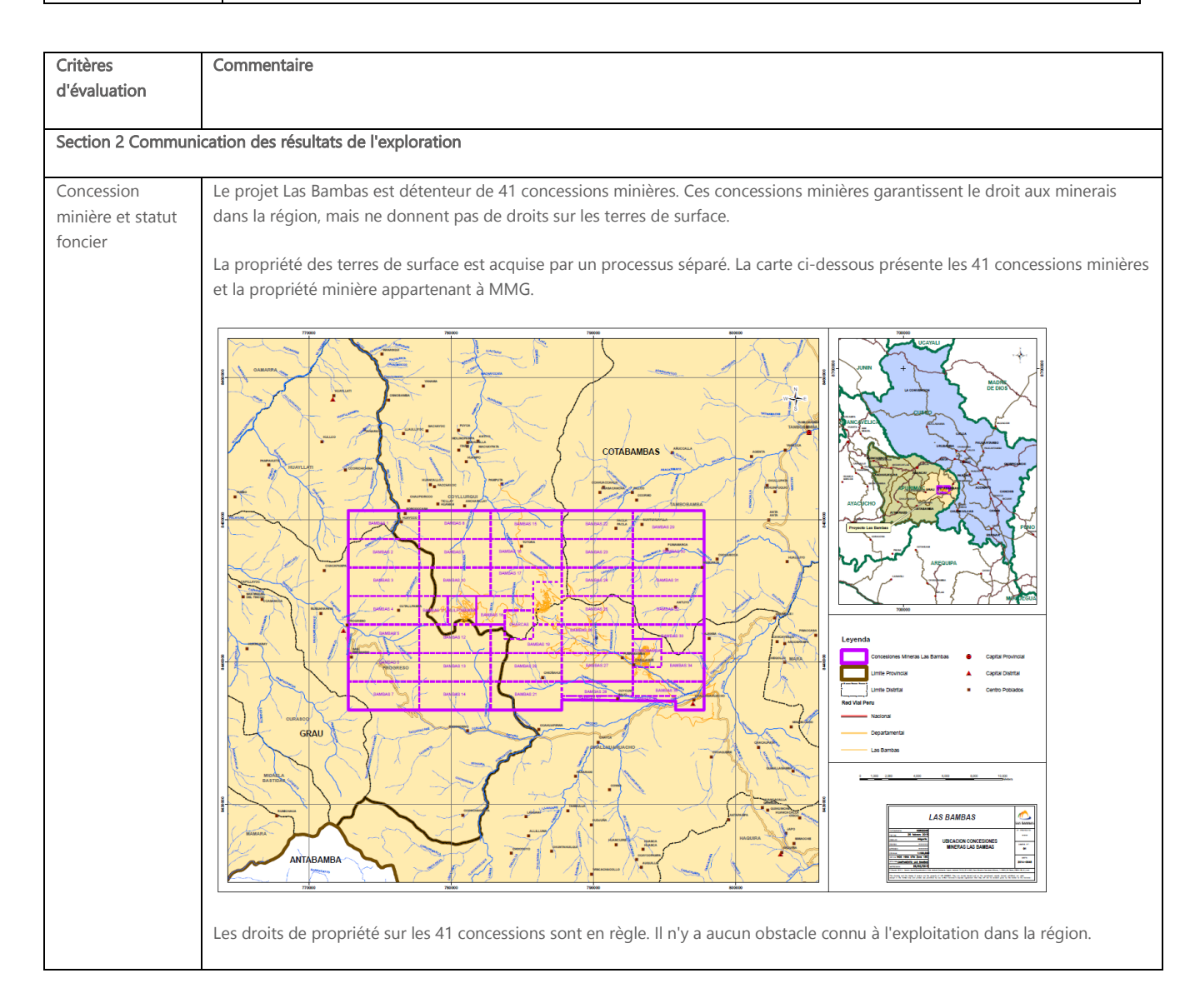
Critères d'Evaluation Commentaire Section 1 Techniques et Données d'Echantillonnage Les échantillons géologiques ont été traités de la manière suivante : Séché, broyé, pulvérisé à 95% passant à 105µm. Les analyses granulométriques sont effectuées sur un échantillon sur 10 à 15. La représentativité des échantillons est vérifiée par duplication au stade du concassage sur un échantillon sur 40. Aucun double de terrain n'est prélevé. L'analyse de l'Assurance Qualité/Contrôle Qualité (QAQC) des techniques de préparation des échantillons sur une période de 12 mois indique que le processus est approprié pour les échantillons de Las Bambas. Les types d'échantillons, leur nature, leur qualité et les techniques de préparation des échantillons sont considérés comme appropriés pour le style de minéralisation de Las Bambas (porphyre et minéralisation skarn Cu-Mo) par la personne compétente. Les méthodes d'analyse de routine entreprises par ALS (Lima) pour Las Bambas sont les suivantes : Qualité des données d'analyse et des Cu, Aq, Pb, Zn, Mo - 0,5q d'échantillon. Attaque par 4-Acides. Lecture par Spectrométrie d'Absorption tests de laboratoire Atomique (SAA). Cuivre soluble dans l'acide - 0,5q d'échantillon. Lixiviation par une solution à 5% de H2SO4 à température ambiante pendant 1 heure. Lecture par Spectrométrie d'Absorption Atomique (SAA). Au - Test par pyro-analyse avec finition par SAA. Les résultats hors plage sont réanalysés par Finition Gravimétrique. 35 éléments - Attaque par aqua-regia et lecture par ICP. Toutes les méthodes ci-dessus, à l'exception du cuivre soluble dans l'acide, sont considérées comme une attaque totale. Aucun outil géophysique, spectromètre ou instrument XRF portatif n'a été utilisé pour l'analyse des échantillons en dehors du laboratoire ALS pour l'estimation des ressources minérales. Pour les programmes 2018 et 2019, des échantillons en double ont été prélevés au moment de l'échantillonnage et stockés en toute sécurité. Les échantillons pour 2018 ont ensuite été envoyés au laboratoire de l'Inspectorat, à Lima, pour être analysés par une tierce partie (arbitre). Les échantillons de 2019 sont en cours d'analyse. Les échantillons ont été sélectionnés à un taux de 1:40. Les résultats reçus indiquent une bonne corrélation entre les ensembles de données et ne montrent aucun biais pour le cuivre, le molybdène, l'argent et l'or. ALS transmet les données mensuelles de QAQC à Las Bambas pour l'analyse des performances des normes internes du laboratoire. La performance des normes internes du laboratoire se situe dans des limites acceptables. Las Bambas insèrent régulièrement : Doubles grossiers primaires : Insérés à un rapport de 1:40 échantillons. Échantillons blancs grossiers : Insérés après un échantillon de haute teneur (les échantillons blancs grossiers représentent actuellement environ 4,2 % de tous les échantillons analysés). Échantillons en double de la pulpe : Insérés à un rapport de 1:40 échantillons. Les échantillons blancs de pulpe sont insérés avant l'échantillon blanc grossier et toujours après un échantillon de haute teneur (les échantillons blancs de pulpe représentent actuellement environ 4,2 % de tous les échantillons analysés). L'analyse QAQC a montré que pour :

Blancs : un niveau minimum de contamination de l'échantillon par le cuivre a été détecté lors de la préparation

et de l'analyse de l'échantillon.

Critères d'Evaluation	Commentaire
Section 1 Techniques e	et Données d'Echantillonnage
	 Doubles: la précision analytique se situe dans des fourchettes acceptables par rapport à l'échantillon original, c'est-à-dire que plus de 90 % des paires d'échantillons se situent dans les limites d'erreur évaluées pour une erreur relative maximale de 10 % (R2>0,90). Ces résultats ont également été répétés dans les échantillons de contrôle extérieurs à ALS. Matériau de Référence Certifié: des niveaux acceptables d'exactitude et de précision ont été établis. Les résultats des tests granulométriques ne sont pas analysés en routine.
Vérification des échantillonnages et des analyses	La vérification par un personnel indépendant n'a pas été effectuée au moment du forage. Cependant, les données de forage, de carottage et d'échantillonnage sont saisies par les géologues; les résultats des analyses sont saisis par le géologue spécialiste des ressources après vérification des données pour détecter les valeurs aberrantes, les échanges d'échantillons, la présence de doublons, de blancs et de standards, et les intersections importantes sont vérifiées par rapport aux carottages et aux photos des carottes. Les erreurs sont rectifiées avant que les données ne soient saisies dans la base de données. Aucun forage jumelé n'a été effectué. Tous les trous de forage sont enregistrés à l'aide d'ordinateurs portables directement dans la base de données des trous de forage (Geobank). Toutes les données primaires et les certificats des laboratoires sont stockés sur le serveur de Las Bambas.
	La base de données dispose de processus de validation internes qui empêchent le stockage d'enregistrements non valides ou non approuvés. Une validation manuelle supplémentaire des données a lieu dans le logiciel Vulcan avant que les données ne soient utilisées. Aucun ajustement n'a été apporté aux données d'analyse.
Localisation des points de données	Les trous de forage sont positionnés en utilisant les coordonnées UTM avec un Système de Positionnement Global Différentiel (DGPS) portable et sont exacts à 1m près. Une fois le forage achevé, les emplacements des colliers sont relevés par les géomètres sur place à l'aide du DGPS (Trimble ou Topcon). Ces colliers sont précis à 0,5 m près.
	Tous les trous de forage sont surveillés à l'aide de l'équipement Reflex Gyro Sprint. Les mesures sont prises tous les 25 à 50 mètres pendant le forage proprement dit et l'ensemble du trou est levé avec des relevés/mesures en continu une fois le trou terminé. Les levés de fond de trou sont considérés comme précis pour les travaux d'estimation des ressources minérales.
	Le système de référence utilisé est le WGS 84 avec un système de coordonnées UTM zone 19 Sud. En juin 2018, DIMAP Pty. Ltd a traité au LiDAR la zone couverte par le site minier de Las Bambas et ses environs. La composante Lidar du vol devait générer un nuage de points avec un minimum de +7 pts/sqm, la zone centrale couvrant le site d'exploration ayant une densité de +12 pts/sqm. Les cartes livrées ont été établies en coordonnées UTM et les projections utilisées étaient WGS 84. La surface Lidar de cette étude est actuellement utilisée sur le site et est considérée comme appropriée pour l'estimation des ressources minérales et des réserves de minerai.
Espacement et repartition des données	Le champ d'application de ce rapport couvre le forage d'exploration à Chalcobamba Southwest. Les plates-formes de forage sont espacées de manière variable, bien qu'elles soient généralement distantes d'environ 200 m. Parfois, les plates-formes sont séparées de 100 m ou moins. De multiples trous d'angle peuvent être forés à partir d'une seule plate-forme et donner lieu à un espacement moyen des données inférieur à 200 m.
Sécurité des échantillons	Les mesures visant à assurer la sécurité des échantillons sont les suivantes : Un personnel d'échantillonnage suffisamment formé et supervisé.
	Les échantillons sont stockés dans une enceinte verrouillée dont l'accès est restreint pendant la préparation. Expédition à divers laboratoires par un prestataire de transport sous contrat dans des conteneurs scellés.

Critères d'Evaluation	Commentaire
Section 1 Techniques	et Données d'Echantillonnage
	Réception des échantillons confirmée par le laboratoire d'analyse destinataire par courrier électronique et vérifiée par rapport à la liste des soumissions attendues. Les données d'analyse sont renvoyées séparément en format tableur et PDF.
Audit et examens	Aucun audit n'a été réalisé sur ces résultats de forage. Des inspections régulières en laboratoire sont effectuées et documentées par le personnel d'exploration de l'entreprise.



602,185.40

1.876

Critères Commentaire d'évaluation Section 2 Communication des résultats de l'exploration Exploration effectuée par Taille de Entreprise Année Gisement But Type # of DDH Mètres Forés Forage d'autres parties Cerro de 1996 Chalcobamba Exploration 906.4 DDH Pasco Inconnu 1996 Chalcobamba Exploration 9 1,367.30 Cyprus 737.8 Phelps Ferrobamba 4 1997 DDH Exploration Inconnu Dodge Chalcobamba 653.4 Ferrobamba 365.8 ВНР 1997 DDH Exploration Inconnu Chalcobamba 658.6 Ferrobamba Pro Invest 2003 Exploration DDH HQ Ferrobamba 109 26,839.90 Evaluation des 2005 Chalcobamba DDH 66 HQ 14,754.10 Ressources 13,943.00 Sulfobamba Ferrobamba 125 51,004.20 95 Chalcobamba 27,982.90 Evaluation des 2006 60 DDH HQ 16,971.50 Sulfobamba Ressources 8 Charcas 2,614.10 Xstrata Azuliaia 1.968.90 Ferrobamba 131 46,710.40 Evaluation des 2007 DDH Chalcobamba 134 HQ 36,617.60 Ressources Sulfobamba 4,996.60 Ferrobamba Evaluation des 118 46,773.80 2008 DDH HQ Chalcobamba Ressources 90 22,096.60 Evaluation des 28,399.90 2010 Ferrobamba DDH 91 HQ Ressources Evaluation des Ferrobamba DDH 23 HQ 12,609.70 2014 Ressources DDH HO 1,265.60 Huancarane Stérilisation 5 2015 Stérilisation DDH НО 772.60 Huancarane Evaluation des 2015 DDH 154 HQ 53,771.70 Ferrobamba Ressources Evaluation des DDH Ferrobamba 114 31,206.20 Ressources 2016 HQ Evaluation des Chalcobamba DDH 13 1,880.30 Evaluation des 2017 27 HQ Ferrobamba DDH 17.793.35 Ressources Evaluation des HQ-NQ-Ferrobamba DDH 83 48,062.70 Ressources BQ MMG 2018 Evaluation des DDH 46 НО 7,278.60 Chalcobamba Ressources Chalcobamba SO DDH 3,459.50 Exploration HQ-NQ-Evaluation des Ferrobamba DDH 91 29,690.70 ВО Ressources Evaluation des Ferrobamba RC 41 51/2" 5,699.00 Ressources Evaluation des PQ-HQ-Chalcobamba DDH 8 1,710.00 NO 2019 Ressources Chalcobamba DDH 6 НО 2,770.95 Exploration PO-HO-DDH Chalcobamba SO Exploration 55 22,372.00 NQ 12 Cejrapena Exploration DDH HQ 4,215.50 HQ-PQ 1,881.55 Jatuncharqui Exploration DDH 23 Chalcobamba SW DDH НО 6,198.30 Exploration 2020 Chalcobamba SW Exploration RC 5 5/8 300.00 DDH Jatuncharqui Exploration 6 HQ 1,821.95

Total

Critères d'évaluation	Commentaire
Section 2 Comm	nunication des résultats de l'exploration
Géologie	Las Bambas est situé dans une ceinture de gisements de skarn de Cu (Mo-Au) associés à des systèmes de type porphyrique situés dans le sud-est du Pérou. Cette ceinture métallogénique est contrôlée par le batholite Andahuaylas-Yauri d'âge éocène-oligocène, qui est situé dans des unités sédimentaires du Mésozoïque, la formation de Ferrobamba (Crétacé inférieur à supérieur) étant la plus importante sur le plan minéralogique.
	La minéralisation de type porphyrique se produit dans des roches de quartz-monzonite à granodiorite. Les sulfures de cuivre hypogènes sont les principaux minéraux contenant du cuivre, avec une présence mineure d'oxydes et de carbonates de cuivre supergènes près de la surface. Les roches intrusives du batholite en contact avec les calcaires de Ferrobamba ont donné lieu à un métamorphisme de contact et, à certains endroits, à des corps de skarn avec minéralisation de Cu (Mo-Au).

Critères d'évaluation Commentaire

Section 2 Communication des Résultats de l'Exploration

Informations sur les forages

ID TROLL	A DCCICCE	ODDONINE	ELE) (A 715 41 171 1	INICURIATION	TD
ID TROU	ABSCISSE	ORDONNEE 9 442 100	ELEV 4.464	AZIMUTH	INCLINATION	152.2
CH43200-2	786,070	8,443,199	4,464	0.3	-59.3	153.3
CH43200-3	786,070	8,443,193	4,464	180	-53.3	253.5
CH43325-1	785,943	8,443,325	4,502	20	-59.3	211.3
CH43650-11	785,800	8,443,649	4,514	180	-59.2	181.8
CH43650-12	785,850	8,443,650	4,530	180	-69.9	273.3
CHS18-023	785,797	8,443,403	4,458	138.7	-65.6	500.8
CHS18-028	785,798	8,443,404	4,459	24.9	-65.5	413.6
CHS18-034	785,797	8,443,403	4,458	218.7	-65.2	600
CHS18-040	785,548	8,443,364	4,430	140.2	-60.4	497.1
CHS18-045	785,550	8,443,363	4,429	0.7	-59.9	400.4
CHS18-049	786,063	8,443,189	4,465	290	-60.6	502.6
CHS18-050	785,797	8,443,399	4,458	315.5	-60.5	545
CHS19-003	785,905	8,443,263	4,501	290	-75	64.7
CHS19-004	785,905	8,443,262	4,501	290	-75.1	450
CHS19-006	785,749	8,442,979	4,436	138.9	-64.9	286.6
CHS19-011	786,064	8,443,194	4,464	348.2	-65.1	529.6
CHS19-012	785,668	8,443,308	4,443	159.7	-60.4	509.6
CHS19-016	785,695	8,442,881	4,435	340	-65.5	500
CHS19-019	785,746	8,442,983	4,435	309.59	-60.38	500
CHS19-020	785,553	8,443,371	4,429	50	-65	231.5
CHS19-022	785,943	8,443,325	4,502	190	-60	550.6
CHS19-024	785,694	8,442,880	4,447	179.25	-59.68	398.2
CHS19-025	786,063	8,443,194	4,465	59.96	-59.89	400
CHS19-027	785,746	8,442,983	4,435	29.51	-60.45	519
CHS19-028	785,944	8,443,322	4,502	90.4	-60.06	400
CHS19-033	786,063	8,443,195	4,465	210.16	-59.92	400
CHS19-034	785,558	8,443,358	4,429	224.09	-60.31	314.5
CHS19-036	785,795	8,443,396	4,458	182.28	-55.58	450
CHS19-037	785,942	8,443,324	4,502	359.67	-60.47	444.8
CHS19-039	785,904	8,443,332	4,486	180	-50	523.8
CHS19-040	785,667	8,443,307	4,442	89.87	-74.81	400.3
CHS19-041	786,063	8,443,194	4,465	265.65	-79.04	449.7
CHS19-042	785,796	8,443,401	4,458	94.94	-75.24	81.65
CHS19-043	786,064	8,443,193	4,464	244.06	-69.23	470.7
CHS19-045	785,666	8,443,307	4,442	200.31	-85.11	359.5
CHS19-046	785,903	8,443,332	4,486	330.34	-64.91	388.9
CHS19-048	785,940	8,443,325	4,502	236.43	-80.4	300
CHS19-049	785,794	8,443,399	4,458	310.08	-79.3	408.4
CHS19-050	786,063	8,443,190	4,464	334.79	-82.12	420.4
CHS19-051	785,943	8,443,322	4,502	310	-79	457.2
CHS19-052	785,667	8,443,309	4,442	358.85	-75.3	429.7
CHS19-053	785,722	8,443,366	4,456	159.04	-61.11	584.5
CHS19-054	785,795	8,443,398	4,457	359.09	-44.81	402.9
CHS19-055	786,064	8,443,191	4,464	139.67	-70.73	401.6
CHS19-056	785,942	8,443,322	4,502	340	-45	19.9
CHS19-057	785,795	8,443,401	4,458	252.14	-45.13	400
CHS19-058	785,668	8,443,307	4,442	45.3	-75.53	512.7
CHS19-059	785,724	8,443,368	4,457	310.19	-44.97	407.1
CHS19-060	785,942	8,443,323	4,503	339.62	-44.99	328.6
CHS19-061	786,063	8,443,192	4,464	147.44	-85.21	464.9
CHS19-062	785,555	8,443,359	4,429	113.05	-45.23	426.6
CHS19-063	785,941	8,443,319	4,502	59.75	-70.38	400
CD313-003						

Critères d'évaluation Commentaire

Section 2 Communication des Résultats de l'Exploration

CHS19-065 785,666 8,443,305 4,443 140.02 -45.31 362.55 CHS19-066 786,065 8,443,191 4,464 135.11 -51.67 272.75 CHS19-068 786,318 8,443,271 4,393 349.69 -45.02 470.4 CHS19-069 785,559 8,443,359 4,429 57.6 -45.5 411.3 CHS19-070 786,064 8,443,3192 4,464 180.33 -44.52 495 CHS19-071 785,941 8,443,324 4,502 228.99 -44.72 474.3 CHS19-072 785,668 8,443,309 4,443 359.22 -52.15 487.25 CHS19-077 785,723 8,443,366 4,457 168.76 -85.56 532.75 CHS19-079 786,319 8,443,332 4,486 240.34 -45.06 330.3 CHS19-081 785,902 8,443,332 4,462 105.28 -44.62 380.3 CHS19-085 785,942 8,443,323 4,502 2								
CHS19-068 786,318 8,443,271 4,393 349.69 -45.02 470.4 CHS19-069 785,559 8,443,359 4,429 57.6 -45.5 411.3 CHS19-070 786,064 8,443,192 4,464 180.33 -44.52 495 CHS19-071 785,941 8,443,309 4,443 359.22 -52.15 487.25 CHS19-072 785,668 8,443,309 4,443 359.22 -52.15 487.25 CHS19-077 785,723 8,443,366 4,457 168.76 -85.56 352.75 CHS19-079 786,319 8,443,321 4,393 53.81 -44.48 400 CHS19-081 785,902 8,443,323 4,486 240.34 -45.06 332 CHS19-084 785,668 8,443,323 4,502 285 -68 45.1 CHS19-085 785,942 8,443,323 4,501 229.62 -45.05 425.25 CHS19-095 785,666 8,443,324 4,501 229.95	CHS19-065	785,666	8,443,305	4,443	140.02	-45.31	362.55	
CHS19-069 785,559 8,443,359 4,429 57.6 -45.5 411.3 CHS19-070 786,064 8,443,192 4,464 180.33 -44.52 495 CHS19-071 785,941 8,443,392 4,502 228.99 -44.72 474.3 CHS19-072 785,668 8,443,309 4,443 359.22 -52.15 487.25 CHS19-077 785,723 8,443,366 4,457 168.76 -85.56 532.75 CHS19-081 785,902 8,443,332 4,386 240.34 -45.06 332 CHS19-084 785,668 8,443,332 4,486 240.34 -45.06 332 CHS19-085 785,942 8,443,323 4,502 285 -68 45.1 CHS19-089 785,906 8,443,323 4,501 229.62 -45.05 425.25 CHS19-095 785,666 8,443,306 4,443 259.66 -44.94 303.4 CHS19-095 785,666 8,443,306 4,443 104.59	CHS19-066	786,065	8,443,191	4,464	135.11	-51.67	272.75	
CHS19-070 786,064 8,443,192 4,464 180.33 -44.52 495 CHS19-071 785,941 8,443,324 4,502 228.99 -44.72 474.3 CHS19-072 785,668 8,443,309 4,443 359.22 -52.15 487.25 CHS19-077 785,723 8,443,366 4,457 168.76 -85.56 532.75 CHS19-079 786,319 8,443,271 4,393 53.81 -44.48 400 CHS19-081 785,962 8,443,323 4,486 240.34 -45.06 332 CHS19-084 785,668 8,443,306 4,442 105.28 -44.62 380.3 CHS19-085 785,942 8,443,323 4,502 285 -68 45.1 CHS19-084 785,966 8,443,3263 4,501 229.62 -45.05 425.25 CHS19-095 785,666 8,443,304 4,501 229.95 -65.37 375.55 CHS19-099 785,907 8,443,264 4,501 229.95 <td>CHS19-068</td> <td>786,318</td> <td>8,443,271</td> <td>4,393</td> <td>349.69</td> <td>-45.02</td> <td>470.4</td> <td></td>	CHS19-068	786,318	8,443,271	4,393	349.69	-45.02	470.4	
CHS19-071 785,941 8,443,324 4,502 228.99 -44.72 474.3 CHS19-072 785,668 8,443,309 4,443 359.22 -52.15 487.25 CHS19-077 785,723 8,443,366 4,457 168.76 -85.56 532.75 CHS19-079 786,319 8,443,271 4,393 53.81 -44.48 400 CHS19-081 785,902 8,443,332 4,486 240.34 -45.06 332 CHS19-084 785,668 8,443,306 4,442 105.28 -44.62 380.3 CHS19-085 785,942 8,443,323 4,502 285 -68 45.1 CHS19-089 785,906 8,443,263 4,501 229.62 -45.05 425.25 CHS19-094 785,943 8,443,324 4,501 229.95 -65.37 375.55 CHS19-099 785,966 8,443,306 4,443 259.66 -44.94 303.4 CHS19-099 785,668 8,443,306 4,443 104.59 <td>CHS19-069</td> <td>785,559</td> <td>8,443,359</td> <td>4,429</td> <td>57.6</td> <td>-45.5</td> <td>411.3</td> <td></td>	CHS19-069	785,559	8,443,359	4,429	57.6	-45.5	411.3	
CHS19-072 785,668 8,443,309 4,443 359.22 -52.15 487.25 CHS19-077 785,723 8,443,366 4,457 168.76 -85.56 532.75 CHS19-079 786,319 8,443,271 4,393 53.81 -44.48 400 CHS19-081 785,902 8,443,332 4,486 240.34 -45.06 332 CHS19-084 785,668 8,443,306 4,442 105.28 -44.62 380.3 CHS19-085 785,942 8,443,323 4,502 285 -68 45.1 CHS19-089 785,906 8,443,263 4,501 229.62 -45.05 425.25 CHS19-094 785,943 8,443,306 4,443 259.66 -44.94 303.4 CHS19-095 785,666 8,443,306 4,443 259.66 -44.94 303.4 CHS19-100 785,666 8,443,306 4,443 104.59 -89.17 455.9 CHEX20-001 785,666 8,443,306 4,442 159.04 <td>CHS19-070</td> <td>786,064</td> <td>8,443,192</td> <td>4,464</td> <td>180.33</td> <td>-44.52</td> <td>495</td> <td></td>	CHS19-070	786,064	8,443,192	4,464	180.33	-44.52	495	
CHS19-077 785,723 8,443,366 4,457 168.76 -85.56 532.75 CHS19-079 786,319 8,443,271 4,393 53.81 -44.48 400 CHS19-081 785,902 8,443,332 4,486 240.34 -45.06 332 CHS19-084 785,668 8,443,306 4,442 105.28 -44.62 380.3 CHS19-085 785,942 8,443,323 4,502 285 -68 45.1 CHS19-089 785,906 8,443,263 4,501 229.62 -45.05 425.25 CHS19-094 785,943 8,443,324 4,503 133.76 -45.15 220.7 CHS19-095 785,666 8,443,306 4,443 259.66 -44.94 303.4 CHS19-100 785,668 8,443,306 4,443 104.59 -89.17 455.9 CHEX20-001 785,666 8,443,305 4,442 159.04 -45.11 315.2 CHEX20-002 785,665 8,443,307 4,443 179.11 <td>CHS19-071</td> <td>785,941</td> <td>8,443,324</td> <td>4,502</td> <td>228.99</td> <td>-44.72</td> <td>474.3</td> <td></td>	CHS19-071	785,941	8,443,324	4,502	228.99	-44.72	474.3	
CHS19-079 786,319 8,443,271 4,393 53.81 -44.48 400 CHS19-081 785,902 8,443,332 4,486 240.34 -45.06 332 CHS19-084 785,668 8,443,306 4,442 105.28 -44.62 380.3 CHS19-085 785,942 8,443,323 4,502 285 -68 45.1 CHS19-089 785,906 8,443,263 4,501 229.62 -45.05 425.25 CHS19-094 785,943 8,443,324 4,503 133.76 -45.15 220.7 CHS19-095 785,666 8,443,306 4,443 259.66 -44.94 303.4 CHS19-099 785,907 8,443,264 4,501 229.95 -65.37 375.55 CHS19-100 785,668 8,443,306 4,443 104.59 -89.17 455.9 CHEX20-001 785,666 8,443,305 4,442 159.04 -45.11 315.2 CHEX20-002 785,665 8,443,307 4,443 179.11 <td>CHS19-072</td> <td>785,668</td> <td>8,443,309</td> <td>4,443</td> <td>359.22</td> <td>-52.15</td> <td>487.25</td> <td></td>	CHS19-072	785,668	8,443,309	4,443	359.22	-52.15	487.25	
CHS19-081 785,902 8,443,332 4,486 240.34 -45.06 332 CHS19-084 785,668 8,443,306 4,442 105.28 -44.62 380.3 CHS19-085 785,942 8,443,323 4,502 285 -68 45.1 CHS19-089 785,906 8,443,263 4,501 229.62 -45.05 425.25 CHS19-094 785,943 8,443,324 4,503 133.76 -45.15 220.7 CHS19-095 785,666 8,443,306 4,443 259.66 -44.94 303.4 CHS19-099 785,907 8,443,264 4,501 229.95 -65.37 375.55 CHS19-100 785,668 8,443,306 4,443 104.59 -89.17 455.9 CHEX20-001 785,666 8,443,305 4,442 159.04 -45.11 315.2 CHEX20-002 785,665 8,443,307 4,443 179.11 -44.95 300.6 CHEX20-003 785,908 8,443,264 4,501 200.5	CHS19-077	785,723	8,443,366	4,457	168.76	-85.56	532.75	
CHS19-084 785,668 8,443,306 4,442 105.28 -44.62 380.3 CHS19-085 785,942 8,443,323 4,502 285 -68 45.1 CHS19-089 785,906 8,443,263 4,501 229.62 -45.05 425.25 CHS19-094 785,943 8,443,324 4,503 133.76 -45.15 220.7 CHS19-095 785,666 8,443,306 4,443 259.66 -44.94 303.4 CHS19-099 785,907 8,443,264 4,501 229.95 -65.37 375.55 CHS19-100 785,668 8,443,306 4,443 104.59 -89.17 455.9 CHEX20-001 785,666 8,443,306 4,442 159.04 -45.11 315.2 CHEX20-001 785,666 8,443,307 4,442 159.04 -45.11 315.2 CHEX20-002 785,665 8,443,307 4,443 179.11 -44.95 300.6 CHEX20-003 785,908 8,443,264 4,501 20	CHS19-079	786,319	8,443,271	4,393	53.81	-44.48	400	
CHS19-085 785,942 8,443,323 4,502 285 -68 45.1 CHS19-089 785,906 8,443,263 4,501 229.62 -45.05 425.25 CHS19-094 785,943 8,443,324 4,503 133.76 -45.15 220.7 CHS19-095 785,666 8,443,306 4,443 259.66 -44.94 303.4 CHS19-099 785,907 8,443,264 4,501 229.95 -65.37 375.55 CHS19-100 785,668 8,443,306 4,443 104.59 -89.17 455.9 CHEX20-001 785,666 8,443,305 4,442 159.04 -45.11 315.2 CHEX20-002 785,666 8,443,307 4,443 179.11 -44.95 300.6 CHEX20-003 785,965 8,443,307 4,443 179.11 -44.95 300.6 CHEX20-004 785,797 8,443,308 4,443 190.17 -70 300.2 CHEX20-005 785,667 8,443,308 4,443 190.	CHS19-081	785,902	8,443,332	4,486	240.34	-45.06	332	
CHS19-089 785,906 8,443,263 4,501 229.62 -45.05 425.25 CHS19-094 785,943 8,443,324 4,503 133.76 -45.15 220.7 CHS19-095 785,666 8,443,306 4,443 259.66 -44.94 303.4 CHS19-099 785,907 8,443,264 4,501 229.95 -65.37 375.55 CHS19-100 785,668 8,443,306 4,443 104.59 -89.17 455.9 CHEX20-001 785,666 8,443,305 4,442 159.04 -45.11 315.2 CHEX20-002 785,665 8,443,307 4,443 179.11 -44.95 300.6 CHEX20-003 785,908 8,443,264 4,501 200.5 -45.07 300 CHEX20-004 785,797 8,443,308 4,443 190.17 -70 300.2 CHEX20-005 785,667 8,443,200 4,467 319.38 3.03 300 CHEX20-006 786,057 8,443,265 4,501 214	CHS19-084	785,668	8,443,306	4,442	105.28	-44.62	380.3	
CHS19-094 785,943 8,443,324 4,503 133.76 -45.15 220.7 CHS19-095 785,666 8,443,306 4,443 259.66 -44.94 303.4 CHS19-099 785,907 8,443,264 4,501 229.95 -65.37 375.55 CHS19-100 785,668 8,443,306 4,443 104.59 -89.17 455.9 CHEX20-001 785,666 8,443,305 4,442 159.04 -45.11 315.2 CHEX20-002 785,665 8,443,307 4,443 179.11 -44.95 300.6 CHEX20-003 785,908 8,443,264 4,501 200.5 -45.07 300 CHEX20-004 785,797 8,443,399 4,458 244.26 -59.97 300 CHEX20-005 785,667 8,443,308 4,443 190.17 -70 300.2 CHEX20-006 786,057 8,443,200 4,467 319.38 3.03 300 CHEX20-007 785,746 8,442,983 4,435 3.4 </td <td>CHS19-085</td> <td>785,942</td> <td>8,443,323</td> <td>4,502</td> <td>285</td> <td>-68</td> <td>45.1</td> <td></td>	CHS19-085	785,942	8,443,323	4,502	285	-68	45.1	
CHS19-095 785,666 8,443,306 4,443 259.66 -44.94 303.4 CHS19-099 785,907 8,443,264 4,501 229.95 -65.37 375.55 CHS19-100 785,668 8,443,306 4,443 104.59 -89.17 455.9 CHEX20-001 785,666 8,443,305 4,442 159.04 -45.11 315.2 CHEX20-002 785,665 8,443,307 4,443 179.11 -44.95 300.6 CHEX20-003 785,908 8,443,264 4,501 200.5 -45.07 300 CHEX20-004 785,797 8,443,399 4,458 244.26 -59.97 300 CHEX20-005 785,667 8,443,308 4,443 190.17 -70 300.2 CHEX20-006 786,057 8,443,200 4,467 319.38 3.03 300 CHEX20-007 785,746 8,442,983 4,435 3.4 -45.28 404.4 CHEX20-015 785,671 8,443,264 4,501 214.88<	CHS19-089	785,906	8,443,263	4,501	229.62	-45.05	425.25	
CHS19-099 785,907 8,443,264 4,501 229.95 -65.37 375.55 CHS19-100 785,668 8,443,306 4,443 104.59 -89.17 455.9 CHEX20-001 785,666 8,443,305 4,442 159.04 -45.11 315.2 CHEX20-002 785,665 8,443,307 4,443 179.11 -44.95 300.6 CHEX20-003 785,908 8,443,264 4,501 200.5 -45.07 300 CHEX20-004 785,797 8,443,399 4,458 244.26 -59.97 300 CHEX20-005 785,667 8,443,308 4,443 190.17 -70 300.2 CHEX20-006 786,057 8,443,200 4,467 319.38 3.03 300 CHEX20-007 785,746 8,442,983 4,435 3.4 -45.28 404.4 CHEX20-008 785,907 8,443,265 4,501 214.88 -65.07 313.55 CHEX20-012 785,671 8,443,308 4,442 159.7	CHS19-094	785,943	8,443,324	4,503	133.76	-45.15	220.7	
CHS19-100 785,668 8,443,306 4,443 104.59 -89.17 455.9 CHEX20-001 785,666 8,443,305 4,442 159.04 -45.11 315.2 CHEX20-002 785,665 8,443,307 4,443 179.11 -44.95 300.6 CHEX20-003 785,908 8,443,264 4,501 200.5 -45.07 300 CHEX20-004 785,797 8,443,399 4,458 244.26 -59.97 300 CHEX20-005 785,667 8,443,308 4,443 190.17 -70 300.2 CHEX20-006 786,057 8,443,200 4,467 319.38 3.03 300 CHEX20-007 785,746 8,442,983 4,435 3.4 -45.28 404.4 CHEX20-008 785,907 8,443,265 4,501 214.88 -65.07 313.55 CHS19-105 785,671 8,443,308 4,442 159.7 -74.7 350.95 CHEX20-012 785,671 8,443,364 4,501 214.47<	CHS19-095	785,666	8,443,306	4,443	259.66	-44.94	303.4	
CHEX20-001 785,666 8,443,305 4,442 159.04 -45.11 315.2 CHEX20-002 785,665 8,443,307 4,443 179.11 -44.95 300.6 CHEX20-003 785,908 8,443,264 4,501 200.5 -45.07 300 CHEX20-004 785,797 8,443,399 4,458 244.26 -59.97 300 CHEX20-005 785,667 8,443,308 4,443 190.17 -70 300.2 CHEX20-006 786,057 8,443,200 4,467 319.38 3.03 300 CHEX20-007 785,746 8,442,983 4,435 3.4 -45.28 404.4 CHEX20-008 785,907 8,443,265 4,501 214.88 -65.07 313.55 CHS19-105 785,671 8,443,308 4,442 159.7 -74.7 350.95 CHEX20-012 785,671 8,443,308 4,442 159.7 -74.7 350.95 CHEX20-014 785,559 8,443,358 4,429 113.29<	CHS19-099	785,907	8,443,264	4,501	229.95	-65.37	375.55	
CHEX20-002 785,665 8,443,307 4,443 179.11 -44.95 300.6 CHEX20-003 785,908 8,443,264 4,501 200.5 -45.07 300 CHEX20-004 785,797 8,443,399 4,458 244.26 -59.97 300 CHEX20-005 785,667 8,443,308 4,443 190.17 -70 300.2 CHEX20-006 786,057 8,443,200 4,467 319.38 3.03 300 CHEX20-007 785,746 8,442,983 4,435 3.4 -45.28 404.4 CHEX20-008 785,907 8,443,265 4,501 214.88 -65.07 313.55 CHS19-105 785,905 8,443,262 4,502 200 -65 325.45 CHEX20-012 785,671 8,443,308 4,442 159.7 -74.7 350.95 CHEX20-013 785,907 8,443,264 4,501 214.47 -44.84 334.05 CHEX20-014 785,559 8,443,358 4,429 113.29 <td>CHS19-100</td> <td>785,668</td> <td>8,443,306</td> <td>4,443</td> <td>104.59</td> <td>-89.17</td> <td>455.9</td> <td></td>	CHS19-100	785,668	8,443,306	4,443	104.59	-89.17	455.9	
CHEX20-003 785,908 8,443,264 4,501 200.5 -45.07 300 CHEX20-004 785,797 8,443,399 4,458 244.26 -59.97 300 CHEX20-005 785,667 8,443,308 4,443 190.17 -70 300.2 CHEX20-006 786,057 8,443,200 4,467 319.38 3.03 300 CHEX20-007 785,746 8,442,983 4,435 3.4 -45.28 404.4 CHEX20-008 785,907 8,443,265 4,501 214.88 -65.07 313.55 CHS19-105 785,905 8,443,262 4,502 200 -65 325.45 CHEX20-012 785,671 8,443,308 4,442 159.7 -74.7 350.95 CHEX20-013 785,907 8,443,264 4,501 214.47 -44.84 334.05 CHEX20-014 785,559 8,443,358 4,429 113.29 -64.86 300.15 CHEX20-015 785,745 8,442,982 4,436 3.9	CHEX20-001	785,666	8,443,305	4,442	159.04	-45.11	315.2	
CHEX20-004 785,797 8,443,399 4,458 244.26 -59.97 300 CHEX20-005 785,667 8,443,308 4,443 190.17 -70 300.2 CHEX20-006 786,057 8,443,200 4,467 319.38 3.03 300 CHEX20-007 785,746 8,442,983 4,435 3.4 -45.28 404.4 CHEX20-008 785,907 8,443,265 4,501 214.88 -65.07 313.55 CHS19-105 785,905 8,443,262 4,502 200 -65 325.45 CHEX20-012 785,671 8,443,308 4,442 159.7 -74.7 350.95 CHEX20-013 785,907 8,443,264 4,501 214.47 -44.84 334.05 CHEX20-014 785,559 8,443,358 4,429 113.29 -64.86 300.15 CHEX20-015 785,745 8,442,982 4,436 3.9 -64.92 300.05 CHEX20-016 785,670 8,443,266 4,501 235	CHEX20-002	785,665	8,443,307	4,443	179.11	-44.95	300.6	
CHEX20-005 785,667 8,443,308 4,443 190.17 -70 300.2 CHEX20-006 786,057 8,443,200 4,467 319.38 3.03 300 CHEX20-007 785,746 8,442,983 4,435 3.4 -45.28 404.4 CHEX20-008 785,907 8,443,265 4,501 214.88 -65.07 313.55 CHS19-105 785,905 8,443,262 4,502 200 -65 325.45 CHEX20-012 785,671 8,443,308 4,442 159.7 -74.7 350.95 CHEX20-013 785,907 8,443,264 4,501 214.47 -44.84 334.05 CHEX20-014 785,559 8,443,358 4,429 113.29 -64.86 300.15 CHEX20-015 785,745 8,442,982 4,436 3.9 -64.92 300.05 CHEX20-016 785,670 8,443,306 4,442 220.11 -65.38 313.6 CHEX20-017 785,908 8,443,266 4,501 235 <td>CHEX20-003</td> <td>785,908</td> <td>8,443,264</td> <td>4,501</td> <td>200.5</td> <td>-45.07</td> <td>300</td> <td></td>	CHEX20-003	785,908	8,443,264	4,501	200.5	-45.07	300	
CHEX20-006 786,057 8,443,200 4,467 319.38 3.03 300 CHEX20-007 785,746 8,442,983 4,435 3.4 -45.28 404.4 CHEX20-008 785,907 8,443,265 4,501 214.88 -65.07 313.55 CHS19-105 785,905 8,443,262 4,502 200 -65 325.45 CHEX20-012 785,671 8,443,308 4,442 159.7 -74.7 350.95 CHEX20-013 785,907 8,443,264 4,501 214.47 -44.84 334.05 CHEX20-014 785,559 8,443,358 4,429 113.29 -64.86 300.15 CHEX20-015 785,745 8,442,982 4,436 3.9 -64.92 300.05 CHEX20-016 785,670 8,443,306 4,442 220.11 -65.38 313.6 CHEX20-017 785,908 8,443,266 4,501 235 -80 302.1	CHEX20-004	785,797	8,443,399	4,458	244.26	-59.97	300	
CHEX20-007 785,746 8,442,983 4,435 3.4 -45.28 404.4 CHEX20-008 785,907 8,443,265 4,501 214.88 -65.07 313.55 CHS19-105 785,905 8,443,262 4,502 200 -65 325.45 CHEX20-012 785,671 8,443,308 4,442 159.7 -74.7 350.95 CHEX20-013 785,907 8,443,264 4,501 214.47 -44.84 334.05 CHEX20-014 785,559 8,443,358 4,429 113.29 -64.86 300.15 CHEX20-015 785,745 8,442,982 4,436 3.9 -64.92 300.05 CHEX20-016 785,670 8,443,306 4,442 220.11 -65.38 313.6 CHEX20-017 785,908 8,443,266 4,501 235 -80 302.1	CHEX20-005	785,667	8,443,308	4,443	190.17	-70	300.2	
CHEX20-008 785,907 8,443,265 4,501 214.88 -65.07 313.55 CHS19-105 785,905 8,443,262 4,502 200 -65 325.45 CHEX20-012 785,671 8,443,308 4,442 159.7 -74.7 350.95 CHEX20-013 785,907 8,443,264 4,501 214.47 -44.84 334.05 CHEX20-014 785,559 8,443,358 4,429 113.29 -64.86 300.15 CHEX20-015 785,745 8,442,982 4,436 3.9 -64.92 300.05 CHEX20-016 785,670 8,443,306 4,442 220.11 -65.38 313.6 CHEX20-017 785,908 8,443,266 4,501 235 -80 302.1	CHEX20-006	786,057	8,443,200	4,467	319.38	3.03	300	
CHS19-105 785,905 8,443,262 4,502 200 -65 325.45 CHEX20-012 785,671 8,443,308 4,442 159.7 -74.7 350.95 CHEX20-013 785,907 8,443,264 4,501 214.47 -44.84 334.05 CHEX20-014 785,559 8,443,358 4,429 113.29 -64.86 300.15 CHEX20-015 785,745 8,442,982 4,436 3.9 -64.92 300.05 CHEX20-016 785,670 8,443,306 4,442 220.11 -65.38 313.6 CHEX20-017 785,908 8,443,266 4,501 235 -80 302.1	CHEX20-007	785,746	8,442,983	4,435	3.4	-45.28	404.4	
CHEX20-012 785,671 8,443,308 4,442 159.7 -74.7 350.95 CHEX20-013 785,907 8,443,264 4,501 214.47 -44.84 334.05 CHEX20-014 785,559 8,443,358 4,429 113.29 -64.86 300.15 CHEX20-015 785,745 8,442,982 4,436 3.9 -64.92 300.05 CHEX20-016 785,670 8,443,306 4,442 220.11 -65.38 313.6 CHEX20-017 785,908 8,443,266 4,501 235 -80 302.1	CHEX20-008	785,907	8,443,265	4,501	214.88	-65.07	313.55	
CHEX20-013 785,907 8,443,264 4,501 214.47 -44.84 334.05 CHEX20-014 785,559 8,443,358 4,429 113.29 -64.86 300.15 CHEX20-015 785,745 8,442,982 4,436 3.9 -64.92 300.05 CHEX20-016 785,670 8,443,306 4,442 220.11 -65.38 313.6 CHEX20-017 785,908 8,443,266 4,501 235 -80 302.1	CHS19-105	785,905	8,443,262	4,502	200	-65	325.45	
CHEX20-014 785,559 8,443,358 4,429 113.29 -64.86 300.15 CHEX20-015 785,745 8,442,982 4,436 3.9 -64.92 300.05 CHEX20-016 785,670 8,443,306 4,442 220.11 -65.38 313.6 CHEX20-017 785,908 8,443,266 4,501 235 -80 302.1	CHEX20-012	785,671	8,443,308	4,442	159.7	-74.7	350.95	
CHEX20-015 785,745 8,442,982 4,436 3.9 -64.92 300.05 CHEX20-016 785,670 8,443,306 4,442 220.11 -65.38 313.6 CHEX20-017 785,908 8,443,266 4,501 235 -80 302.1	CHEX20-013	785,907	8,443,264	4,501	214.47	-44.84	334.05	
CHEX20-016 785,670 8,443,306 4,442 220.11 -65.38 313.6 CHEX20-017 785,908 8,443,266 4,501 235 -80 302.1	CHEX20-014	785,559	8,443,358	4,429	113.29	-64.86	300.15	
CHEX20-017 785,908 8,443,266 4,501 235 -80 302.1	CHEX20-015	785,745	8,442,982	4,436	3.9	-64.92	300.05	
	CHEX20-016	785,670	8,443,306	4,442	220.11	-65.38	313.6	
SUEVOS 040 TOT TAKE 0.440.004 4.405 0.4540 4.705 4.705	CHEX20-017	785,908	8,443,266	4,501	235	-80	302.1	
CHEX20-018	CHEX20-018	785,746	8,442,984	4,436	345.12	-45.27	437.6	
CHEX20-020 785,669 8,443,305 4,443 219.7 -45.34 300	CHEX20-020	785,669	8,443,305	4,443	219.7	-45.34	300	
CHEX20-021 785,907 8,443,265 4,501 150.7 -64.9 300.65	CHEX20-021	785,907	8,443,265	4,501	150.7	-64.9	300.65	

Méthodes d'agrégation des données Les intervalles d'échantillonnage au fond des puits ont été compilés à des fins de rapport à l'aide d'un outil de composition du logiciel d'exploitation minière Vulcan. L'outil recherche les intervalles au-dessus d'une teneur limite (0,2 % de Cu dans ce cas) et les combine pour obtenir une épaisseur minimale de 20 m. Un fond de 20 m dans un trou de forage en angle correspond approximativement à la hauteur verticale de 15 m du gradin actuellement utilisé à Las Bambas.

Critères d'évaluation	Commentaire						
Section 2 Commun	insting des Désultats de III polanties						
Section 2 Commun	ication des Résultats de l'Exploration						
	Aucun équivalent en métal n'a été utilisé pour le signalement des intersections.						
Relation entre la	Dans la minéralisation de la zone Chalcobamba Sud-Ouest, la géométrie de la géologie n'est pas encore bien comprise et les						
largeur de	épaisseurs réelles sont donc incertaines à ce stade.						
minéralisation et les longueurs	Tous les intervalles signalés sont des largeurs de fond de trou.						
d'interception							
Diagrammes	785200 785400 785600 785800 786000 786200						
	0867 - LAS RAMBAS						
	a LAS BAMBAS						
	843900						
	CH519-099						
	CHEX20-019						
	26						
	CHEX20-005						
	CHEX20-021						
	CHEX20-003 CHEX20-013 CHEX20-013 CHEX20-03						
	CHEXA9-012 CHS19-012						
	CHEX20-007 CHEX20-007 CHEX20-007						
	СНЕХ20-018 СНЕХ20-015						
	CHS19-089						
	08 Page Prid Assays Cu® Assay						
	0.2% - 0.3% - 0.5%						
	0.5% - 0.75% 0 0.5% - 0.75% 1%						
	8 475 600 8 475 600						
	785200 785400 785600 785800 786000 786200						
Pannorts	La liste exhaustive des analyses des intervalles de forage dans la zone de minéralisation de Chalcobamba Sud-Ouest est fourni						
Rapports équilibrés	dans ce communiqué de presse.						
Autres données	Au cours des trois dernières années, plusieurs études sur la connaissance des gisements ont été menées, notamment sur la						
d'exploration significatives	zonation des skarns, la densité des veines et un vaste programme de datation de l'âge. Les résultats de ces études aident à améliorer la compréhension des gisements. Des études sur la cartographie de l'argile et du talc sont également en cours.						
	La gravimétrie au sol, l'IP et la magnétométrie sont effectuées régulièrement sur tous les projets d'exploration. Des levés						
	aériens magnétométriques, radiométriques et EM ont été effectués.						

Critères	Commentaire
d'évaluation	
Section 2 Communi	cation des Résultats de l'Exploration
	La cartographie de surface, l'échantillonnage des éclats de roche et la géochimie des quadrillages du sol sont effectués
	régulièrement dans le cadre de tous les projets d'exploration.

Critères d'évaluation	Commentaire
Section 3 Estimatio	n et Déclaration des Ressources Minérales
Intégrité de la base de données	 Les mesures suivantes sont en place pour garantir l'intégrité de la base de données : Toutes les données relatives aux forages de Las Bambas sont stockées dans une base de données SQL (Geobank) sur le serveur du site de Las Bambas, qui est régulièrement sauvegardé. L'ensemble de la base de données a été migré de acQuire à Geobank en 2019 Les diagraphies géologiques sont saisies directement dans les ordinateurs portables qui sont téléchargés dans la base de données. Avant novembre 2014, les forages au diamant étaient enregistrés sur des formulaires de diagraphie papier et transcrits dans la base de données. À partir de novembre 2015, les enregistrements ont été saisis directement dans une interface personnalisée à l'aide d'ordinateurs tablettes portables. Les analyses sont chargées directement dans la base de données à partir de fichiers numériques fournis par le laboratoire d'analyse. Les mesures décrites ci-dessus garantissent que les erreurs de transcription ou de saisie des données sont réduites au minimum. Les procédures de validation des données comprennent :
	 Un projet de validation de la base de données a été entrepris au début de l'année 2015 pour vérifier 5 % des échantillons analysés dans la base de données par rapport aux certificats de laboratoire originaux. Aucun problème significatif n'a été identifié. La base de données dispose de processus de validation internes qui empêchent le stockage d'entrées non valides ou non approuvés.
Visites sur site	La personne compétente a effectué de nombreuses visites sur le site de Las Bambas depuis son acquisition. Selon la personne compétente, il n'y a pas de risques matériels pour les ressources minérales sur la base d'observations des pratiques du site. Plusieurs visites de sites dans la région de Ferrobamba et de Chalcobamba ont été effectuées, mais en raison des restrictions imposées par les communautés locales, la Personne Compétente n'a pas pu se rendre à Sulfobamba à ce jour.
Interprétation géologique	 Les premiers forages de définition des ressources dans la zone Chalcobamba Sud-Ouest se poursuivent avec les interprétations des sections géologiques associées actuellement en cours. Les intersections de forage significatives > 1,0 % de Cu sont associées à une altération du skarn logée dans le calcaire, tandis que la minéralisation à plus faible teneur est logée dans une altération de type porphyrique. La modélisation 3D commencera une fois le programme de forage de 2019 achevé. Les facteurs affectant la continuité de la teneur et de la géologie.
Dimensions	La projection de surface des interceptions de forage rapportées ici et situées le long de la bordure sud-ouest de la mine de Chalcobamba (tableau 2 - ci-dessous) mesure environ 400 mètres dans une direction NE et 600 mètres dans une direction NO/SE.

Techniques d'estimation et de modélisation	Non applicable car aucune ressource minérale n'est signalée pour le moment.
Humidité	Non applicable car aucune ressource minérale n'est signalée pour le moment.
Paramètres seuil	Une teneur seuil de 0,2 % de Cu a été appliquée aux intersections signalées. La base de cette teneur limite est qu'elle est proche de la teneur seuil moyenne de la ressource minérale signalée dans les autres gisements de Las Bambas.
Facteurs ou hypothèses d'exploitation minières	Aucun facteur d'exploitation minière spécifique n'a été appliqué à ce gisement, mais on s'attend à ce que des méthodes similaires prévues pour l'exploitation minière de Chalcobamba soient également appliquées à cette région.
Facteurs ou hypothèses métallurgiques	Le sulfure et les matières partiellement oxydées sont inclus dans les ressources minérales qui devraient être converties en réserves de minerai et traitées dans les installations de concentration sur place. Aucun autre facteur métallurgique n'a été appliqué aux ressources minérales.
Facteurs ou hypothèses	Les facteurs environnementaux sont pris en compte dans la durée de vie des actifs de Las Bambas, qui est mise à jour chaque année et comprend une provision pour la fermeture de la mine.
environnementaux	Les caractérisations géochimiques entreprises en 2007, 2009 et 2017 indiquent que la plupart des stériles provenant des gisements de Ferrobamba et de Chalcobamba sont des formations non acidifiantes (NAF) et qu'il ne faut pas s'attendre à un drainage minier acide dans les décharges de stériles de ces deux mines. Les échantillons de stériles de Sulfobamba contiennent des concentrations plus élevées de soufre et 30 à 40 % des stériles pourraient être potentiellement acifidiants (PAF). Des mesures de contrôle appropriées seront mises en œuvre pour tous les stériles PAF, y compris l'étude des possibilités de remblayage dans les cavités des mines. On s'attend à ce qu'il n'y ait pas de différence significative dans la nature des matériaux de cette zone par rapport à l'ensemble de Chalcobamba. Des travaux supplémentaires de caractérisation géochimique sont nécessaires.
	Il a été déterminé que les rejets générés par le traitement du Ferrobamba et du Chalcobamba sont des NAF. La caractérisation géochimique des rejets générés par le traitement des minerais de Sulfobamba est actuellement en cours d'évaluation, mais à des fins d'évaluation environnementale, on a supposé qu'ils avaient un comportement PAF. Les calendriers actuels de la durée de vie des actifs prévoient le traitement des rejets de Ferrobamba pendant plusieurs années après le traitement des rejets de Sulfobamba. Un plan de fermeture a été soumis et approuvé par le gouvernement en 2016 et décrit la méthode d'encapsulation des rejets de Sulfobamba.
	Sur la base de la conception actuelle du TSF et des hypothèses de conception pour la densité de sédimentation sèche et l'angle de plage, le TSF à Las Bambas a une capacité finale de 784Mt de rejets provenant du traitement de 800Mt. Trois études ont été menées pour augmenter la capacité de stockage des rejets à Las Bambas :
	 Travaux de test de caractérisation des rejets pour évaluer la densité finale de sédimentation et la pente de la plage dans le TSF actuel.
	Évaluation des options pour augmenter la capacité du TSF actuellement en construction.
	Étude de préfaisabilité pour un TSF supplémentaire.
Densité de masse	La densité de masse est déterminée selon le principe d'Archimède (méthode du poids dans l'air et du poids dans l'eau). Des échantillons de 20 cm de long sont mesurés à une fréquence d'environ un par plateau de carottage et en fonction des domaines géologiques. Les mesures de densité sont considérées comme représentatives de chaque domaine lithologique. La mesure de la densité de masse se fait dans un laboratoire d'analyse externe et indépendant. La carotte est séchée à l'air et la carotte entière est recouverte de cire avant la détermination de la densité de masse pour s'assurer que les espaces vides sont pris en compte.
	Les valeurs de densité dans les modèles de ressources minérales sont estimées en utilisant le krigeage ordinaire dans les formes du domaine lithologique. Les blocs non estimés se sont vu attribuer une valeur de densité basée sur une valeur attendue de roche non minéralisée dans chaque domaine géologique.

Classification	Non applicable car aucune ressource minérale n'est signalée pour le moment.
Audits ou examens	Aucun audit ou examen n'a été entrepris sur Chalcobamba SO
Discussion sur la précision / confiance relative	Il existe une grande confiance géologique quant à la localisation spatiale, la continuité et les teneurs estimées des lithologies modélisées dans ce gisement. Des variations locales mineures devraient se produire à une échelle inférieure à 25 m qui n'est pas détectable par l'espacement actuel des forages. Les statistiques globales déclassées des bases de données composites sur une base de domaine ont été comparées au modèle de bloc. Les estimations du modèle de bloc étaient à moins de 10 % de la base de données composite. Des tracés d'andainage locaux ont été réalisés pour chaque gisement. Tous les tracés ont montré un lissage approprié des échantillons composites par rapport aux teneurs estimées des blocs.

Tableau 2 - Résumé des interceptions significatives en fond de puits, Las Bambas, zone Chalcobamba Sud-Ouest

Note: NSI= pas d'intersection significative

ID Trou	De (m)	A (m)	Longueur (m)	Cu (%)	Au (g/t)	Mo ppm	Ag (g/t)
CH43200-2	2.5	72.1	69.6	0.49	0.02	172	1.1
CH43200-3	46	77.5	31.5	0.26	0.03	184	0.8
	83.2	196	112.8	0.24	0.02	136	0.6
CH43325-1	12.4	59.4	47	0.75	0.03	7	3.5
CH43650-11	147.5	167.5	20	0.55	0.02	88	1.7
CH43650-12	11	42.9	31.9	0.46	0.02	5	2
	106.9	141.3	34.4	1.47	0.07	10	6.9
	160.8	181.1	20.4	0.46	0.02	14	2.1
CHS18-023	46.2	90.6	44.4	1.21	0.05	20	3.5
	301	321	20	0.27	0.01	291	0.9
	354.5	382.8	28.3	0.29	0.01	304	0.8
	397.7	435.1	37.4	0.26	0.01	228	0.7
	454.6	492	37.4	0.23	0.01	246	0.6
CHS18-028	99.5	119.7	20.2	0.82	0.04	18	4
	278.2	338.5	60.3	0.31	0.01	89	1.2
CHS18-034	34.7	54.7	20	0.22	0.01	8	0.7
	82.6	102.8	20.2	0.22	0.01	21	0.7
	381.5	401.5	20	0.51	0.01	4	1.2
	535.6	571.3	35.7	0.46	0.01	164	1.9
CHS18-040	83.5	116.7	33.2	0.38	0.02	8	1.4
	133.1	153.1	20	0.25	0.03	127	1.1
	206.9	226.9	20	1.2	0.06	26	4.4
	411.7	439.9	28.3	0.91	0.05	72	3.4
	461.9	497.1	35.2	0.27	0.01	417	1.3
CHS18-045	10113	.57	33.2	NSI	0.0.		1.0
CHS18-049	0.9	382.1	381.2	0.37	0.01	263	1
0.10.10 0.15	397.5	423.9	26.4	0.23	0.01	141	0.6
	426.1	472.3	46.2	0.28	0.01	225	0.7
CHS18-050	30.9	50.9	20	0.47	0.05	6	1.7
0.10.10.000	86.4	106.4	20	0.21	0.01	4	1.2
	122.8	156.7	33.9	0.66	0.02	12	2.1
CHS19-003	122.0	150.7	33.3	NSI	0.02		
CHS19-004	20	41	21	0.8	0.04	24	3.4
C11313 004	48	68	20	0.27	0.01	5	1.1
	128	148	20	0.42	0.02	9	1.5
	201	260.5	59.5	1.01	0.06	17	3.9
	278	298	20	0.23	0.01	289	0.8
CHS19-006	210	230	20	NSI	0.01	203	0.0
CHS19-000	0	35.7	35.7	0.44	0.02	125	1.1
011313 011	49.9	153	103.1	0.54	0.02	299	1.5
	259	279	20	0.25	0.02	116	0.8
	289.5	309.5	20	0.23	0.01	86	0.6
	333.8	371	37.2	0.25	0.01	77	0.7
	333.8	411	20	0.25	0.01	78	0.5
						1	_
	423	447	24	0.38	0.01	63	0.7
	463	490	27	0.23	0.01	67	0.5

ID Trou	De (m)	A (m)	Longueur (m)	Cu (%)	Au (g/t)	Mo ppm	Ag (g/t)
CHS19-012	24.8	44.8	20	0.38	0.02	144	1.2
	107	233.8	126.8	1.39	0.04	7	4.7
	282	325.7	43.7	0.34	0.01	560	1.8
CHS19-016				NSI			
CHS19-019	23	33.2	10.2	0.21	0.01	6.76	2.28
	147	161	14	0.24	0.01	78.29	1.33
	388.3	400	11.7	0.2	0.01	41.9	0.7
	422	442	20	0.28	0.02	260.5	1.13
CHS19-020			1	NSI		•	•
CHS19-022	37.35	58.85	21.5	0.63	0.05	18.62	3.13
	180.4	200.1	19.7	0.2	0.01	264.1	0.61
	246	275	29	0.3	0.01	535.9	1.52
	292.2	429.5	137.3	0.4	0.02	278	1.38
CUIC40 024	496	514	18	0.24	0.01	245.44	0.57
CHS19-024	272	290	18	0.36	0.01	154.2	2.44
CHS19-025	0.4	24	23.6	0.77	0.02	263.44	2.23
	31	49.5	18.5	0.44	0.01	52.66	1.14
	57	115	58	0.29	0.01	308.03	0.76
CHS19-027	131 121	141 173.8	10 52.8	0.21	0.01	43.4 246.22	0.66 2.27
CU313-071	316.95	424	107.05	0.33	0.02	147.71	1.1
	430	476	46	0.3	0.01	316.7	0.57
	485.9	512	26.1	0.28	0.01	248.28	0.37
CHS19-028	23	52	29	1.38	0.12	2.67	6.12
0.1313 020	94.25	100	5.75	0.4	0.02	464.24	3.56
	114	135	21	0.23	0.01	162.96	0.7
	141	159.6	18.6	0.26	0.01	210.52	1.1
	180	190	10	0.23	0.01	57.2	0.67
	196	206	10	0.21	0.01	88.6	0.49
	212	241	29	0.25	0.01	69.88	0.77
	247	256	9	0.22	0.01	111.56	0.68
	268	274	6	0.13	0.01	24	0.34
	328	344	16	0.15	0.01	39.38	0.6
CHS19-033	0	18	18	0.33	0.01	29.98	0.86
	41	55	14	0.7	0.03	66.03	3.38
	72.2	77.35	5.15	0.9	0.06	985.2	12.02
	128.2	207.1	78.9	0.31	0.01	202.4	0.89
	235.4	240	4.6	0.19	0.01	44.78	0.61
	258	300	42	0.31	0.01	189.73	1
	344	356	12	0.31	0.01	88	0.84
	364	398	34	0.27	0.01	165.71	0.62
CHS19-034			1	NSI	T		1
CHS19-036	60	70	10	0.98	0.04	4.8	4.64
	163.55	169	5.45	0.22	0.01	13.25	0.7
	191	197.5	6.5	0.18	0.01	73.28	0.52
	210	254	44	0.98	0.07	2.68	4.38
	264.4	286	21.6	1.29	0.06	7.99	5.48
	355.75	377	21.25	0.21	0.01	222.84	0.97
CHC10 027	399 6.2	407 61.9	55.7	0.21	0.01	200.25 9.85	1.13 4.31
CHS19-037	103	61.9 110	7	0.7	0.04	535.35	0.25
	188	229	41	0.06	0.01	214.59	0.25
	317.8	348.25	30.45	0.34	0.01	300.63	0.77
	423	444.8	21.8	0.27	0.01	110.67	0.73
CHS19-039	118.95	125	6.05	0.27	0.02	4.99	1.27
011010 000	144.3	169	24.7	0.29	0.01	19.62	1.12
	232.1	254	21.9	0.81	0.05	191.08	3.76
	293.95	300	6.05	0.44	0.02	389.13	1.64
	366.7	397	30.3	0.38	0.01	261.77	1.27
	410	436	26	0.32	0.01	136.18	1.05
	456	477	21	0.24	0.01	109.1	1.14
	505.6	523.75	18.15	0.3	0.01	290.57	1.13

ID Trou	De (m)	A (m)	Longueur (m)	Cu (%)	Au (g/t)	Mo ppm	Ag (g/t)
CHS19-040	26.75	42.3	15.55	1.02	0.04	36.96	3.21
	55.8	117	61.2	1.26	0.04	2.43	3.67
	212	230	18	0.78	0.04	16.37	2.2
CHS19-041	0.9	176	175.1	0.54	0.02	453.07	2.03
	196	216	20	0.33	0.02	588	1.51
	238	277.95	39.95	0.24	0.01	97.62	0.41
	299	438.55	139.55	0.24	0.01	198.23	0.65
CHS19-042			ī	NSI	•	•	1
CHS19-043	0	198.5	198.5	0.42	0.01	326.16	1.25
	275.2	426	150.8	0.28	0.01	195.57	0.79
	448	464	16	0.23	0.01	257.25	0.49
CHS19-045	39	147	108	1	0.03	4.09	3.35
	162	173	11	0.21	0.01	39.75	0.53
	184.5	192	7.5	0.38	0.01	1.24	1.35
CHS19-046	22	43	21	0.55	0.04	4.03	2.15
	60	74	14	0.59	0.02	3.26	1.74
	84	93	9	0.56	0.02	173.36	2.05
CHS19-048	12	36	24	0.37	0.02	8.83	1.76
	41.2	72	30.8	0.4	0.03	7.05	1.84
CHS19-049	82	100.4	18.4	1.02	0.04	3	3.8
	301	314	13	0.32	0.00	13	1.0
	320	331	11	0.30	0.00	44	1.2
CHS19-050	4	120	116	0.67	0.02	309	1.7
	124	138	14	0.24	0.01	465	0.9
	140	162	22	0.23	0.01	135	0.9
	172	198	26	0.28	0.01	287	1.3
	206	222	16	0.23	0.01	282	0.7
	230	266	36	0.27	0.01	230	0.7
	308	324	16	0.23	0.01	176	0.7
	350	374	24	0.25	0.01	220	0.8
CHS19-051	7.8	17.3	9.5	0.20	0.00	6	0.4
	18.6	48.05	29.45	0.54	0.05	16	2.8
	74.2	87	12.8	0.27	0.03	4	1.3
	244	256	12	0.24	0.01	1542	1.3
	279	294	15	0.36	0.01	361	1.3
	310	377.55	67.55	0.30	0.00	432	0.7
	379	400	21	0.22	0.00	311	0.7
	435.1	448.85		0.26	0.00	210	0.9
CUC10 0F2	1	55.35	13.75		0.01		
CHS19-052	29	_	26.35	0.86		74	2.7
	62.5	94.05	31.55	1.44	0.05	2	5.2
	97.4	149	51.6	1.27	0.06	1	4.9
CLICAD CTO	155	165.1	10.1	0.56	0.01	4	1.5
CHS19-053	117.8	127	9.2	0.33	-0.01	3	1.0
	160.55	174	13.45	0.23	0.00	47	0.7
	188	208	20	0.73	0.02	28	2.4
	226	238.2	12.2	1.50	0.04	9	5.5
	270.7	297.3	26.6	0.70	0.02	15	2.5
	446	460	14	0.21	0.01	242	0.7
	472	498	26	0.29	0.01	326	0.5
	508	530	22	0.22	0.01	216	0.6
	548	558	10	0.28	0.01	247	0.8
CHS19-054	41	50	9	0.22	0.00	4	0.9
	142	154	12	2.22	0.06	8	6.3
	217	225	8	0.38	0.02	21	1.0
	246.75	283	36.25	0.38	0.01	66	1.3
CHS19-055	0	21	21	0.31	0.01	69	1.4
	29	69.9	40.9	0.57	0.02	149	2.0
	208.3	227	18.7	0.25	0.01	226	1.3
	229	255	26	0.24	0.01	352	0.6
	LLJ	200		U.L-T	0.01	JJL	0.0

ID Trou	De (m)	A (m)	Longueur (m)	Cu (%)	Au (q/t)	Mo ppm	Ag (g/t)
CHS19-056	De (III)	A (III)	Lorigueur (III)	NSI	Ad (g/t)	IVIO PPIII	Ag (g/ t)
	10	20	20	•	0.01		0.0
CHS19-057	18	38	20	0.25	0.01	6	0.8
	99.8	134.5	34.7	0.49	0.02	2	2.1
	198	207	9	0.29	0.01	2	0.8
CUC10 OF	216.8	230	13.2	0.42	0.04	1	1.3
CHS19-058	22	62.4	40.4	1.53	0.05	44	4.8
	65.5	131.1	65.6	3.19	0.10	4	10.7
	352	391.5	39.5	0.99	0.03	6	3.3
CUC40 050	494	504	10	0.22	0.01	164	0.6
CHS19-059				NSI		_	
CHS19-060	19	42.7	23.7	1.12	0.05	3	4.4
	45.8	61.8	16	0.33	0.02	153	1.6
	282	294.85	12.859	0.34	0.01	201	0.9
CHS19-061	0	132	132	0.44	0.01	378	1.3
	136	166	30	0.23	0.01	149	0.6
	172	186	14	0.25	0.01	257	0.7
	196	216	20	0.30	0.01	741	1.5
	234	250	16	0.24	0.01	314	0.7
	295	303.1	8.1	0.27	0.01	304	0.7
C11010	358	380	22	0.22	0.01	285	0.6
CHS19-062	59	82	23	0.29	0.02	6	1.0
	86	98.85	12.85	0.28	0.00	1	0.9
	104	180.7	76.7	1.23	0.04	3	4.5
	283	297	14	0.39	0.01	12	1.4
	301	317	16	0.23	0.01	114	0.7
CUC10 063	412.35	424	11.65	0.26	0.00	164	0.9
CHS19-063	15	41	26	0.81	0.04	10	4.0
	44	61	17	0.35	0.02	25	1.5
	147	157	10	0.20	0.01	66	2.1
	164	182	18	0.24	0.00	199	0.7
	185	212.5	27.5	0.25	0.00	161	1.7
	232	265 309	33 42	0.64 0.43	0.01	78 87	1.7
	377	396	19	0.42	0.01	95	0.9
CUC10 0C4	311	390	19		0.01	33	0.9
CHS19-064	1			NSI			1
CHS19-065	32.2	62.55	30.35	2.00	0.07	26	4.8
	134.4	143.85	9.45	0.44	0.01	470	2.2
	146.05	194.8	48.75	0.98	0.04	11	4.3
	276	284	8	0.23	0.00	131	1.0
	289.95	322	32.05	0.29	0.01	242	1.2
CUC10 000	326	337.3	11.3	0.25	0.01	249	1.0
CHS19-066	0	14.75	14.75	0.26	0.00	24	0.7
	55.1	126	10.9	0.30	0.01	245	0.7
	116	126	10	0.22	0.00	126	0.4
	132	158	26 29	0.26	0.00	331	0.9
	162	191	16	0.26	0.01	222	0.9
	232	248		0.23	0.00	283	0.7
CLICAD CCC	260	271.4	11.4	0.21	0.00	148	0.6
CHS19-068	1			NSI			
CHS19-069	131	143	12	0.70	0.02	9	2.5
	397	411.3	14.3	0.21	0.01	228	0.6
CHS19-070	0	10.2	10.2	0.25	0.01	21	0.8
	28.65	45	16.35	0.30	0.01	11	0.9
	73	117	44	0.35	0.01	199	1.0
	121	147	26	0.25	0.01	96	0.7
	275	287	12	0.26	0.02	135	1.4
	335	343	8	0.38	0.03	118	4.4
	386.1	401.4	15.3	0.23	0.01	53	1.3

ID Trou	De (m)	A (m)	Longueur (m)	Cu (%)	Au (g/t)	Mo ppm	Ag (g/t)
CHS19-071	142.1	161	18.9	0.50	0.02	4	1.8
	178.3	238.1	59.8	1.56	0.06	79	6.1
	239.8	279	39.2	0.53	0.03	80	2.4
CHS19-072				NSI			
CHS19-077	18.85	37	18.15	0.40	0.02	13	1.2
C11313-011	39	48.2	9.2	0.45	0.02	34	1.7
	349.9	365	15.1	2.89	0.02	46	8.1
CUS10 070	343.3	303	13.1		0.10	40	0.1
CHS19-079	452.2	160	0.0	NSI	0.00		2.0
CHS19-081	153.2	162	8.8	0.73	0.03	4	2.8
	171	208.2	37.2	1.34	0.05	2	4.9
	228	273	45	1.28	0.05	8	5.4
	279 320	295.7 332	16.7 12	2.09	0.07	2	8.8 3.3
CUC10 004		59		0.27		i	1.2
CHS19-084	48 65.1	75	9.9		0.01	403	1.6
	85.6	94	8.4	0.41	0.02	24 8	1.0
	107.4	139.8	32.4	0.39	0.00	4	1.4
	155.8	179	23.2	1.47	0.01	1	6.1
	212	221	9	0.88	0.04	7	4.0
	235	257	22	0.77	0.04	4	3.4
	319	329	10	0.27	0.03	203	1.4
	353	369	16	0.21	0.01	244	0.6
CUC10 00F	333	303	10	NSI	0.01	244	0.0
CHS19-085	CO F	151	02.5	•	0.07	10	6.0
CHS19-089	68.5	151	82.5	1.68	0.07	16	6.0
	157	174.9	17.9	1.35	0.08	25 5	5.3
	177.85	227	49.15	4.84	0.20		18.2
	278	294.2	16.2 17	0.32	0.01	139	1.1
CUS10 004	316	333		0.24	0.01	303 7	1.0
CHS19-094	44	64.5	20.5	0.76	0.05		3.5 2.5
	69 110.15	106.8 126.7	37.8 16.55	0.42	0.02	129 41	0.9
	169.45	189	19.55	0.33	0.01	199	0.9
	197	220.7	23.7	0.29	0.01	334	1.0
CHS19-095	53	83	30	1.09	0.01	19	3.3
CH313-093	99.1	128	28.9	1.09	0.03	5	3.7
	135.2	150.4	15.2	0.35	0.04	21	1.0
CHS19-099	54.3	66	11.7	0.67	0.02	4	2.5
C11313 033	78.5	114	35.5	1.01	0.02	15	3.4
	122	151.6	29.6	0.52	0.02	72	1.7
	219.75	249	29.25	0.68	0.02	32	2.8
	268.5	286	17.5	0.28	0.01	18	1.2
	288.7	310	21.3	0.28	0.02	465	1.2
	330	355.4	25.4	0.31	0.01	638	1.3
CHS19-100	37.9	50	12.1	0.88	0.03	5	3.3
	56	126.6	70.6	2.50	0.08	2	9.3
	132	140.45	8.45	0.49	0.01	3	1.3
	189	199	10	0.20	0.00	30	0.4
CHS19-105	34	57	23	0.32	0.03	15	3.5
	61	88	27	0.99	0.04	4	4.1
	92	115	23	0.33	0.01	17	1.7
	120.3	150.5	30.2	0.52	0.02	341	3.6
	226	247	21	0.74	0.04	423	4.5
	255	273	18	0.27	0.01	306	1.6
CHEX20-001	37	63	26	2.22	0.07	52	5.4
	72.6	113	40.4	1.08	0.03	4	4.4
	114.4	158.5	44.1	1.01	0.04	3	4.2
	169.1	180.6	11.5	0.31	0.01	235	1.1
	248	257.8	9.8	0.40	0.01	248	2.2

ID Trou	De (m)	A (m)	Longueur (m)	Cu (%)	Au (q/t)	Mo ppm	Ag (g/t)
	268.6	294	25.4	0.39	0.01	284	1.6
CHEX20-002	20.1	39	18.9	0.30	0.01	11	0.6
	54	73	19	1.10	0.04	30	2.9
	126	162.85	36.85	1.55	0.07	2	6.2
	168	194	26	0.46	0.03	1	1.8
CHEX20-003	113.2	133.35	20.15	0.96	0.04	20	3.3
	172.55	183.1	10.55	0.49	0.02	122	1.5
	197	282.2	85.2	0.55	0.02	251	1.8
CHEX20-004	16	26	10	0.27	0.01	2	0.7
	37	48.4	11.4	0.63	0.03	17	2.3
CHEX20-005	44	64	20	0.97	0.03	29	3.3
	68	87	19	0.89	0.03	4	3.3
	155.4	172.7	17.3	1.77	0.03	3	6.5
	186.5	204.9	18.4	0.74	0.02	6	2.9
CHEX20-006				Analyse en attente			
CHEX20-007	104.4	120.8	16.4	0.75	0.02	769	2.0
	164	178.75	14.75	0.41	0.01	748	2.9
	189	211.4	22.4	0.42	0.03	561	1.0
	220	231	11	0.21	0.01	34	0.6
	268.2	282	13.8	1.06	0.06	7	4.7
	291.8	314	22.2	0.73	0.04	3	2.9
	346	358	12	2.65	0.08	15	7.3
CHEX20-008	34.8	68	33.2	0.62	0.02	5	2.7
	78	97	19	2.07	0.10	61	7.4
	119	135.05	16.05	0.44	0.02	28	1.6
	221.4	278	56.6	1.47	0.07	314	5.2
	280	313.55	33.55	0.47	0.03	452	2.8
CHEX20-012	33	66	33	0.75	0.04	17	2.4
	87	119	32	0.57	0.02	4	2.3
	158	173	15	0.40	0.02	4	1.4
CHEX20-013				Analyse en attente			
CHEX20-014				Analyse en attente			
CHEX20-015				Analyse en attente			
CHEX20-016				Analyse en attente			
CHEX20-017				Analyse en attente			
CHEX20-018				Analyse en attente			
CHEX20-020				Analyse en attente			
CHEX20-021				Analyse en attente			

JORC 2012 TABLEAU 1 - ACTIVITÉS D'EXPLORATION DE SOKOROSHE II

Les informations suivantes présentées dans le tableau 1 sont conformes aux exigences du Code JORC 2012 spécifiées par le "Tableau 1, section 1-3" du Code.

Tableau 1 Code JORC 2012 Tableau 1 Critères d'évaluation et de déclaration pour les Activités d'Exploration de Sokoroshe II

Critères	Commentaire
Section 1 Techniques	et données d'échantillonnage
Techniques d'échantillonnage	Une combinaison de forage à circulation inverse (RC) et de forage au diamant (DD) a été réalisée dans la zone du projet.
	Les zones minéralisées dans la carotte de forage ont été identifiées sur la base de paramètres combinés, y compris la diagraphie lithologique et d'altération, la diagraphie minéralogique et les lectures pXRF ponctuelles systématiques. Les carottes de DD ont été échantillonnées à des intervalles nominaux de 1 m dans les zones minéralisées, tandis que les zones non minéralisées ont été échantillonnées à des intervalles de 2 à 5,3 m. L'échantillonnage a été effectué en coupant longitudinalement les carottes de forage PQ et HQ à l'aide d'une scie à diamant automatique Almonte et en prélevant une demi-carotte, la demi-carotte

Critères	Commentaire
	étant conservée pour référence future. La carotte de forage PQ a été découpée en quartiers et échantillonnée. Les trois quarts de la carotte ont été conservés pour référence future.
	 Des déblais de forage RC ont été collectés dans des échantillons en vrac d'un mètre à partir d'un cyclone monté sur une plate-forme. Des diagraphies lithologiques et minéralogiques, soutenues par des lectures pXRF ponctuelles et systématiques, ont été utilisées pour identifier les zones minéralisées et non minéralisées dans les éclats de forage RC. Les échantillons provenant des zones minéralisées ont été divisés par des riffles tous les 1m pour obtenir un échantillon représentatif (~2,5kg). Les échantillons provenant de zones non minéralisées ont été séparés par des riffles et mis en composite à des intervalles de 2 m. Les échantillons humides ont été séchés au soleil et à l'air ambiant avant d'être divisés et mis en composite.
	 Dans l'ensemble, 81 % des échantillons étaient inférieurs à 2 m, les échantillons minéralisés étant prélevés à des intervalles nominaux de 1 m.
	 Les échantillons ont été broyés, scindés et pulvérisés (>85 % passant à 75 µm) dans un laboratoire ALS dans l'installation de carottage de MMG à Lubumbashi. 100 grammes de pulpe ont été envoyés aux laboratoires ALS accrédités par la SANAS à Johannesburg.
	 Les types d'échantillons, leur nature, leur qualité et les techniques de préparation des échantillons sont jugés appropriés par la personne compétente en fonction de la nature de la minéralisation au sein du projet (minéralisation de métaux de base dans les sédiments).
Techniques de forage	 Forage au diamant: Tailles PQ et HQ, avec triple tube pour maximiser la récupération. À la fin de chaque forage, la carotte a été marquée d'une marque d'orientation à l'aide d'un outil REFLEX ACE. Une ligne d'orientation était ensuite tracée le long de l'axe de la carotte si deux marques d'orientation consécutives pouvaient être alignées en amarrant les pièces de la carotte.
	 Forage à circulation inversée: Un foret à percussion a été utilisé pour forer un trou de 133 mm de diamètre. Le cyclone a été nettoyé manuellement au début de chaque équipe, après tout échantillon humide et après chaque trou. L'air comprimé de la machine de forage a été utilisé pour nettoyer/souffler les matériaux des tiges, des tuyaux et du cyclone RC, après chaque tige.
Récupération	• Le taux de récupération global des carottes de DD s'est élevé en moyenne à 85 % dans la zone du projet.
d'échantillons de forage	 Les longueurs de forage réelles par rapport aux longueurs récupérées ont été mesurées par le foreur et un technicien de forage sur place à l'aide d'un mètre ruban. La précision des mesures n'était pas de plus de 1 cm. Les récupérations de carottes ont été calculées lors de l'exportation de la base de données.
	 La récupération des échantillons lors du forage au diamant a été maximisée en utilisant les méthodes suivantes:
	 Courses de forage courtes (~50cm)
	 Utilisation d'additifs de forage, de boues et de produits chimiques pour améliorer les conditions des sols accidentés.
	 Utiliser la méthode du triple tube dans le tube de carottage.
	o Réduire la pression de l'eau pour éviter le lessivage des matériaux friables
	• Les cadences de forage varient en fonction des conditions du sol réelles et prévues
	 Les pertes de carottes ont été enregistrées sur la carotte et affectées aux intersections où des pertes visibles se sont produites. Des cavités ont été notées.
	• Le biais dû à la perte de carottes n'a pas été déterminé.
	 La récupération des déblais de RC a été mesurée en pesant chaque sac d'échantillon de 1 m immédiatement après le prélèvement dans le cyclone.
	 Les retours d'échantillons pour les forages RC ont été estimés à 72%.
	 La récupération des échantillons pendant le forage RC a été maximisée en utilisant les méthodes suivantes:
	o Ajuster les pressions d'air à la condition du sol.
	 Utiliser de nouveaux forets a percussion et les remplacer lorsqu'ils présentent des signes d'usure.
Enregistrement des données	 Tous les échantillons de forage (carotte DD, éclats RC) ont été enregistrés géologiquement à l'aide d'une interface GeoBank® Mobile et téléchargés dans une base de données Geobank®.
doffilees	 La diagraphie qualitative comprend la lithologie, le type de minéralisation, le type d'oxydation, le type d'altération, la couleur et les types d'altération. La diagraphie quantitative comprend le pourcentage de minéraux de minéralisation, le pourcentage de minéraux d'altération et, dans le cas des carottes, des données RQD et structurelles ont été enregistrées.
	Tous les échantillons de carottes et de éclats ont été photographiés à l'état humide et sec.
	100% des carottes et des éclats ont été enregistrés avec les informations ci-dessus.
Techniques de sous-	 La carotte DD a été divisée en deux longitudinalement (taille HQ) ou en quartiers (taille PQ) à l'aide d'une scie à diamants automatique Almonte.

Critères	Commentaire
échantillonnage et préparation des échantillons	 Les longueurs d'échantillons ont été coupées aussi près que possible des intervalles nominaux de 1 m tout en respectant les contacts géologiques. Le poids des échantillons était généralement d'environ 2,5 kg. Les échantillons de RC ont été prélevés sur un cyclone tous les mètres par un assistant de foreur qualifié. Si l'échantillon était sec, il passait dans un cribleur et une fraction d'environ 2,5 kg était recueillie dans un
	sac en plastique transparent prénuméroté. Les matières résiduelles étaient échantillonnées et tamisées pour être collectées dans des bacs à éclats pour enregistrement et le reste était renvoyé dans le grand sac en tissu polyvalent (rejet en vrac). Le cribleur a été nettoyé à l'aide d'air comprimé ou d'une brosse propre et tapé à l'aide d'un maillet en caoutchouc. Si l'échantillon était humide, il était séché au soleil et à l'air avant un criblage selon la procédure décrite ci-dessus.
	 Pour la méthode RC, des doubles de terrain ont été insérés à un taux d'environ 5 % pour garantir la précision de l'échantillonnage.
	 Les échantillons provenant de trous de forage individuels ont été envoyés en une seule expédition au laboratoire ALS sur le site, à l'installation de carottage de MMG à Lubumbashi.
	 Les échantillons ont été réceptionnés, enregistrés sur la fiche d'échantillon, pesés et séchés à 120°C pendant 4 à 8 heures (ou plus) selon l'humidité au laboratoire de préparation des échantillons.
	 Les échantillons ont été broyés et homogénéisés dans un broyeur à mâchoires jusqu'à ce qu'ils soient > 70 % en passant par 2 mm. Le concasseur à mâchoires était nettoyé avec un blanc de quartz stérile après chaque échantillon écrasé.
	 La taille de l'échantillon a été réduite à 1000 g dans un cribleur et pulvérisée dans un pulvérisateur LM2 à >85% passant à 75 microns. Des vérifications de broyage QC ont été effectuées en utilisant un tamisage humide à 75 microns sur 1 échantillon sur 10.
	100 grammes de pulpe ont été envoyés aux laboratoires ALS accrédités par la SANAS à Johannesburg.
	Des duplicatas de broyage et de pulpe ont été soumis à des fins de QAQC. Constitution de la consti
	 Des matériaux de référence certifiés (teneur en cuivre élevée, moyenne et faible) ont également été insérés et soumis à l'ALS pour analyse à raison de 3 pour 30 échantillons.
	La taille de l'échantillon est appropriée à la granulométrie et à la distribution des minerais d'intérêt.
Qualité des données d'analyse	Tous les échantillons ont été envoyés au laboratoire ALS Chemex à Johannesburg Les échantilles au la féé au la fée à l'hidratille au agréfée d'all et le page (af ell et le page). A printe page (af ell et le page) A printe page (af ell
et des tests en	 Les échantillons ont été analysés à l'aide d'un procédé d'attaque à 4 acides avec finition ICP MS. Au total, 48 éléments ont été analysés.
laboratoire	 Les dosages du cuivre soluble dans l'acide n'ont été effectués que lorsque le dosage du cuivre total était supérieur à 1 000 ppm.
	 Environ 15 % d'échantillons QAQC ont été incorporés, y compris des blancs, des doubles (terrain, broyage et pulpe) et du matériel de référence certifié par lot d'analyse d'échantillon.
	Les données QAQC ont été examinées sans biais significatif ni problème de précision.
	 Aucun outil géophysique, spectromètre ou instrument XRF portable n'a été utilisé à des fins d'estimation.
Vérification des	Les intersections importantes ont été examinées par des employés compétents de MMG.
échantillons et des	Aucun forage jumelé n'a été réalisé.
analyses	 Les données sont stockées dans une base de données SQL avec une interface Geobank®.
	Aucun ajustement des données d'analyse n'a été effectué.
Localisation des points de données	 Les positions prévues de collier pour le forage au diamant et le forage RC ont été localisées à l'aide d'appareils GPS portatifs avec une précision de ±5m.
	 Après le forage, les positions réelles de collier ont été relevées à l'aide du DGPS (Geomax Zenith 25 Pro et Topcon Hiper II) et sont considérées comme étant de haute précision.
	Le système de quadrillage est en WGS84/UTM35S
	Le contrôle topographique a été effectué par un relevé aérien détaillé par drone. The part of the part o
	 Le TN14 GYROCOMPASS™ a été utilisé pour aligner l'appareil de forage sur les angles d'azimut et de pendage corrects.
	 Les levés de fond de trou ont été effectués à l'aide de l'instrument de levé REFLEX EZ-TRAC. Les levés de fond de trou n'ont pas été effectués sur des trous de forage RC. L'azimut et le pendage ont été extrapolés à partir de mesures prises à la surface à l'aide d'une boussole et d'un clinomètre.
	 Le Modèle Numérique de Terrain (DTM) de surface pour le projet a été généré à partir des levés géophysiques aériens XCalibur effectués en 2015. Le groupe de données a été jugé adéquat avec un contrôle topographique d'une précision de ±3m. Le DTM à haute résolution pour la zone de la mine Sokoroshe II a été levé avec la technologie LiDAR en 2017.

Critères	Commentaire
Espacement et répartition des données	 Les données des trous de forage sont espacées pour la zone principale (forage) sur des sections de forage d'environ 40 m (orientées N-S) avec des trous sur la section espacés de 50 à 70 m. Plusieurs sections de forage en dehors de la zone principale sont espacées de 50 à 100m avec un espacement de 50m entre les trous de forage. Trois lignes de section dans la zone Sokoroshe II Sud-Est sont orientées NE-SO. Des composites de 2m, 3m ou 4m ont été prélevés dans des zones sans minéralisation visuelle. Des échantillons nominaux de 1m ont été prélevés dans les zones de minéralisation.
	Aucun autre composite d'échantillon n'a eu lieu.
Orientation des données par rapport à la structure géologique	 Les forages DD et RC ont été principalement réalisés avec des pendages compris entre 50° et 60° pour recouper des minéralisations généralement à fort pendage. Les azimuts de forage étaient aussi proches que possible de l'orthogonalité de la minéralisation. On pense qu'aucun biais d'échantillonnage n'a été introduit du fait de la relation entre l'orientation du forage et les principales structures minéralisées.
Sécurité des échantillons	 Les échantillons ont été transportés depuis le terrain et délivrés à l'installation de traitement des échantillons à Lubumbashi pour être découpés et préparés. Une camionnette à cabine simple a été utilisée pour le transport. De la mousse de polyéthylène, des bâches et des filets de fret ont été utilisés pour sécuriser le chargement et éviter un éventuel déplacement de la carotte pendant le transport. Des échantillons de carottes RC ont été prélevés sur le terrain. Les échantillons de fragments ont été emballés dans un sac en plastique étiqueté avec une étiquette d'identification en plastique marquée. Le sac en plastique a été attaché avec des câbles pour sécuriser l'échantillon et éviter toute contamination. Un ensemble de 15 sacs d'échantillons en plastique a été conditionné dans des sacs en tissu polyvalent étiquetés, prêts à être expédiés du terrain au laboratoire de préparation des échantillons à Lubumbashi. Les documents d'emballage sur le terrain et les fiches d'échantillon ont été préparés et envoyés avec les plateaux de carottes et les sacs en tissu polyvalent au laboratoire de préparation des échantillons à Lubumbashi. Après la préparation des échantillons, des enveloppes à code-barres de 100 à 200 g de pulpe pour chaque échantillon ont été insérées dans des boîtes de ~35 enveloppes chacune, étiquetées avec l'ID d'expédition et la destination du laboratoire pour être envoyées par courrier DHL à ALS Chemex à Johannesburg. Deux séries de doubles de pulpes de 100-200 g ont été insérées dans des boîtes de ~35 enveloppes chacune, étiquetées et stockées sur site dans des conteneurs de stockage. L'envoi des pulpes de Lubumbashi aux laboratoires d'ALS a été effectué par les services de courrier DHL avec un numéro de bordereau de transport pour le suivi. Le laboratoire de préparation des échantillons de Lubumbashi utilise le système ALS-Chemex LIM install sur le site de la mine de Kinsevere, générant un ordre de travail unique pou
Audit et examens	Aucun audit ou examen externe des techniques d'échantillonnage et des données n'a été effectué.
Section 2 Communic	ation des Résultats de l'Exploration
Concession minière et statut du régime foncier	 Le projet Sokoroshe II consiste en une concession minière ou Permis d'Exploitation, PE538, d'une superficie de 6 blocs cadastraux (environ 5,1 Km2). Les droits minière du PE 538 sont détenus par La Générale des Carrierés et des Mines (Gécamines), la société minière étatique de la RDC. Les droits de la Gécamines sont accordés selon les termes de l'accord-cadre sur les échanges de Mutoshi. Le 17 mars 2017, MMG a déclaré une Ressource Minérale Inférée afin de conserver la concession et de la faire passer du statut de Période d'Exploration à celui de Période de Développement en vertu de la clause 6.2. de l'accord. Selon l'accord, la "période de développement" commencera à la date à laquelle le premier programme de travail de développement a été convenu entre la Gécamines et MMG Kinsevere (la date de début de la période de développement). La Période de Développement aura une durée de 5 années civiles (1825 jours) à partir de la date de début en question. MMG Kinsevere doit impérativemen déterminer des réserves prouvées de minerai pour parvenir à une exploitation économique viable des gisements contenus dans les permis retenus, à savoir PE538 Sokoroshe 2. MMG Kinsevere a soumis son premier programme de travaux de développement à la Gécamines pour approbation le 4 juillet 2017. Conformément à la clause 6.2.4(i), la Gécamines a disposé d'un délai de 30 jours pour exprimer ses avis ou son désaccord sur le premier programme de développement, qui sera ensuite considéré comme

accepté en l'absence d'avis ou de désaccord de la Gécamines dans ce délai. MMG Kinsevere n'a reçu aucun avis ou désaccord de la part de la Gécamines dans le délai de 30 jours (ou tout autre délai suivant). En conséquence, le premier programme de travail de développement a été considéré comme accepté par la Gécamines à partir du 4 août 2017 et la date de début de la Période de Développement

était également le 4 août 2017.

Critères	Comment	taire											
Exploration effectuée par d'autres parties	1976 • Ruas	5 par la Gécam shi Holdings/M	ines. Aucı letorex a	une donné effectué d	e dispo	onible	pour	ce trav	ail.		ont été réalisés en koroshe II. Aucune		
6(1)		née disponible				<i>(</i>)							
Géologie		ment de cuivre protérozoïque								lu supergrou	pe		
	néoprotérozoïque du Katanga, dans le groupe stratigraphique de Roan. • La minéralisation du cuivre se présente principalement sous forme de filons et de disséminations dans												
	une dolomie carbonée, massive ou stratifiée.												
	• La minéralogie primaire du cuivre comprend la chalcopyrite, la bornite et la chalcocite en quantité décroissante. La minéralogie des oxydes de cuivre comprend principalement de la malachite avec des traces de chrysocolle.												
Informations sur les trous de forage		 Consultez le rapport technique de Sokoroshe II pour obtenir une liste exhaustive de toutes les informations sur les trous de forage du projet Sokoroshe II. 											
Méthodes d'agrégation des données	infér équi	 Des intersections importantes de cuivre ont été signalées à une teneur de 0,5 % de Cu total à la limite inférieure, sur une largeur minimale de 3 m, avec une dilution interne pouvant atteindre 3 m. Les équivalents en cuivre n'ont pas été utilisés dans la communication des résultats de l'exploration. Des intersections importantes de cobalt ont été signalées à un seuil inférieur de 0,2 % de cuivre total, 											
											,		
Relation entre la largeur de minéralisation et les longueurs d'interception		 avec une largeur minimale de 3 m et une dilution interne maximale de 3 m. Tous les résultats sont présentés sous forme d'estimation de la largeur réelle des zones minéralisées modélisées. 											
Diagrammes	• Se ré	éférer aux carte	es et aux (coupes tra	nsvers	ales da	ıns le	texte c	le ce rapp	oort.			
Rapports équilibrés											cuivre obtenues		
Rapports équilibrés	lors du te infér maxi	de la campagn emps et de l'ép ieur de 0,5 % d	e de fora paisseur. T de Cu tota dmise. L'e	ge Sokoro outes les al pour un emplacem	ishe II (interce e large ent des	SOK2) ptions ur de f trous	2019, signif orage est in	sur la ficative minin diqué	base de l es sont rap nale de 3 sur les ca	la mesure de pportées sur m, avec une artes de la se	la teneur en cuivre, la base d'un seuil dilution interne ction précédente.		
Rapports équilibrés	lors du te infér maxi	de la campagn emps et de l'ép rieur de 0,5 % d imale de 3 m a = Pas d'Analy	e de fora paisseur. T de Cu tota dmise. L'e	ge Sokoro outes les al pour un emplacem	ishe II (interce e large ent des	SOK2) ptions ur de f s trous iu ou <	2019, signif orage est in	sur la ficative minin idiqué e long	base de les sont rap nale de 3 sur les ca ueur d'int	la mesure de pportées sur m, avec une artes de la se	la teneur en cuivre la base d'un seuil dilution interne ction précédente.		
Rapports équilibrés	lors of du to infér maxi NSA Prospect SOK2	de la campagn emps et de l'ép ieur de 0,5 % d imale de 3 m a = Pas d'Analy Hole_ID SOK2DD012	de de fora paisseur. I de Cu tota dmise. L'e ses Signif E 536916	ge Sokord outes les al pour un emplacem icatives (< N 8746217	interce e large ent des 0,5% C RL 1366	SOK2) ptions ur de f s trous iu ou < EOH 124.0	2019, signiforage est in 3m d Type DD	sur la ficative minin idiqué e long Dip -63.0	base de les sont raphale de 3 sur les caueur d'internationale de 3 sur les caueur d'internationale de 356.3	la mesure de pportées sur m, avec une artes de la se tervalle foré). Depth_From 31.5	la teneur en cuivre la base d'un seuil dilution interne ction précédente. Cu_Intercept_TT 4.8m @ 0.72 % Cu		
Rapports équilibrés	lors of du to infér maxi NSA	de la campagn emps et de l'ép ieur de 0,5 % d imale de 3 m a = Pas d'Analy Hole_ID	de de fora paisseur. T de Cu tota dmise. L'e ses Signif E 536916	ge Sokoro outes les al pour un emplacem icatives (<	interce e large ent des 0,5% C	SOK2) ptions ur de f s trous iu ou «	2019, signiforage est in 3m d	sur la ficative minin idiqué e long Dip	base de les sont rap nale de 3 sur les ca ueur d'int	la mesure de pportées sur m, avec une artes de la se tervalle foré). Depth_From	la teneur en cuivre la base d'un seuil dilution interne ction précédente.		
Rapports équilibrés	lors of du te infér maxi NSA Prospect SOK2 SOK2 SOK2 SOK2 SOK2	de la campagnemps et de l'éprieur de 0,5 % dimale de 3 m a = Pas d'Analy Hole_ID SOK2DD012 SOK2DD012 SOK2DD012 SOK2DD012 SOK2DD014	de de fora paisseur. The Cu tota de Cu tota dmise. L'esses Signif Es36916 536916 537224	ge Sokoro Toutes les al pour un emplacem icatives (< N 8746217 8746217 8746108	she II (interce e large ent des 0,5% C RL 1366 1366 1366	sok2) ptions ur de f s trous u ou < FOH 124.0 124.0 131.4	2019, signiforage est in 3m d Type DD DD DD	sur la ficative minin diqué e long Dip -63.0 -63.0 -63.0	es sont rap nale de 3 sur les ca ueur d'int Azimuth 356.3 356.3 358.2	la mesure de pportées sur m, avec une urtes de la setervalle foré). Depth_From 31.5 49.0 63.5 76.0	e la teneur en cuivre la base d'un seuil dilution interne ction précédente. Cu Intercept TT 4.8m @ 0.72 % Cu 8.4m @ 0.74 % Cu 25.2m @ 2.50 % Cu 4.4m @ 1.60 % Cu		
Rapports équilibrés	lors of du te infér maxi NSA Prospect SOK2 SOK2 SOK2 SOK2 SOK2 SOK2 SOK2	de la campagnemps et de l'éprieur de 0,5 % dimale de 3 m a = Pas d'Analy Hole_ID SOK2DD012 SOK2DD012 SOK2DD012 SOK2DD014 SOK2DD015	e de fora paisseur. T de Cu tota dmise. L'e ses Signif E 536916 536916 537224 537322	ge Sokoro Toutes les al pour un emplacem icatives (< N 8746217 8746217 8746217 8746108 8746116	she II (interce e large ent des 0,5% C RL 1366 1366 1364 1364	SOK2) ptions ur de f s trous iu ou < FOH 124.0 124.0 131.4 107.3	2019, significorage est in 3m d Type DD DD DD DD DD	sur la ficative minin diqué e long Dip -63.0 -63.0 -63.0 -55.5	base de les sont rapale de 3 sur les caueur d'interesse de les sont rapale de 3 sur les caueur d'interesse de la serie de la s	la mesure de pportées sur m, avec une artes de la setervalle foré). Depth_From 31.5 49.0 63.5 76.0 13.0	e la teneur en cuivre la base d'un seuil dilution interne ction précédente. Cu_Intercept_TT 4.8m @ 0.72 % Cu 8.4m @ 0.74 % Cu 25.2m @ 2.50 % Cu 4.4m @ 1.60 % Cu 3.7m @ 1.36 % Cu		
Rapports équilibrés	lors of du te infér maxi NSA Prospect SOK2 SOK2 SOK2 SOK2 SOK2	de la campagnemps et de l'éprieur de 0,5 % dimale de 3 m a = Pas d'Analy Hole_ID SOK2DD012 SOK2DD012 SOK2DD012 SOK2DD012 SOK2DD014	de de fora paisseur. The Cu tota de Cu tota dmise. L'esses Signif Es36916 536916 537224	ge Sokoro Toutes les al pour un emplacem icatives (< N 8746217 8746217 8746108	she II (interce e large ent des 0,5% C RL 1366 1366 1366	sok2) ptions ur de f s trous u ou < FOH 124.0 124.0 131.4	2019, signiforage est in 3m d Type DD DD DD	sur la ficative minin diqué e long Dip -63.0 -63.0 -63.0	es sont rap nale de 3 sur les ca ueur d'int Azimuth 356.3 356.3 358.2	la mesure de pportées sur m, avec une urtes de la setervalle foré). Depth_From 31.5 49.0 63.5 76.0	e la teneur en cuivre la base d'un seuil dilution interne ction précédente. Cu_Intercept_TT 4.8m @ 0.72 % Cu 8.4m @ 0.74 % Cu 25.2m @ 2.50 % Cu 4.4m @ 1.60 % Cu 3.7m @ 1.36 % Cu 31.5m @ 1.87 % Cu		
Rapports équilibrés	lors of du te infér maxi NSA Prospect SOK2 SOK2 SOK2 SOK2 SOK2 SOK2 SOK2 SOK2	de la campagnemps et de l'éprieur de 0,5 % dimale de 3 m a = Pas d'Analy Hole_ID SOK2DD012 SOK2DD012 SOK2DD014 SOK2DD015 SOK2DD015 SOK2DD015 SOK2DD015 SOK2DD015	e de fora paisseur. 1 de Cu total dmise. L'éses Signifi E 536916 536916 537224 537322 537322 537322	ge Sokord Toutes les al pour un- emplacem icatives (N 8746217 8746217 8746217 8746108 8746116 8746116 8746116 8746116	she II (interce e large ent des 0,5% C RL 1366 1366 1364 1364 1364 1364 1364 1364	SOK2) ptions ur de f s trous u ou < EOH 124.0 124.0 131.4 107.3 107.3 107.3	2019, signiforage est in 3m d Type DD	sur la ficative minin diqué e long Dip -63.0 -63.0 -65.5 -55.0 -55.0 -55.0 -55.0 -55.0	base de les sont rainale de 3 sur les caueur d'interes ca	a mesure de pportées sur m, avec une artes de la se tervalle foré). Depth From 31.5 49.0 63.5 76.0 13.0 30.0 72.0 85.0	la teneur en cuivre la base d'un seuil dilution interne ction précédente. Cu_Intercept_TT 4.8m @ 0.72 % Cu 8.4m @ 0.74 % Cu 25.2m @ 2.50 % Ci 4.4m @ 1.60 % Cu 3.7m @ 1.36 % Cu 3.7m @ 1.36 % Cu 3.7m @ 0.54 % Cu 3.0m @ 0.62 % Cu		
Rapports équilibrés	lors of du te infér maxi NSA Prospect SOK2 SOK2 SOK2 SOK2 SOK2 SOK2 SOK2 SOK2	de la campagnemps et de l'éprieur de 0,5 % dimale de 3 m a = Pas d'Analy Hole_ID SOK2DD012 SOK2DD012 SOK2DD014 SOK2DD015 SOK2DD015 SOK2DD015 SOK2DD015 SOK2DD015 SOK2DD015 SOK2DD016	e de fora paisseur. 1 de Cu total dmise. L'éses Signifi 536916 536916 537224 537322 537322 537322 537322	ge Sokord Toutes les al pour un- emplacem icatives (N 8746217 8746217 8746217 8746108 8746116 8746116 8746116 8746116 8746074	she II (interce e large ent des 0,5% C RL 1366 1366 1364 1364 1364 1364 1364 1364	SOK2) ptions ur de f s trous u ou < EOH 124.0 124.0 124.0 131.4 107.3 107.3 107.3 107.3	2019, signiforage est in 3m d Type DD	sur la ficative mininadiqué e long Pip -63.0 -63.0 -65.5 -55.0 -55.0 -55.0 -55.0 -54.9	base de les sont rainale de 3 sur les caueur d'interes ca	a mesure de pportées sur m, avec une artes de la se tervalle foré). Depth From 31.5 49.0 63.5 76.0 13.0 30.0 72.0 85.0 68.0	la teneur en cuivre la base d'un seuil dilution interne ction précédente. Cu_Intercept_IT 4.8m @ 0.72 % Cu 8.4m @ 0.74 % Cu 25.2m @ 2.50 % Cu 4.4m @ 1.60 % Cu 3.7m @ 1.36 % Cu 3.7m @ 1.36 % Cu 3.7m @ 0.54 % Cu 3.0m @ 0.62 % Cu 25.3m @ 1.98 % Cu		
Rapports équilibrés	lors of du te infér maxi NSA Prospect SOK2 SOK2 SOK2 SOK2 SOK2 SOK2 SOK2 SOK2	de la campagnemps et de l'éprieur de 0,5 % dimale de 3 m a = Pas d'Analy Hole_ID SOK2DD012 SOK2DD012 SOK2DD014 SOK2DD015 SOK2DD015 SOK2DD015 SOK2DD015 SOK2DD015	e de fora paisseur. 1 de Cu total dmise. L'éses Signifi E 536916 536916 537224 537322 537322 537322	ge Sokord Toutes les al pour un- emplacem icatives (N 8746217 8746217 8746217 8746108 8746116 8746116 8746116 8746116	she II (interce e large ent des 0,5% C RL 1366 1366 1364 1364 1364 1364 1364 1364	SOK2) ptions ur de f s trous u ou < EOH 124.0 124.0 131.4 107.3 107.3 107.3	2019, signiforage est in 3m d Type DD	sur la ficative minin diqué e long Dip -63.0 -63.0 -65.5 -55.0 -55.0 -55.0 -55.0 -55.0	base de les sont rainale de 3 sur les caueur d'interes ca	a mesure de pportées sur m, avec une artes de la se tervalle foré). Depth From 31.5 49.0 63.5 76.0 13.0 30.0 72.0 85.0	la teneur en cuivre la base d'un seuil dilution interne ction précédente. Cu_Intercept_IT 4.8m @ 0.72 % Cu 8.4m @ 0.74 % Cu 25.2m @ 2.50 % Cu 4.4m @ 1.60 % Cu 3.7m @ 1.36 % Cu 3.7m @ 1.36 % Cu 3.7m @ 0.54 % Cu 3.0m @ 0.62 % Cu 25.3m @ 1.98 % Cu 11.9m @ 1.06 % Cu		
Rapports équilibrés	lors of du te infér maxi NSA Prospect SOK2 SOK2 SOK2 SOK2 SOK2 SOK2 SOK2 SOK2	de la campagnemps et de l'éprieur de 0,5 % dimale de 3 m a = Pas d'Analy Hole_ID SOK2DD012 SOK2DD012 SOK2DD014 SOK2DD015 SOK2DD015 SOK2DD015 SOK2DD015 SOK2DD016 SOK2DD016 SOK2DD017 SOK2DD017	e de fora paisseur. 1 de Cu total dmise. L'éses Signiff 536916 536916 537224 537322 537322 537322 537322 537322 537322 537322 537324 537225	ge Sokord Toutes les al pour un- emplacem icatives (N 8746217 8746217 8746217 8746108 8746116 8746116 8746116 8746116 8746074 8746074 8746181	she II (interce e large ent des 0,5% C RL 1366 1366 1364 1364 1364 1364 1360 1360 1375 1375	EOK2) ptions ur de f s trous u	2019, signition significant to the control of the c	sur la ficative minin diqué e long Dip -63.0 -63.0 -63.0 -55.5 -55.0 -55.0 -55.0 -54.9 -49.8 -49.8	base de les sont rainale de 3 sur les caueur d'interes ca	a mesure de portées sur m, avec une rtes de la se tervalle foré). Depth From 31.5 49.0 63.5 76.0 13.0 30.0 72.0 85.0 68.0 109.0 75.0 89.3	la teneur en cuivre la base d'un seuil dilution interne ction précédente. Cu_Intercept_IT 4.8m @ 0.72 % Cu 8.4m @ 0.74 % Cu 25.2m @ 2.50 % Cu 4.4m @ 1.60 % Cu 3.7m @ 1.36 % Cu 3.7m @ 0.54 % Cu 3.7m @ 0.54 % Cu 25.3m @ 1.98 % Cu 11.9m @ 1.06 % Cu 9.2m @ 0.57 % Cu 3.4m @ 4.09 % Cu		
Rapports équilibrés	lors of du te infér maxi NSA Prospect SOK2 SOK2 SOK2 SOK2 SOK2 SOK2 SOK2 SOK2	de la campagnemps et de l'éprieur de 0,5 % dimale de 3 m a = Pas d'Analy Hole_ID SOK2DD012 SOK2DD012 SOK2DD014 SOK2DD015 SOK2DD015 SOK2DD015 SOK2DD016 SOK2DD016 SOK2DD017 SOK2DD017 SOK2DD017	e de fora paisseur. 1 de Cu tota dmise. L'e ses Signiff 536916 536916 537224 537322 537322 537322 537324 537225 537225 537225	ge Sokord Toutes les al pour un- emplacem icatives (N 8746217 8746217 8746217 8746217 8746108 8746116 8746116 8746116 8746116 8746074 8746074 8746181 8746180	she II (interce e large ent des 0,5% C RL 1366 1366 1364 1364 1364 1360 1360 1375 1368	SOK2) ptions ur de f f for s trous s trous s trous s trous 124.0 124.0 124.0 131.4 107.3 107.3 130.7 126.8 126.8 130.3	2019, signition	sur la ficative minin diqué e long Dip -63.0 -63.0 -55.5 -55.0 -55.0 -55.0 -54.9 -49.8	base de les sont rainale de 3 sur les caueur d'interes ca	a mesure de poortées sur m, avec une rtes de la se tervalle foré). Depth From 31.5 49.0 63.5 76.0 13.0 30.0 72.0 85.0 68.0 109.0 75.0 89.3	la teneur en cuivre la base d'un seuil dilution interne ction précédente. Cu_Intercept_IT 4.8m @ 0.72 % Cu 8.4m @ 0.74 % Cu 25.2m @ 2.50 % Cu 4.4m @ 1.60 % Cu 3.7m @ 1.36 % Cu 3.7m @ 0.54 % Cu 3.7m @ 0.54 % Cu 25.3m @ 1.98 % Cu 11.9m @ 1.06 % Cu 9.2m @ 0.57 % Cu 3.4m @ 4.09 % Cu 3.7m @ 0.94 % Cu		
Rapports équilibrés	lors of du te infér maxi NSA Prospect SOK2 SOK2 SOK2 SOK2 SOK2 SOK2 SOK2 SOK2	de la campagnemps et de l'éprieur de 0,5 % dimale de 3 m a = Pas d'Analy Hole_ID SOK2DD012 SOK2DD012 SOK2DD014 SOK2DD015 SOK2DD015 SOK2DD015 SOK2DD015 SOK2DD016 SOK2DD016 SOK2DD017 SOK2DD017	e de fora paisseur. 1 de Cu total dmise. L'éses Signiff 536916 536916 537224 537322 537322 537322 537322 537322 537322 537322 537324 537225	ge Sokord Toutes les al pour un- emplacem icatives (N 8746217 8746217 8746217 8746108 8746116 8746116 8746116 8746116 8746074 8746074 8746181	she II (interce e large ent des 0,5% C RL 1366 1366 1364 1364 1364 1364 1360 1360 1375 1375	EOK2) ptions ur de f s trous u	2019, signition significant to the control of the c	sur la ficative minindiqué e long -63.0 -63.0 -63.0 -55.5 -55.0 -55.0 -54.9 -49.8 -49.8 -50.1	base de les sont rainale de 3 sur les caueur d'interes ca	a mesure de portées sur m, avec une rtes de la se tervalle foré). Depth From 31.5 49.0 63.5 76.0 13.0 30.0 72.0 85.0 68.0 109.0 75.0 89.3	la teneur en cuivre la base d'un seuil dilution interne ction précédente. Cu_Intercept_IT 4.8m @ 0.72 % Cu 8.4m @ 0.74 % Cu 25.2m @ 2.50 % Cu 4.4m @ 1.60 % Cu 3.7m @ 1.36 % Cu 3.7m @ 0.54 % Cu 3.7m @ 0.54 % Cu 25.3m @ 1.98 % Cu 11.9m @ 1.06 % Cu 9.2m @ 0.57 % Cu 3.4m @ 4.09 % Cu 3.7m @ 0.94 % Cu 3.6m @ 0.144 % Cu		
Rapports équilibrés	lors of du te infér maxi NSA Prospect SOK2 SOK2 SOK2 SOK2 SOK2 SOK2 SOK2 SOK2	de la campagnemps et de l'éprieur de 0,5 % dimale de 3 m a = Pas d'Analy Hole ID SOK2DD012 SOK2DD012 SOK2DD014 SOK2DD015 SOK2DD015 SOK2DD015 SOK2DD016 SOK2DD017 SOK2DD017 SOK2DD017 SOK2DD018 SOK2DD019 SOK2DD020 SOK2DD020	e de fora paisseur. Te de Cu total dmise. L'és ses Signiff 536916 536916 537224 537322 537322 537322 537322 537322 537324 537225 537225 537225 537327 537327 537362 537177	ge Sokord Toutes les al pour un- emplacem icatives (N 8746217 8746217 8746217 8746217 8746108 8746116 8746116 8746116 8746116 8746074 8746074 8746181 8746181 8746160 8746161 8746182 8746182	she II (interce e large ent des 0,5% C RL 1366 1366 1364 1364 1364 1360 1375 1368 1366 1376 1376	SOK2) ptions ur de f f s trous ur de f f s trous s trous s trous de f f s trous de f s tro	2019, significorage est irrigation by the control of the control o	sur la ficative minindiqué e long -63.0 -63.0 -63.0 -55.5 -55.0 -55.0 -54.9 -49.8 -4	base de les sont rainale de 3 sur les caueur d'interes ca	a mesure de poortées sur m, avec une artes de la sertervalle foré). Depth From 31.5 49.0 63.5 76.0 13.0 30.0 72.0 85.0 68.0 109.0 75.0 89.3 85.0 92.0 75.4 83.6	La teneur en cuivre la base d'un seuil dilution interne ction précédente. Cu Intercept TT 4.8m @ 0.72 % Cu 8.4m @ 0.74 % Cu 25.2m @ 2.50 % Cu 4.4m @ 1.60 % Cu 3.7m @ 1.36 % Cu 3.7m @ 0.54 % Cu 3.7m @ 0.62 % Cu 25.3m @ 1.98 % Cu 11.9m @ 1.06 % Cu 9.2m @ 0.57 % Cu 3.4m @ 4.09 % Cu 3.7m @ 0.94 % Cu 3.6m @ 1.14 % Cu 4.6m @ 1.17 % Cu 8.0m @ 1.11 % Cu		
Rapports équilibrés	lors of du te infér maxi NSA Prospect SOK2 SOK2 SOK2 SOK2 SOK2 SOK2 SOK2 SOK2	de la campagnemps et de l'éprieur de 0,5 % dimale de 3 m a = Pas d'Analy Hole ID SOK2DD012 SOK2DD012 SOK2DD014 SOK2DD015 SOK2DD015 SOK2DD015 SOK2DD016 SOK2DD016 SOK2DD017 SOK2DD017 SOK2DD018 SOK2DD019 SOK2DD020 SOK2DD020 SOK2DD020	e de fora paisseur. 1 de Cu total dmise. L'éses Signiff 536916 536916 537224 537322 537322 537322 537322 537322 537322 537324 537225 537225 537225 537327 537327	ge Sokord Toutes les al pour un- emplacem icatives (8746217 8746217 8746217 8746217 8746116 8746116 8746116 8746116 8746074 8746074 8746181 8746181 8746160 8746161 8746182	she II (interce e large ent des 0,5% C RL 1366 1366 1364 1364 1364 1360 1375 1375 1368 1366 1376	SOK2) ptions ur de f f for s trous s trous s trous s trous s trous 124.0 124.0 124.0 131.4 107.3 107.3 130.7 126.8 130.3 130.0 130.0 130.0	2019, significorage est irrivate DD	sur la ficative minindiqué e long l'indiqué e long l'indiqué l'indiqué l'indiqué e long e l'indiqué e long l'indiqué e long e l'indiqué e long e l'indiqué e	base de les sont rainale de 3 sur les caueur d'interes ca	a mesure de poortées sur m, avec une rtes de la sertervalle foré). Depth From 31.5 49.0 63.5 76.0 13.0 30.0 72.0 85.0 68.0 109.0 75.0 89.3 85.0 92.0 75.4	la teneur en cuivre la base d'un seuil dilution interne ction précédente. Cu_Intercept_IT 4.8m @ 0.72 % Cu 8.4m @ 0.74 % Cu 25.2m @ 2.50 % Cu 4.4m @ 1.60 % Cu 3.7m @ 1.36 % Cu 3.7m @ 0.54 % Cu 3.7m @ 0.54 % Cu 25.3m @ 1.98 % Cu 11.9m @ 1.06 % Cu 9.2m @ 0.57 % Cu 3.4m @ 4.09 % Cu 3.7m @ 0.94 % Cu 3.6m @ 1.14 % Cu 4.6m @ 1.17 % Cu 8.0m @ 1.11 % Cu 7.8m @ 1.24 % Cu		
Rapports équilibrés	lors of du te infér maxi NSA Prospect SOK2 SOK2 SOK2 SOK2 SOK2 SOK2 SOK2 SOK2	de la campagnemps et de l'éprieur de 0,5 % dimale de 3 m a = Pas d'Analy Hole ID SOK2DD012 SOK2DD012 SOK2DD014 SOK2DD015 SOK2DD015 SOK2DD015 SOK2DD016 SOK2DD017 SOK2DD017 SOK2DD017 SOK2DD018 SOK2DD019 SOK2DD020 SOK2DD020	e de fora paisseur. Te de Cu total dmise. L'éses Signiff 536916 536916 537224 537322 537322 537322 537324 537225 537324 537225 537327 537327 537327 537327 537327	ge Sokord Toutes les al pour un- emplacem icatives (N 8746217 8746217 8746217 8746217 8746116 8746116 8746116 8746116 8746116 8746074 8746074 8746181 8746181 8746160 8746161 8746182 8746070	she II (interce e large ent des 0,5% C RL 1366 1366 1364 1364 1364 1360 1375 1368 1366 1376 1376 1360 1376 1360	SOK2) ptions ur de f f s trous ur de f f s trous f tro	2019, significorage est irrical model of the control of the contro	sur la ficative minindiqué e long -63.0 -63.0 -63.0 -55.5 -55.0 -55.0 -55.0 -55.0 -54.9 -49.8 -49.8 -49.8 -49.8 -50.1 -54.8 -5	base de les sont rainale de 3 sur les caueur d'interes ca	a mesure de poortées sur m, avec une artes de la sertervalle foré). Depth From 31.5 49.0 63.5 76.0 13.0 30.0 72.0 85.0 68.0 109.0 75.0 89.3 85.0 92.0 75.4 83.6	La teneur en cuivre la base d'un seuil dilution interne ction précédente. Cu Intercept TT 4.8m @ 0.72 % Cu 8.4m @ 0.74 % Cu 25.2m @ 2.50 % Cu 4.4m @ 1.60 % Cu 3.7m @ 1.36 % Cu 3.7m @ 0.54 % Cu 3.7m @ 0.62 % Cu 25.3m @ 1.98 % Cu 11.9m @ 1.06 % Cu 3.4m @ 4.09 % Cu 3.4m @ 4.09 % Cu 3.6m @ 1.14 % Cu 4.6m @ 1.17 % Cu 8.0m @ 1.11 % Cu 7.8m @ 1.24 % Cu 17.9m @ 1.44 % Cu		
Rapports équilibrés	lors of du te infér maxi NSA Prospect SOK2 SOK2 SOK2 SOK2 SOK2 SOK2 SOK2 SOK2	de la campagnemps et de l'éprieur de 0,5 % cimale de 3 m a = Pas d'Analy Hole ID SOK2DD012 SOK2DD012 SOK2DD014 SOK2DD015 SOK2DD015 SOK2DD015 SOK2DD016 SOK2DD017 SOK2DD017 SOK2DD017 SOK2DD018 SOK2DD019 SOK2DD020 SOK2DD020 SOK2DD021 SOK2DD021 SOK2DD022 SOK2DD022 SOK2DD022	e de fora paisseur. Te de Cu total dmise. L'éses Signiff 536916 536916 536916 537224 537322 537322 537322 537324 537225 537324 537225 537327 537362 537177 537177 537272 537373	ge Sokord Toutes les al pour une emplacem icatives (N 8746217 8746217 8746217 8746217 8746217 8746217 8746116 8746116 8746116 8746116 8746116 8746074 8746074 8746181 8746181 8746161 8746161 8746182 8746182 8746069 8746069 8746117	she II (interce e large ent des 0,5% C RL 1366 1366 1364 1364 1364 1364 1366 1375 1375 1368 1366 1376 1360 1360 1360 1360 1360 1360 1363	SOK2) ptions ur de f s trous ur de f s trous s trous s trous 124.0 124.0 124.0 131.4 107.3 107.3 130.7 126.8 130.0 130.0 130.0 132.4 122.0	2019, significorage est irrical policy in the control of the contr	sur la ficative minindiqué e long -63.0 -63.0 -55.5 -55.0 -55.0 -55.0 -55.0 -54.9 -49.8 -49.8 -49.8 -50.1 -54.8 -54.8 -54.8 -54.8 -48.7	base de les sont rainale de 3 sur les caueur d'interes ca	la mesure de poortées sur m, avec une artes de la sertervalle foré). Depth From 31.5 49.0 63.5 76.0 13.0 30.0 72.0 85.0 68.0 109.0 75.0 89.3 85.0 92.0 75.4 83.6 129.9 92.0 122.0 48.0	la teneur en cuivre la base d'un seuil dilution interne ction précédente. Cu_Intercept_IT 4.8m @ 0.72 % Cu 8.4m @ 0.74 % Cu 25.2m @ 2.50 % Cu 4.4m @ 1.60 % Cu 3.7m @ 1.36 % Cu 3.7m @ 0.54 % Cu 3.7m @ 0.54 % Cu 25.3m @ 1.98 % Cu 11.9m @ 1.06 % Cu 25.3m @ 1.98 % Cu 11.9m @ 1.06 % Cu 3.4m @ 4.09 % Cu 3.7m @ 0.94 % Cu 3.6m @ 1.14 % Cu 4.6m @ 1.17 % Cu 8.0m @ 1.11 % Cu 7.8m @ 1.24 % Cu 17.9m @ 1.44 % Cu 7.8m @ 1.72 % Cu 16.2m @ 2.57 % Cu		
Rapports équilibrés	lors of du te infér maxi NSA Prospect SOK2 SOK2 SOK2 SOK2 SOK2 SOK2 SOK2 SOK2	de la campagnemps et de l'épieur de 0,5 % cimale de 3 m a = Pas d'Analy Hole ID SOK2DD012 SOK2DD012 SOK2DD014 SOK2DD015 SOK2DD015 SOK2DD015 SOK2DD016 SOK2DD017 SOK2DD017 SOK2DD017 SOK2DD018 SOK2DD019 SOK2DD020 SOK2DD020 SOK2DD021 SOK2DD021 SOK2DD021 SOK2DD022 SOK2DD022 SOK2DD023 SOK2RC065	e de fora paisseur. Te de Cu tota dmise. L'é ses Signiff 536916 536916 537224 537322 537322 537324 537225 537225 537225 537225 537225 537327 537177 537226 537272 537373 537123	ge Sokord Toutes les al pour une emplacem icatives (N 8746217 8746217 8746217 8746217 8746217 8746116 8746116 8746116 8746116 8746116 8746116 8746074 8746181 8746181 8746181 8746161 8746182 8746182 8746069 8746069 8746117 8746238	she II (interce e large ent des 0,5% C RL 1366 1366 1364 1364 1364 1364 1366 1375 1375 1368 1366 1376 1360 1360 1360 1360 1363 1375	SOK2) ptions ur de f s trous ur de f s trous s trous s trous 124.0 124.0 124.0 131.4 107.3 107.3 130.7 126.8 130.0 130.0 130.0 132.4 122.0 85.0	2019, significorage est irrical model of the control of the contro	sur la ficative minindiqué e long -63.0 -63.0 -55.5 -55.0 -55.0 -55.0 -55.0 -54.9 -49.8 -49.8 -49.8 -50.1 -54.8 -54.8 -55.4 -55.0 -5	base de les sont rainale de 3 sur les caueur d'interes ca	la mesure de poprtées sur m, avec une artes de la sertervalle foré). Depth From 31.5 49.0 63.5 76.0 13.0 30.0 72.0 85.0 68.0 109.0 75.0 89.3 85.0 92.0 75.4 83.6 129.9 92.0 122.0 48.0 46.0	La teneur en cuivre la base d'un seuil dilution interne ction précédente. Cu_Intercept_TT 4.8m @ 0.72 % Cu 8.4m @ 0.74 % Cu 25.2m @ 2.50 % Cu 4.4m @ 1.60 % Cu 3.7m @ 1.36 % Cu 3.7m @ 0.54 % Cu 3.7m @ 0.62 % Cu 25.3m @ 1.98 % Cu 25.3m @ 1.98 % Cu 25.3m @ 1.98 % Cu 25.3m @ 1.14 % Cu 3.6m @ 1.17 % Cu 4.6m @ 1.17 % Cu 4.6m @ 1.17 % Cu 7.8m @ 1.24 % Cu 17.9m @ 1.44 % Cu 17.9m @ 1.44 % Cu 7.8m @ 1.72 % Cu 16.2m @ 2.57 % Cu 7.0m @ 0.85 % Cu		
Rapports équilibrés	lors of du te infér maxi NSA Prospect SOK2 SOK2 SOK2 SOK2 SOK2 SOK2 SOK2 SOK2	de la campagnemps et de l'éprieur de 0,5 % cimale de 3 m a = Pas d'Analy Hole ID SOK2DD012 SOK2DD012 SOK2DD014 SOK2DD015 SOK2DD015 SOK2DD015 SOK2DD016 SOK2DD017 SOK2DD017 SOK2DD017 SOK2DD018 SOK2DD019 SOK2DD020 SOK2DD020 SOK2DD021 SOK2DD021 SOK2DD022 SOK2DD022 SOK2DD022	e de fora paisseur. Te de Cu total dmise. L'éses Signiff 536916 536916 536916 537224 537322 537322 537322 537324 537225 537324 537225 537327 537362 537177 537177 537272 537373	ge Sokord Toutes les al pour une emplacem icatives (N 8746217 8746217 8746217 8746217 8746217 8746217 8746116 8746116 8746116 8746116 8746116 8746074 8746074 8746181 8746181 8746161 8746161 8746182 8746182 8746069 8746069 8746117	she II (interce e large ent des 0,5% C RL 1366 1366 1364 1364 1364 1364 1366 1375 1375 1368 1366 1376 1360 1360 1360 1360 1360 1360 1363	SOK2) ptions ur de f s trous ur de f s trous s trous s trous 124.0 124.0 124.0 131.4 107.3 107.3 130.7 126.8 130.0 130.0 130.0 132.4 122.0	2019, significorage est irrical policy in the control of the contr	sur la ficative minindiqué e long -63.0 -63.0 -55.5 -55.0 -55.0 -55.0 -55.0 -54.9 -49.8 -49.8 -49.8 -50.1 -54.8 -54.8 -54.8 -54.8 -48.7	base de les sont rainale de 3 sur les caueur d'interes ca	la mesure de poortées sur m, avec une artes de la sertervalle foré). Depth From 31.5 49.0 63.5 76.0 13.0 30.0 72.0 85.0 68.0 109.0 75.0 89.3 85.0 92.0 75.4 83.6 129.9 92.0 122.0 48.0	e la teneur en cuivre la base d'un seuil dilution interne ction précédente. Cu_Intercept_IT 4.8m @ 0.72 % Cu 8.4m @ 0.74 % Cu 25.2m @ 2.50 % Cu 4.4m @ 1.60 % Cu 3.7m @ 1.36 % Cu 3.7m @ 0.54 % Cu 3.7m @ 0.54 % Cu 25.3m @ 1.98 % Cu 11.9m @ 1.06 % Cu 25.3m @ 1.98 % Cu 11.9m @ 1.06 % Cu 3.4m @ 4.09 % Cu 3.7m @ 0.94 % Cu 3.6m @ 1.14 % Cu 4.6m @ 1.17 % Cu 8.0m @ 1.11 % Cu 7.8m @ 1.24 % Cu 17.9m @ 1.44 % Cu 7.8m @ 1.72 % Cu 16.2m @ 2.57 % Cu 4.6m @ 0.75 % Cu 4.6m @ 0.75 % Cu		
Rapports équilibrés	lors of du te infér maxi NSA Prospect SOK2 SOK2 SOK2 SOK2 SOK2 SOK2 SOK2 SOK2	de la campagnemps et de l'épieur de 0,5 % cimale de 3 m a = Pas d'Analy Hole ID SOK2DD012 SOK2DD012 SOK2DD015 SOK2DD015 SOK2DD015 SOK2DD016 SOK2DD016 SOK2DD017 SOK2DD017 SOK2DD017 SOK2DD018 SOK2DD019 SOK2DD020 SOK2DD020 SOK2DD020 SOK2DD021 SOK2DD021 SOK2DD021 SOK2DD021 SOK2DD021 SOK2DD022 SOK2DD023 SOK2RC065 SOK2RC066 SOK2RC066	e de fora paisseur. The Cu total dmise. L'éses Signiff 536916 536916 536916 537224 537322 537322 537324 537225 537225 537225 537225 537272 537373 537177 537226 537272 537373 537123 537171 537224 537324 537324 537324	ge Sokord Toutes les al pour une emplacem icatives (8746217 8746217 8746217 8746217 8746217 8746116 8746116 8746116 8746116 8746074 8746074 8746181 8746181 8746182 8746182 8746199 8746069 8746069 8746069 8746238 8746212 8746208 8746199	she II (interce e large ent des 0,5% C RL 1366 1366 1364 1364 1364 1364 1366 1375 1375 1368 1366 1376 1360 1360 1360 1363 1375 1378 1377 1378	SOK2) ptions ur de f is trous ur de f is trous in ur de f is trous	2019, significorage est irrication by the control of the control o	sur la ficative minindiqué e long -63.0 -63.0 -55.5 -55.0 -55.0 -55.0 -54.9 -49.8 -49.8 -49.8 -50.1 -54.8 -48.7 -55.0 -50.0 -5	base de les sont rainale de 3 sur les caueur d'inti- Azimuth 356.3 356.3 356.3 356.3 358.2 0.3 0.3 0.3 0.3 359.7 359.8 359.8 359.8 359.8 359.8 359.8 359.8 359.8 359.8 359.8 359.8 359.8 357.8 357.8	la mesure de poprtées sur m, avec une artes de la sertervalle foré). Depth From 31.5 49.0 63.5 76.0 13.0 30.0 72.0 85.0 68.0 109.0 75.0 89.3 85.0 92.0 75.4 83.6 129.9 92.0 122.0 48.0 46.0 64.0 63.0 54.0	Ela teneur en cuivre la base d'un seuil dilution interne ction précédente. **Cu_Intercept_IT* 4.8m @ 0.72 % Cu 8.4m @ 0.74 % Cu 25.2m @ 2.50 % Cu 4.4m @ 1.60 % Cu 3.7m @ 1.36 % Cu 3.7m @ 0.54 % Cu 3.7m @ 0.54 % Cu 3.0m @ 0.62 % Cu 25.3m @ 1.98 % Cu 11.9m @ 1.06 % Cu 3.4m @ 4.09 % Cu 3.7m @ 0.94 % Cu 3.6m @ 1.14 % Cu 4.6m @ 1.17 % Cu 8.0m @ 1.11 % Cu 7.8m @ 1.24 % Cu 17.9m @ 1.44 % Cu 7.8m @ 1.72 % Cu 16.2m @ 2.57 % Cu 4.6m @ 0.75 % Cu 4.6m @ 0.78 % Cu 17.4m @ 0.78 % Cu		
Rapports équilibrés	lors of du te infér maxi NSA Prospect SOK2 SOK2 SOK2 SOK2 SOK2 SOK2 SOK2 SOK2	de la campagnemps et de l'épieur de 0,5 % cimale de 3 m a = Pas d'Analy Hole ID SOK2DD012 SOK2DD012 SOK2DD015 SOK2DD015 SOK2DD015 SOK2DD016 SOK2DD016 SOK2DD017 SOK2DD017 SOK2DD017 SOK2DD018 SOK2DD019 SOK2DD020 SOK2DD020 SOK2DD020 SOK2DD021 SOK2DD021 SOK2DD021 SOK2DD021 SOK2DD021 SOK2DD021 SOK2DD022 SOK2DD023 SOK2CO65 SOK2RC066 SOK2RC066 SOK2RC068 SOK2RC069	e de fora paisseur. The Cu total dmise. L'éses Signiff 536916 536916 536916 537224 537322 537322 537324 537324 53725 537275 537275 537272 537373 537177 537224 537324 537324 537373	ge Sokord Toutes les al pour une emplacem icatives (8746217 8746217 8746217 8746217 8746217 8746116 8746116 8746116 8746116 8746074 8746074 8746181 8746181 8746182 8746182 8746182 874609 8746069 8746069 8746069 8746221 8746208 8746298 8746299 8746241	she II (interce e large ent des 0,5% C RL 1366 1366 1364 1364 1364 1364 1366 1375 1375 1368 1366 1376 1360 1360 1363 1375 1378 1377 1378 1377	SOK2) ptions ur de f is trous ur de f is trous in ur de f is trous	2019, significorage est irrical model of the control of the contro	sur la ficative minindiqué e long -63.0 -63.0 -55.5 -55.0 -55.0 -55.0 -54.9 -49.8 -49.8 -49.8 -50.1 -54.8 -48.7 -55.0 -50.0 -5	base de les sont rainale de 3 sur les caueur d'inti- Azimuth 356.3 356.3 356.3 356.3 358.2 0.3 0.3 0.3 0.3 359.7 359.8 359.8 359.8 359.8 359.8 359.8 359.8 359.8 359.8 357.8 357.8 357.8	la mesure de poprtées sur m, avec une artes de la sertervalle foré). Depth From 31.5 49.0 63.5 76.0 13.0 30.0 72.0 85.0 68.0 109.0 75.0 89.3 85.0 92.0 75.4 83.6 129.9 92.0 122.0 48.0 46.0 64.0 63.0 54.0 35.0	Ela teneur en cuivre la base d'un seuil dilution interne ction précédente. Cu_Intercept_TT 4.8m @ 0.72 % Cu 8.4m @ 0.74 % Cu 25.2m @ 2.50 % Cu 4.4m @ 1.60 % Cu 3.7m @ 1.36 % Cu 3.7m @ 0.54 % Cu 3.7m @ 0.54 % Cu 3.0m @ 0.62 % Cu 25.3m @ 1.98 % Cu 11.9m @ 1.06 % Cu 3.4m @ 4.09 % Cu 3.4m @ 4.09 % Cu 3.6m @ 1.11 % Cu 4.6m @ 1.17 % Cu 8.0m @ 1.11 % Cu 7.8m @ 1.24 % Cu 17.9m @ 1.44 % Cu 7.8m @ 1.72 % Cu 16.2m @ 2.57 % Cu 4.6m @ 0.75 % Cu 17.4m @ 0.78 % Cu 17.4m @ 0.78 % Cu 12.8m @ 0.57 % Cu		
Rapports équilibrés	lors of du te infér maxi NSA Prospect SOK2 SOK2 SOK2 SOK2 SOK2 SOK2 SOK2 SOK2	de la campagnemps et de l'épieur de 0,5 % cimale de 3 m a = Pas d'Analy Hole ID SOK2DD012 SOK2DD012 SOK2DD015 SOK2DD015 SOK2DD015 SOK2DD016 SOK2DD016 SOK2DD017 SOK2DD017 SOK2DD017 SOK2DD018 SOK2DD019 SOK2DD020 SOK2DD020 SOK2DD020 SOK2DD021 SOK2DD021 SOK2DD021 SOK2DD021 SOK2DD021 SOK2DD022 SOK2DD023 SOK2RC065 SOK2RC066 SOK2RC066	e de fora paisseur. Te de Cu tota dmise. L'e ses Signiff 536916 536916 536916 537224 537322 537322 537324 537225 537225 537225 537225 537272 537373 537177 537226 537272 537373 537123 537171 537224 537324 537324	ge Sokord Toutes les al pour une emplacem icatives (8746217 8746217 8746217 8746217 8746217 8746116 8746116 8746116 8746116 8746074 8746074 8746181 8746181 8746182 8746182 8746199 8746069 8746069 8746069 8746238 8746212 8746208 8746199	she II (interce e large ent des 0,5% C RL 1366 1366 1364 1364 1364 1364 1366 1375 1375 1368 1366 1376 1360 1360 1360 1363 1375 1378 1377 1378	SOK2) ptions ur de f is trous ur de f is trous in ur de f is trous	2019, significorage est irrication by the control of the control o	sur la ficative minindiqué e long -63.0 -63.0 -55.5 -55.0 -55.0 -55.0 -54.9 -49.8 -49.8 -49.8 -50.1 -54.8 -48.7 -55.0 -50.0 -5	base de les sont rainale de 3 sur les caueur d'inti- Azimuth 356.3 356.3 356.3 356.3 358.2 0.3 0.3 0.3 0.3 359.7 359.8 359.8 359.8 359.8 359.8 359.8 359.8 359.8 359.8 359.8 359.8 359.8 357.8 357.8	la mesure de poprtées sur m, avec une artes de la sertervalle foré). Depth From 31.5 49.0 63.5 76.0 13.0 30.0 72.0 85.0 68.0 109.0 75.0 89.3 85.0 92.0 75.4 83.6 129.9 92.0 122.0 48.0 46.0 64.0 63.0 54.0	la teneur en cuivre la base d'un seuil dilution interne ction précédente.		

Critères	Commen	taire												
	de l tem limi inte préd	• Le tableau ci-dessous présente la liste exhaustive des interceptions significatives de cobalt obtenues lors de la campagne de forage Sokoroshe II (SOK2) 2019, sur la base de la mesure de la teneur en cobalt, du temps et de l'épaisseur. Toutes les interceptions significatives sont rapportées sur la base d'une teneur limite inférieure de 0,2 % de Co total pour une largeur de forage minimale de 3 m, avec une dilution interne maximale de 3 m admise. L'emplacement des trous est indiqué sur les cartes de la section précédente. NSA = Pas d'Analyses Significatives (<0,2% Co ou <3m de longueur d'intervalle foré).												
	Prospect		E	N	RL		Type	_		DH_From	Co_intercept_TT			
	SOK2	SOK2DD012	536916	8746217	1366	124.0	DD	-63.0	356.3	80.9	4.9m @ 1.05 % Co			
	SOK2	SOK2DD014	537224	8746108	1364	131.4	DD	-55.5	358.2	-	NSA			
	SOK2	SOK2DD015	537322	8746116	1364	107.3	DD	-55.0	0.3	30.0	43.3m @ 1.09 % Co			
	SOK2	SOK2DD016	537324	8746074	1360	130.7	DD	-54.9	359.7	60.0	30.4m @ 0.85 % Co			
	SOK2	SOK2DD016	537324	8746074	1360	130.7	DD	-54.9	359.7	109.0	20.0m @ 0.74 % Co			
	SOK2	SOK2DD017	537225	8746181	1375	126.8	DD DD	-49.8 -50.1	359.8		NSA NSA			
	SOK2 SOK2	SOK2DD018 SOK2DD019	537327 537362	8746160	1368 1366	130.3	DD	-50.1	359.8 0.7	-	NSA NSA			
	SOK2	SOK2DD019 SOK2DD020	537362	8746161 8746182	1376	130.0	DD	-50.4	359.6	-	NSA NSA			
	SOK2	SOK2DD020	537226	8746070	1360	140.0	DD	-56.1	1.9	129.9	2.6m @ 0.58 % Co			
	SOK2	SOK2DD021	537272	8746069	1360	132.4	DD	-54.8	359.8	97.0	32.6m @ 0.70 % Co			
	SOK2	SOK2DD023	537373	8746117	1363	120.0	DD	-48.7	359.3	50.0	18.2m @ 1.91 % Co			
	SOK2	SOK2RC065	537123	8746238	1375	85.0	RC	-55.0	357.8	-	NSA			
	SOK2	SOK2RC066	537171	8746212	1378	100.0	RC	-50.0	357.8	-	NSA			
	SOK2	SOK2RC067	537224	8746208	1377	95.0	RC	-50.0	357.8	-	NSA			
	SOK2	SOK2RC068	537324	8746199	1378	100.0	RC	-50.0	357.8	-	NSA			
	SOK2	SOK2RC069	537176	8746241	1377	65.0	RC	-50.0	357.8	-	NSA			
	SOK2	SOK2RC070	537222	8746238	1377	60.0	RC	-55.0	357.8	-	NSA			
	SOK2	SOK2RC071	537383	8746201	1368	84.0	RC	-50.0	357.8	-	NSA			
	SOK2	SOK2RC072	537122	8746261	1375	30.0	RC	-55.0	357.8	-	NSA			
Autres données d'exploration significatives	 Des La c lithe lithe Géo Géo 	lithologies allant de l'unité stratigraphique de Roan, la principale roche hôte, à la minéralisation. Des lithologies plus jeunes ont également été relevées dans les formations de Nguba et de Kundelungu.												
Poursuite des travaux	• D'au	utres activités o	Forages	ues pour la géotechnic létaillées su	ques et	géo-hy				ssements.				
		0	Mise à jo	our de la D	éclaratio	n de l'	Impad	t Envir	onnemer	ntal et Soci	ial.			

JORC 2012 TABLEAU 1 - ACTIVITÉS D'EXPLORATION DE NAMBULWA

Les informations suivantes fournies dans le tableau 1 sont conformes aux exigences du Code JORC 2012 spécifiées par le "Tableau 1, section 1-3" du Code.

Tableau 1 Code JORC 2012 Tableau 1 Critères d'évaluation et de déclaration pour les activités d'exploration à Nambulwa

Critères	Commentaire
Section 1 Technique	l es d'échantillonnage et données
Techniques d'échantillonnage	 Une combinaison de forage à circulation inverse (RC), de forage au diamant (DD) et de carottage à l'air (AC) a été réalisée dans la zone du projet.
	 Les zones minéralisées dans la carotte de forage ont été identifiées sur la base de paramètres combinés, y compris la diagraphie lithologique et d'altération, la diagraphie minéralogique et les lectures pXRF ponctuelles systématiques. Les carottes de forage ont été échantillonnées à des intervalles nominaux de 1 m dans les zones minéralisées, tandis que les zones non minéralisées ont été échantillonnées à des intervalles allant jusqu'à 2-4 m. L'échantillonnage a été effectué en coupant longitudinalement les carottes de forage PQ et HQ à l'aide d'une scie à diamant automatique Almonte et en prélevant une demi-carotte,

Critères Commentaire la seconde étant conservée pour référence future. La carotte de forage PQ a été découpée en quartiers et échantillonnée. Les trois quarts de la carotte ont été conservés pour référence future. Des éclats de forage RC ont été collectés dans des échantillons en vrac d'un mètre provenant d'un cyclone monté sur une plate-forme. Des diagraphies lithologiques et minéralogiques, soutenues par des lectures pXRF ponctuelles et systématiques, ont été utilisées pour identifier les zones minéralisées et non minéralisées dans les fragments de forage RC. Les échantillons provenant des zones minéralisées ont été divisés par des cribleurs tous les 1m afin d'obtenir un échantillon représentatif (~2,5kg). Les échantillons provenant de zones non minéralisées ont été divisés en deux et regroupés par intervalles de 2 m ou, parfois, de 4 m. Les échantillons humides ont été séchés à l'air ambiant avant d'être divisés et mis en composites. • Des fragments de forage AC ont été collectés dans des échantillons en vrac de 1 m provenant d'un cyclone monté sur une plate-forme. Les échantillons des zones de minéralisation ont été divisés en deux pour obtenir un échantillon représentatif (~2,5 kg). Les échantillons provenant de zones visuellement non minéralisées et lithologiquement similaires ont été divisés en deux et composés à des intervalles de 3 m (poids d'environ 2,5 kg). Les échantillons humides ont été séchés à l'air ambiant avant d'être divisés et • Dans l'ensemble, 54 % des échantillons étaient inférieurs à 2 m, les échantillons minéralisés étant prélevés à des intervalles nominaux de 1 m. · Les échantillons ont été broyés, divisés et pulvérisés (>85 % passant à 75 µm) dans un laboratoire ALS sur le site de l'installation de carottage de MMG à Lubumbashi. 100 grammes de pulpe ont été envoyés aux laboratoires ALS accrédités par la SANAS à Johannesburg. · Les types d'échantillons, leur nature, leur qualité et les techniques de préparation des échantillons sont jugés appropriés par la personne compétente en fonction de la nature de la minéralisation au sein du Projet (minéralisation de métaux de base dans les sédiments). • Forage au diamant : Tailles PQ et HQ, avec triple tube pour maximiser la récupération. À la fin de chaque Techniques de forage, la carotte a été marquée d'une marque d'orientation à l'aide d'un outil REFLEX ACE. Une ligne forage d'orientation était ensuite tracée le long de l'axe de la carotte si deux marques d'orientation consécutives pouvaient être alignées en amarrant les pièces de la carotte. • Carottage à l'air : Un foret à lame a été utilisé pour forer un trou de 82 mm. Le cyclone a été nettoyé manuellement au début de chaque équipe, après tout échantillon humide et après chaque trou. L'air comprimé de la machine de forage a été utilisé pour nettoyer/souffler les matériaux des tiges AC, des tuvaux et du cyclone après chaque tige. • Forage à circulation inverse : Un foret à percussion a été utilisé pour forer un trou de 133 mm de diamètre. Le cyclone a été nettoyé manuellement au début de chaque équipe, après tout échantillon humide et après chaque trou. L'air comprimé de la machine de forage a été utilisé pour nettoyer/souffler les matériaux des tiges RC, des tuyaux et du cyclone après chaque tige. Récupération Le taux global de récupération des noyaux de DD a atteint en moyenne 83 % dans l'ensemble de la zone d'échantillons de du projet. Comme prévu, la récupération a chuté dans les sols non consolidés et très altérés. En dessous de 50 m, la récupération des carottes était en moyenne de 85 %, et en dessous de 100 m, la récupération des forage carottes était en moyenne de 89 %. • Les longueurs de forage réelles par rapport aux longueurs récupérées ont été enregistrées par le foreur et un technicien sur place à l'aide d'un mètre ruban. La précision des mesures n'était que de 1cm. Les taux de récupération des carottes ont été calculés lors de l'exportation de la base de données. · La récupération des échantillons lors du forage au diamant a été maximisée en utilisant les méthodes suivantes: Courses de forage courtes (~50cm) Utilisation d'additifs de forage, de boues et de produits chimiques pour améliorer les conditions des sols accidentés. Utilisation de la méthode du triple tube dans le carottier. Réduire la pression de l'eau pour éviter le lessivage des matériaux friables • Les taux de forage varient en fonction des conditions du sol réelles et prévues · Les pertes de carottes ont été enregistrées à travers la carotte et affectées aux intersections où des pertes visibles ont eu lieu. Des cavités ont été notées. • Le biais dû à la perte de carottes n'a pas été déterminé. • La récupération des déblais de forage RC et AC a été mesurée en pesant chaque sac d'échantillon de 1 m immédiatement après le prélèvement dans le cyclone. • Les retours d'échantillons pour les forages RC et AC ont été estimés à 62% et 63% respectivement. • La récupération des échantillons pendant le forage RC a été maximisée en utilisant les méthodes suivantes: Ajuster les pressions d'air à la condition du sol.

Critères	Commentaire										
	 Utiliser de nouvelles mèches à percussion et les remplacer lorsqu'elles présentent des signes d'usure. 										
Enregistrement	 Tous les échantillons de forage (carotte DD, fragments RC et AC) ont été enregistrés géologiquement à l'aide d'une interface GeoBank® Mobile et téléchargés dans une base de données Geobank®. 										
	 La diagraphie qualitative comprend la lithologie, le type de minéralisation, le type d'oxydation, le type de dégradation, la couleur et les types d'altération. La diagraphie quantitative comprend le pourcentage de minéraux de minéralisation, le pourcentage de minéraux d'altération et, dans le cas des carottes, des données RQD et structurelles ont été enregistrées. 										
	Tous les échantillons de carottes et de fragments ont été photographiés à l'état humide et sec.										
	100% des carottes et des fragments ont été enregistrés avec les informations ci-dessus.										
Techniques de sous-	 La carotte DD a été divisée en deux dans le sens longitudinal (taille HQ) ou en quatre (taille PQ) à l'aide d'une scie à diamants automatique Almonte. 										
échantillonnage et préparation	• Les longueurs des échantillons ont été coupées aussi près que possible des intervalles nominaux de 1 m tout en respectant les contacts géologiques. Les échantillons pesaient généralement ~2,5 kg.										
des échantillons	 Les échantillons RC et AC ont été prélevés sur un cyclone tous les mètres par un assistant de forage qualifié. Si l'échantillon était sec, il passait dans un cribleur et une fraction d'environ 2,5 kg était recueillie dans un sac en plastique transparent prénuméroté. Les matières résiduelles étaient échantillonnées et tamisées pour être collectées dans des bacs à éclats pour enregistrement et le reste était renvoyé dans le grand sac en tissu polyvalent (rejet en vrac). Le cribleur a été nettoyé à l'aide d'air comprimé ou d'une brosse propre et tapé à l'aide d'un maillet en caoutchouc. Si l'échantillon était humide, il était séché au soleil et à l'air avant d'être utilisé selon la procédure ci-dessus. 										
	 Pour les méthodes RC et AC, des doubles sur le terrain ont été insérés à un rythme d'environ 5 % pour garantir la précision de l'échantillonnage. 										
	 Les échantillons provenant de trous de forage individuels ont été envoyés en une seule expédition au laboratoire ALS à l'installation de carottage de MMG sur site à Lubumbashi. 										
	• Les échantillons ont été reçus, enregistrés sur la fiche d'échantillon, pesés et séchés à 120°C pendant 4 à 8 heures (ou plus) selon l'humidité au laboratoire de préparation des échantillons.										
	 Les échantillons ont été broyés et homogénéisés dans un broyeur à mâchoires jusqu'à ce qu'ils atteignent plus de 70 % en passant à 2 mm. Le broyeur à mâchoires a été nettoyé avec un blanc de quartz stérile après chaque échantillon broyé. 										
	 La taille de l'échantillon a été réduite à 1000 g dans un cribleur et pulvérisée dans un pulvérisateur LM2 à >85% en passant par 75 microns. Des contrôles de broyage QC ont été effectués en utilisant un tamisage humide à 75 microns sur 1 échantillon sur 10. 										
	 100 grammes de pulpe ont été envoyés aux laboratoires ALS accrédités par la SANAS à Johannesburg. Des doubles de broyage et de pulpe ont été soumis à des fins de QAQC. 										
	 Des matériaux de référence certifiés (teneur en cuivre élevée, moyenne et faible) ont également été insérés et soumis à l'ALS pour analyse à raison de 3 pour 30 échantillons. 										
	La taille de l'échantillon est appropriée à la granulométrie et à la répartition des minéraux d'intérêt.										
Qualité des	Tous les échantillons ont été envoyés au laboratoire ALS Chemex à Johannesburg										
données d'analyse et des	 Les échantillons ont été analysés à l'aide d'un procédé s'attaque à 4 acides avec finition ICP MS. Au total, 48 éléments ont été analysés. 										
tests de laboratoire	 Les dosages du cuivre soluble dans l'acide n'ont été effectués que lorsque le dosage du cuivre total était supérieur à 1 000 ppm. 										
	 Environ 15 % d'échantillons QAQC ont été incorporés, y compris des blancs, des doubles (terrain, broyage et pulpe) et du matériel de référence certifié par lot d'analyse d'échantillon. Les données QAQC ont été interrogées sans biais significatif ni problème de précision. 										
Vérification des	 Aucun outil géophysique, spectromètre ou instrument XRF portable n'a été utilisé à des fins d'estimation. Les intersections importantes ont été examinées par des employés compétents de MMG. 										
échantillonnages	 Les intersections importantes ont été examinées par des employes competents de minds. Aucun forage jumelé n'a été réalisé. 										
et des analyses	 Les données sont stockées dans une base de données SQL avec une interface Geobank®. 										
	Aucun ajustement des données d'analyse n'a été effectué.										
Localisation des points de	 Les positions prévues des colliers pour le forage au diamant et le forage RC ont été localisées à l'aide des appareils GPS portatifs avec une précision de ±5m. 										
données	 Après le forage, les positions réelles des colliers ont été levées à l'aide du DGPS (Geomax Zenith 25 Pro et Topcon Hiper II) et sont considérées comme étant de haute précision. 										
	Le système de quadrillage est en WGS84/UTM35S										
	Le contrôle topographique a été effectué au moyen d'un relevé aérien détaillé par drone.										

Critères	Commentaire
	 Le TN14 GYROCOMPASS™ a été utilisé pour aligner l'appareil de forage sur les angles d'azimut et de pendage corrects. Les levés de fond de trou ont été effectués à l'aide de l'instrument de levé REFLEX EZ-TRAC. Les levés de
	fond de trou n'ont pas été effectués sur les trous de forage RC et AC.
Espacement et répartition des données	 L'espacement des forages est variable selon les zones de prospection. Les données moyennes des trous de forage sont espacées de ~50 à 100m entre les sections de forage. Les trous sur les sections sont espacés de ~25 à 50 m.
	 Des composites de 2m ou 4m ont été pris dans des zones sans minéralisation visuelle (composites de 3m pour le forage AC)
	Des échantillons nominaux de 1 m ont été prélevés dans des zones de minéralisation.
	Aucune autre mise en composite d'échantillons n'a eu lieu.
Orientation des données par rapport à la structure	 Les forages DD et RC ont été principalement réalisés avec des pendages compris entre 45° et 60° pour recouper des minéralisations généralement à fort pendage. Les azimuts de forage étaient aussi proches que possible de l'orthogonalité de la minéralisation. Les trous de forage AC ont été forés verticalement.
géologique	De l'avis de la personne compétente, aucun biais n'a été introduit par la direction de forage.
Exemple de sécurité	 Les échantillons ont été transportés depuis le terrain et acheminés vers l'installation de traitement des échantillons à Lubumbashi pour y être découpés et préparés. Une camionnette à cabine simple a été utilisée pour le transport. De la mousse de polyéthylène, des bâches et des filets de fret ont été utilisés pour sécuriser le chargement et éviter un éventuel déplacement de la carotte pendant le transport.
	 Des échantillons de fragments de carottes RC ont été prélevés sur le terrain. Les échantillons de fragments ont été emballés dans un sac en plastique étiqueté avec une étiquette d'identification en plastique marquée.
	• Le sac en plastique a été attaché avec des câbles pour sécuriser l'échantillon et éviter toute contamination.
	 Un ensemble de 15 sacs d'échantillons en plastique a été emballé dans des sacs en tissu polyvalent étiquetés, prêts à être expédiés du terrain au laboratoire de préparation des échantillons à Lubumbashi.
	 Les documents de conditionnement sur le terrain et les fiches d'échantillon ont été préparés et envoyés avec les plateaux de carottes et les sacs en tissus polyvalents au laboratoire de préparation des échantillons à Lubumbashi.
	 Après la préparation des échantillons, des enveloppes à code-barres de 100-200 g de pulpe pour chaque échantillon ont été insérées dans des boîtes de ~35 enveloppes chacune, étiquetées avec l'ID d'expédition et la destination du laboratoire pour être envoyées par courrier DHL à ALS Chemex à Johannesburg.
	 Deux séries de doubles de 100-200g ont été insérées dans des boîtes étiquetées de ~35 enveloppes chacune, à stocker sur site dans des conteneurs de stockage.
	 L'expédition des pulpes de Lubumbashi aux laboratoires de SLA a été effectuée par les services de courrier DHL avec un numéro de bordereau de transport pour le suivi.
	 Le laboratoire de préparation des échantillons de Lubumbashi utilise le système ALS-Chemex LIM installé sur le site de la mine de Kinsevere, générant un ordre de travail unique pour chaque lot d'échantillons dans la chaîne analytique.
Audit et examens	Aucun audit ou examen externe des techniques d'échantillonnage et des données n'a été effectué.
Section 2 Commun	ication des résultats de l'exploration
Concessions minières et statut du régime foncier	 Le projet Nambulwa est situé sur la concession PE539 (100% Gécamines) en RDC. Le terrain a été acquis par MMG dans le cadre du contrat d'amodiation entre Kinsevere et la Gécamines. La concession est valable jusqu'au 3 avril 2024.
Exploration effectuée par	• L'Union Minière (UMHK) a exploré le projet Nambulwa dans les années 1920. L'UMHK a effectué des travaux de tranchées, de forage et de creusement de tunnels, principalement sur le site de Nambulwa Main.
d'autres parties	 La Gécamines a exploré le projet de Nambulwa dans les années 1990. Les travaux réalisés comprenaient la cartographie, le creusage et un forage limité à Nambulwa Main.
	 Anvil Mining a exploré le projet de Nambulwa entre septembre et décembre 2007 et a été la première entreprise à définir efficacement une ressource. La phase initiale d'exploration d'Anvil comprenait la cartographie géologique, l'échantillonnage de termitières, le forage AC (11 830 m), le forage RC (6 268 m) et le forage DD (668 m), axés sur le PE539 et les concessions environnantes. Une ressource non classée de 1,1 Mt de minerai à 3,3 % de Cu ou 35 000 t de cuivre a été estimée pour Nambulwa Main.
Géologie	 Les sédiments stratiformes abritent du cuivre et du cobalt. La minéralisation est hébergée par le supergroupe néoprotérozoïque du Katanga dans la stratigraphie R2
	(série des mines), R3 (Kansuki Fm), et R4 (Mwashya Fm).

Critères	Commentaire													
	 La minéralisation du cuivre est contrôlée à la fois sur le plan lithologique et structurel et se présente principalement sous forme de veines et de disséminations dans des unités dolomitiques, des schistes carbonés et de la dolomie massive ou laminée. L'oxyde de cuivre est principalement logé dans les unités dolomitiques, tandis que les sulfures (chalcocit digénite) sont logés dans l'unité de schiste noir. La minéralogie de l'oxyde de cuivre comprend la malact et d'autres oxydes noirs et ils sont parfois associés à une minéralisation élevée en Co. La minéralisation sulfures (chalcocite ± chalcopyrite-bornite) se trouve dans les niveaux plus profonds des gisements. 													
nformations sur es trous de orage		 Consultez le rapport technique de Nambulwa pour une liste exhaustive de toutes les informations sur les trous de forage du projet de Nambulwa. 												
Méthodes d'agrégation des données	 Des intersections significatives ont été signalées à un seuil inférieur de 0,5 % de Cu total sur une largeur minimale de 3 m, avec une dilution interne maximale de 3 m autorisée. Les équivalents en cuivre n'ont pas été utilisés dans la communication des résultats de l'exploration. 													
Relation entre la argeur de minéralisation et es longueurs d'interception		s les résultats Jélisées.	sont prése	ntés sous forr	ne d'estir	mation	s de l	a larg	eur réelle	e des zone	s minéralisées			
Diagrammes	• Se re	éférer aux car	tes et aux o	coupes transv	ersales da	ns le t	texte (de ce	rapport.					
	les i large des ou <	forage Nambulwa 2019, sur la base de la mesure de la teneur en cuivre, du temps et de l'épaisseur. Toutes les interceptions significatives sont rapportées sur la base d'un seuil inférieur de 0,5 % de Cu total pour une largeur de forage minimale de 3 m, une dilution interne maximale de 3 m étant admise. L'emplacement des trous est indiqué sur les cartes de la section précédente. NSA = Pas d'Analyse Significative (<0,5% Cu ou <3m de longueur d'intervalle foré). Prospect Hole_ID E N RL EOH Type Dip Azimuth DH_From Cu_Intercept_TT												
	NAM	NAMRC015	557014	8768210	1241	120	RC	-50	42.8	53.0	26.7m @ 3.93 % Cu			
	NAM	NAMRC020	556847	8768319	1242	80	RC	-50	42.8	25.0	25.5m @ 2.59 % Cu			
	DZ	NAMRC032	555882	8768040	1226	40	RC	-51	261.8	9.0	26.2m @ 3.37 % Cu			
	NAM	NAMRC022	556879	8768359	1263	85	RC	-52	220.8	18.0	30.0m @ 1.92 % Cu			
	DZ	NAMRC029	555904	8768043	1226	48	RC	-50	262.8	18.0	29.2m @ 2.78 % Cu			
	NAM NAM	NAMRC019 NAMRC019	556928 556928	8768263 8768263	1240 1240	198 198	RC RC	-50 -50	42.8 42.8	106.0 32.0	77.2m @ 0.74 % Cu 20.1m @ 3.14 % Cu			
	NAM	NAMRC051	557254	8767969	1266	55	RC	-55	127.8	18.0	26.8m @ 2.20 % Cu			
	NAM	NAMRC025	557204	8767943	1256	65	RC	-55	122.8	24.0	19.1m @ 2.23 % Cu			
	DZ	NAMRC046	555959	8767845	1228	54	RC	-45	251.8	44.0	7.9m @ 3.53 % Cu			
	NAM	NAMRC060	557185	8768006	1252	85	RC	-55	127.8	36.0	20.9m @ 1.58 % Cu			
	NAM	NAMRC026	557207	8767972	1256	75	RC	-55	122.8	20.0	20.0m @ 1.57 % Cu			
	NAM DZ	NAMRC021 NAMRC043	556762 555924	8768388 8767915	1236 1230	140 65	RC RC	-50 -50	42.8 71.8	60.0 46.0	15.7m @ 1.69 % Cu 18.4m @ 1.60 % Cu			
	DZ	NAMRC034	555869	8767951	1230	140	RC	-50	69.8	47.0	21.2m @ 1.02 % Cu			
	DZ	NAMRC037	555893	8767955	1228	80	RC	-50	69.8	22.0	27.8m @ 0.77 % Cu			
	NAM	NAMRC059	557207	8768003	1253	80	RC	-55	127.8	24.0	23.8m @ 1.21 % Cu			
	DZ	NAMRC028	555924	8768044	1225	65	RC	-50	262.8	37.0	10.6m @ 2.28 % Cu			
	NAM	NAMRC054	557230	8768020	1257	75	RC	-55	127.8	34.0	14.0m @ 1.94 % Cu			
	NAM Le ta fora	NAMRC021 ableau ci-dess ge de Nambu	556762 sous préser ulwa 2019, s	8768388 nte les 20 den	1236 nières inte	140 ercepti	RC ions d	-50 e cui	42.8 /re obten	44.0 ues lors d	e la campagne de de l'épaisseur.			
	pou	r une largeur	de forage r	ificatives sont minimale de 3 t indiqué sur l	m, avec	une di	lution	inter	ne maxin	nale de 3 r				

Critères Commentaire Type Dip Azimuth DH_From Cu_Intercept_TT Prospect NAMRC041 555965 8767880 1229 249.8 68.0 DΖ 90 RC -50 3.0m @ 0.67 % Cu NAM NAMRC054 557230 8768020 1257 75 RC -55 127.8 55.0 8768006 3.0m @ 0.59 % Cu NAM NAMRC060 557185 1252 85 RC -55 127.8 63.0 DΖ NAMRC034 555869 8767951 1228 RC -50 69.8 131.0 2.9m @ 0.53 % Cu NAM NAMRC017 556961 8768220 1239 110 RC -50 42.8 NSA NAMRC024 NAM 8767998 1249 75 RC -65 122.8 NSA 557166 NAMRC027 8768067 1224 DΖ 555909 45 RC -50 290.8 DΖ NAMRC031 555944 8768055 1224 70 RC -50 290.8 NSA DΖ NAMRC039 555928 8767968 1227 53 RC -50 69.8 NSA DΖ NAMRC044 555925 8767867 1232 35 RC -50 249.8 NSA 71.8 NSA DΖ NAMRC045 555950 8767925 1228 43 RC -50 NAMRC048 NSA DΖ 555933 8767805 1233 30 -50 251.8 RC NAM NAMRC050 557227 8767928 1259 55 -55 122.8 NSA RC NAMRC056 8767973 NSA NAM 557155 1247 80 RC -55 122.8 NAM NAMRC057 557193 8767920 1253 45 RC -55 122.8 NSA NAM NAMRC058 557169 8767936 1250 50 RC -55 122.8 NSA NAM NAMRC061 557294 8768013 1266 55 RC -50 167.8 NSA NAM NAMRC062 557269 8768021 1263 62 RC -55 127.8 NSA NAM NAMRC063 557244 8768040 1257 70 RC -55 127.8 NSA NAMRC064 557220 8768060 1252 80 -55 127.8 NSA NAM RC

Le tableau ci-dessous présente les 20 premières interceptions significatives de cobalt obtenues lors de la campagne de forage Nambulwa 2019, sur base de la mesure de la teneur en cobalt, du temps et de l'épaisseur. Toutes les interceptions significatives sont rapportées sur la base d'un seuil inférieur de 0,2 % de Co total pour une largeur de forage minimale de 3 m, une dilution interne maximale de 3 m étant admise. L'emplacement des trous est indiqué sur les cartes de la section précédente. NSA = Pas d'Analyses Significatives (<0,2% Co ou <3m de longueur d'intervalle foré).

Prospect	Hole_ID	E	N	RL	EOH	Туре	Dip	Azimuth	DH_From	Co_intercept_TT
DZ	NAMRC032	555882	8768040	1226	40	RC	-51	261.8	6.0	32.0m @ 0.70 % Co
DZ	NAMRC037	555893	8767955	1228	80	RC	-50	69.8	26.0	13.2m @ 0.37 % Co
NAM	NAMRC014	557037	8768234	1242	55	RC	-50	42.8	23.0	6.5m @ 0.73 % Co
DZ	NAMRC049	555933	8767787	1232	60	RC	-55	71.8	22.0	9.0m @ 0.37 % Co
NAM	NAMRC015	557014	8768210	1241	120	RC	-50	42.8	64.0	12.1m @ 0.32 % Co
DZ	NAMRC042	555948	8767871	1231	64	RC	-50	249.8	29.0	14.7m @ 0.25 % Co
NAM	NAMRC026	557207	8767972	1256	75	RC	-55	122.8	29.0	13.3m @ 0.28 % Co
DZ	NAMRC029	555904	8768043	1226	48	RC	-50	262.8	18.0	10.7m @ 0.33 % Co
NAM	NAMRC020	556847	8768319	1242	80	RC	-50	42.8	48.0	6.4m @ 0.39 % Co
DZ	NAMRC040	555899	8767906	1230	86	RC	-50	71.8	32.0	8.7m @ 0.39 % Co
DZ	NAMRC036	555919	8768020	1226	70	RC	-50	262.8	35.0	11.3m @ 0.22 % Co
NAM	NAMRC016	556980	8768251	1241	65	RC	-50	42.8	54.0	7.9m @ 0.30 % Co
DZ	NAMRC046	555959	8767845	1228	54	RC	-45	251.8	16.0	9.5m @ 0.26 % Co
DZ	NAMRC043	555924	8767915	1230	65	RC	-50	71.8	9.0	7.7m @ 0.37 % Co
DZ	NAMRC046	555959	8767845	1228	54	RC	-45	251.8	44.0	5.5m @ 0.42 % Co
NAM	NAMRC050	557227	8767928	1259	55	RC	-55	122.8	37.0	10.0m @ 0.29 % Co
DZ	NAMRC047	555962	8767821	1229	55	RC	-50	251.8	24.0	8.7m @ 0.22 % Co
DZ	NAMRC030	555929	8768059	1225	57	RC	-50	290.8	24.0	10.8m @ 0.23 % Co
DZ	NAMRC045	555950	8767925	1228	43	RC	-50	71.8	7.0	10.6m @ 0.25 % Co
NAM	NAMRC055	557180	8767955	1252	72	RC	-55	122.8	48.0	8.6m @ 0.29 % Co

• Le tableau ci-dessous présente les 20 dernières interceptions de **cobalt** obtenues lors de la campagne de forage Nambulwa 2019, sur base de la mesure de la teneur en cobalt, du temps et de l'épaisseur. Toutes les interceptions sont rapportées sur la base d'un seuil inférieur de 0,2 % de Co total pour une largeur de forage minimale de 3 m, une dilution interne maximale de 3 m étant admise. L'emplacement des trous est indiqué sur les cartes de la section précédente. NSA = Pas d'Analyses Significatives (<0,2% Co ou <3m de longueur d'intervalle foré).

Critères	Commentaire												
	Prospect	Hole_ID	E	N	RL	ЕОН	Туре	Dip	Azimuth	DH_From	Co_intercept_TT		
	DZ	NAMRC031	555944	8768055	1224	70	RC	-50	290.8	39.0	2.5m @ 0.24 % Co		
	NAM	NAMRC017	556961	8768220	1239	110	RC	-50	42.8	-	NSA		
	NAM	NAMRC019	556928	8768263	1240	198	RC	-50	42.8	-	NSA		
	NAM	NAMRC021	556762	8768388	1236	140	RC	-50	42.8	-	NSA		
	NAM	NAMRC022	556879	8768359	1263	85	RC	-52	220.8	-	NSA		
	NAM	NAMRC024	557166	8767998	1249	75	RC	-65	122.8	-	NSA		
	DZ	NAMRC027	555909	8768067	1224	45	RC	-50	290.8	-	NSA		
	DZ	NAMRC033	555966	8768025	1224	110	RC	-50	262.8	-	NSA		
	DZ	NAMRC035	555938	8768022	1225	90	RC	-50	262.8	-	NSA		
	DZ	NAMRC038	555891	8768018	1227	60	RC	-50	262.8	-	NSA		
	DZ	NAMRC048	555933	8767805	1233	30	RC	-50	251.8	-	NSA		
	NAM	NAMRC052	557228	8767985	1260	70	RC	-55	127.8	-	NSA		
	NAM	NAMRC056	557155	8767973	1247	80	RC	-55	122.8	-	NSA		
	NAM	NAMRC057	557193	8767920	1253	45	RC	-55	122.8	-	NSA		
	NAM	NAMRC058	557169	8767936	1250	50	RC	-55	122.8	-	NSA		
	NAM	NAMRC059	557207	8768003	1253	80	RC	-55	127.8	-	NSA		
	NAM	NAMRC062	557269	8768021	1263	62	RC	-55	127.8	-	NSA		
	NAM	NAMRC063	557244	8768040	1257	70	RC	-55	127.8	-	NSA		
	NAM NAM	NAMRC064 NAMRC065	557220 557187	8768060 8768013	1252 1252	80 85	RC RC	-55 -55	127.8 127.8	-	NSA NSA		
utres données ignificatives 'exploration	 Géophysique aérien - Levé TEMPEST, EM aérien, magnétique et radiométrique ont été réalisés à la fin de l'année 2013. L'inversion 3D des données EM a permis d'identifier un corps conducteur proéminent sur la partie ouest, centrale et est du projet. Une cartographie géologique a été réalisée en 2014 et 2017. Les résultats de la cartographie ont mis en évidence la présence des unités rocheuses géologiquement prometteuses qui sont les principales roches hôtes de la minéralisation. Des lithologies plus jeunes ont également été observées dans les formations de Nguba et de Kundelungu. Géochimie de surface : L'échantillonnage des termitières sur un quadrillage de 100 m x 100 m a été achevé en 2014, ce qui a permis d'identifier des zones d'anomalie du cuivre au sein du gisement. Les études géochimiques supplémentaires comprennent un échantillonnage du sol de 50m x 50m effectué en 2017. Géophysique aérienne - Levé Xcalibur, effectué en 2015 Magnétisme - efficace pour cartographier les domaines structurels et stratigraphiques Radiométrie - efficace pour cartographier les contrastes lithologiques et les domaines régolithiques. 												
		e IP et AMT au								résistifs en	profondeur.		
oursuite des	• D'au	tres activités	sont prévi	ues pour la	saison	d'expl	oration	2020 :					
ravaux		0		géo-hydro ation des i	5 1	es et gé	otechr	niques	pour les é	études d'ing	génierie et		
		0	Élaborat Social	ion de l'Etu	ıde de	Faisabi	lité et c	le la D	éclaration	de l'Impac	t Environnemental		

Tableau 3: Tableau complet de tous les résultats relatifs au **cuivre** de la campagne de forage de 2019 sur le Projet Nambulwa. Toutes les interceptions significatives sont rapportées sur la base d'un seuil inférieur de 0,5 % de Cu total sur une largeur minimale de 3 m, une dilution interne maximale de 3 m étant admise. Les équivalents en cuivre n'ont pas été utilisés dans le rapport des résultats de l'exploration. NSA = Pas d'Analyses Significatives (<0,5% Cu ou <3m de longueur d'intervalle foré).

Prospect	ID_Trou	E	N	RL	EOH	Туре	Prof	Azimuth	DH_De	Intercept_Cu_TT
NAM	NAMRC014	557037	8768234	1242	55	RC	-50	42.8	22.0	5.7m @ 1.73 % Cu
NAM	NAMRC015	557014	8768210	1241	120	RC	-50	42.8	53.0	26.7m @ 3.93 % Cu
NAM	NAMRC015	557014	8768210	1241	120	RC	-50	42.8	93.0	2.4m @ 1.33 % Cu
NAM	NAMRC016	556980	8768251	1241	65	RC	-50	42.8	28.0	2.9m @ 3.25 % Cu
NAM	NAMRC016	556980	8768251	1241	65	RC	-50	42.8	37.0	5.8m @ 1.12 % Cu
NAM	NAMRC017	556961	8768220	1239	110	RC	-50	42.8	-	NSA
NAM	NAMRC018	556949	8768284	1245	100	RC	-50	42.8	15.0	2.5m @ 1.17 % Cu
NAM	NAMRC019	556928	8768263	1240	198	RC	-50	42.8	32.0	20.1m @ 3.14 % Cu
NAM	NAMRC019	556928	8768263	1240	198	RC	-50	42.8	86.0	8.4m @ 1.73 % Cu
NAM	NAMRC019	556928	8768263	1240	198	RC	-50	42.8	106.0	77.2m @ 0.74 % Cu
NAM	NAMRC020	556847	8768319	1242	80	RC	-50	42.8	25.0	25.5m @ 2.59 % Cu
NAM	NAMRC021	556762	8768388	1236	140	RC	-50	42.8	44.0	8.7m @ 2.55 % Cu

Prospect	ID_Trou	E	N	RL	EOH	Туре	Prof	Azimuth	DH_De	Intercept_Cu_TT
NAM	NAMRC021	556762	8768388	1236	140	RC	-50	42.8	60.0	15.7m @ 1.69 % Cu
NAM	NAMRC021	556762	8768388	1236	140	RC	-50	42.8	121.0	6.1m @ 1.19 % Cu
NAM	NAMRC022	556879	8768359	1263	85	RC	-52	220.8	18.0	30.0m @ 1.92 % Cu
NAM	NAMRC022	556879	8768359	1263	85	RC	-52	220.8	67.0	4.1m @ 0.55 % Cu
NAM	NAMRC023	556784	8768406	1243	65	RC	-50	42.8	22.0	5.2m @ 1.71 % Cu
NAM	NAMRC023	556784	8768406	1243	65	RC	-50	42.8	45.0	4.0m @ 0.88 % Cu
NAM	NAMRC024	557166	8767998	1249	75	RC	-65	122.8	-	NSA
NAM	NAMRC025	557204	8767943	1256	65	RC	-55	122.8	24.0	19.1m @ 2.23 % Cu
NAM	NAMRC025	557204	8767943	1256	65	RC	-55	122.8	57.0	4.8m @ 1.31 % Cu
NAM	NAMRC026	557207	8767972	1256	75	RC	-55	122.8	20.0	20.0m @ 1.57 % Cu
DZ	NAMRC027	555909	8768067	1224	45	RC	-50	290.8	-	NSA
DZ	NAMRC028	555924	8768044	1225	65	RC	-50	262.8	37.0	10.6m @ 2.28 % Cu
DZ	NAMRC029	555904	8768043	1226	48	RC	-50	262.8	18.0	29.2m @ 2.78 % Cu
DZ	NAMRC030	555929	8768059	1225	57	RC	-50	290.8	32.0	9.9m @ 0.99 % Cu
DZ	NAMRC031	555944	8768055	1224	70	RC	-50	290.8	-	NSA
DZ	NAMRC032	555882	8768040	1226	40	RC	-51	261.8	9.0	26.2m @ 3.37 % Cu
DZ	NAMRC033	555966	8768025	1224	110	RC	-50	262.8	66.0	8.3m @ 0.53 % Cu
DZ	NAMRC034	555869	8767951	1228	140	RC	-50	69.8	47.0	21.2m @ 1.02 % Cu
DZ	NAMRC034	555869	8767951	1228	140	RC	-50	69.8	100.0	2.2m @ 1.92 % Cu
DZ	NAMRC034	555869	8767951	1228	140	RC	-50	69.8	110.0	13.2m @ 0.51 % Cu
DZ	NAMRC034	555869	8767951	1228	140	RC	-50	69.8	131.0	2.9m @ 0.53 % Cu
DZ	NAMRC035	555938	8768022	1225	90	RC	-50	262.8	41.0	7.3m @ 1.57 % Cu
DZ	NAMRC035	555938	8768022	1225	90	RC	-50	262.8	76.0	10.2m @ 0.60 % Cu
DZ	NAMRC036	555919	8768020	1226	70	RC	-50	262.8	24.0	4.5m @ 0.85 % Cu
DZ	NAMRC036	555919	8768020	1226	70	RC	-50	262.8	35.0	11.3m @ 1.01 % Cu
DZ	NAMRC037	555893	8767955	1228	80	RC	-50	69.8	22.0	27.8m @ 0.77 % Cu
DZ	NAMRC038	555891	8768018	1227	60	RC	-50	262.8	49.0	3.6m @ 1.59 % Cu
DZ	NAMRC039	555928	8767968	1227	53	RC	-50	69.8	-	NSA
DZ	NAMRC040	555899	8767906	1230	86	RC	-50	71.8	32.0	5.8m @ 1.43 % Cu
DZ	NAMRC040	555899	8767906	1230	86	RC	-50	71.8	61.0	5.8m @ 2.42 % Cu
DZ	NAMRC041	555965	8767880	1229	90	RC	-50	249.8	44.0	7.4m @ 1.28 % Cu
DZ	NAMRC041	555965	8767880	1229	90	RC	-50	249.8	57.0	3.3m @ 1.24 % Cu
DZ	NAMRC041	555965	8767880	1229	90	RC	-50	249.8	68.0	3.3m @ 0.70 % Cu
DZ	NAMRC041	555965	8767880	1229	90	RC	-50	249.8	76.0	6.6m @ 0.97 % Cu
DZ	NAMRC042	555948	8767871	1231	64	RC	-50	249.8	23.0	6.6m @ 0.62 % Cu
DZ	NAMRC042	555948	8767871	1231	64	RC	-50	249.8	59.0	4.1m @ 1.25 % Cu
DZ	NAMRC043	555924	8767915	1230	65	RC	-50	71.8	21.0	5.8m @ 0.77 % Cu
DZ	NAMRC043	555924	8767915	1230	65	RC	-50	71.8	46.0	18.4m @ 1.60 % Cu
DZ	NAMRC044	555925	8767867	1232	35	RC	-50	249.8	-	NSA
DZ DZ	NAMRC045	555950	8767925 8767845	1228	43	RC	-50	71.8	- 440	NSA 7.0m @ 3.53.% Cu
DZ DZ	NAMRC046	555959		1228	54 55	RC RC	-45 -50	251.8	44.0 47.0	7.9m @ 3.53 % Cu 4.7m @ 2.50 % Cu
DZ	NAMRC047	555962	8767821	1229 1233	30	RC	-50	251.8	- 47.0	4.7m @ 2.50 % Cu NSA
DZ	NAMRC048	555933 555933	8767805 8767787	1232	60		-55	251.8		
NAM	NAMRC049 NAMRC050	557227	8767928	1252	55	RC RC	-55 -55	71.8 122.8	41.0	6.3m @ 1.13 % Cu NSA
NAM	NAMRC050	557254	8767969	1266	55	RC	-55 -55	127.8	18.0	26.8m @ 2.20 % Cu
NAM	NAMRC052	557228	8767985	1260	70	RC	-55	127.8	19.0	21.8m @ 1.06 % Cu
NAM	NAMRC053	557271	8767990	1267	50	RC	-55	127.8	26.0	6.0m @ 1.36 % Cu
NAM	NAMRC054	557230	8768020	1257	75	RC	-55	127.8	34.0	14.0m @ 1.94 % Cu
NAM	NAMRC054	557230	8768020	1257	75	RC	-55	127.8	55.0	3.0m @ 0.67 % Cu
NAM	NAMRC055	557180	8767955	1252	72	RC	-55	122.8	48.0	20.1m @ 0.93 % Cu
NAM	NAMRC056	557155	8767973	1247	80	RC	-55	122.8	-	NSA
NAM	NAMRC057	557193	8767920	1253	45	RC	-55	122.8	-	NSA
NAM	NAMRC058	557169	8767936	1250	50	RC	-55	122.8	-	NSA
NAM	NAMRC059	557207	8768003	1253	80	RC	-55	127.8	24.0	23.8m @ 1.21 % Cu
NAM	NAMRC060	557185	8768006	1252	85	RC	-55	127.8	36.0	20.9m @ 1.58 % Cu
NAM	NAMRC060	557185	8768006	1252	85	RC	-55	127.8	63.0	3.0m @ 0.59 % Cu
NAM	NAMRC061	557294	8768013	1266	55	RC	-50	167.8	-	NSA
NAM	NAMRC062	557269	8768021	1263	62	RC	-55	127.8	-	NSA
NAM	NAMRC063	557244	8768040	1257	70	RC	-55	127.8	-	NSA
NAM	NAMRC064	557220	8768060	1252	80	RC	-55	127.8	-	NSA

Prospect	ID_Trou	E	N	RL	EOH	Type	Prof	Azimuth	DH_De	Intercept_Cu_TT
NAM	NAMRC065	557187	8768013	1252	85	RC	-55	127.8	51.0	9.9m @ 0.95 % Cu

Tableau 4: Tableau complet de tous les résultats relatifs au **cobalt** de la campagne de forage de 2019 sur le Projet Nambulwa. Toutes les interceptions significatives sont rapportées sur la base d'un seuil inférieur de 0,2 % de Co total sur une largeur minimale de 3 m, une dilution interne maximale de 3 m étant admise. NSA = Pas d'Analyses Significatives (<0,2% Co ou <3m de longueur d'intervalle foré).

D	ID T		N	D.I	FOLL	_	ъ. с	A	DU D	1.6 TT
Prospect	ID_Trou	E	N	RL	EOH	Type	Prof	Azimuth	DH_De	Intercept_Co_TT
NAM	NAMRC014	557037	8768234	1242	55	RC	-50	42.8	23.0	6.5m @ 0.73 % Co
NAM	NAMRC014	557037	8768234	1242	55	RC	-50	42.8	36.0	7.3m @ 0.27 % Co
NAM	NAMRC015	557014	8768210	1241	120	RC	-50	42.8	64.0	12.1m @ 0.32 % Co
NAM	NAMRC016	556980	8768251	1241	65	RC	-50	42.8	40.0	5.8m @ 0.30 % Co
NAM	NAMRC016	556980	8768251	1241	65	RC	-50	42.8	54.0	7.9m @ 0.30 % Co
NAM	NAMRC017	556961	8768220	1239	110	RC	-50	42.8	-	NSA
NAM	NAMRC018	556949	8768284	1245	100	RC	-50	42.8	26.0	5.0m @ 0.31 % Co
NAM	NAMRC018	556949	8768284	1245	100	RC	-50	42.8	38.0	2.5m @ 0.29 % Co
NAM	NAMRC019	556928	8768263	1240	198	RC	-50	42.8	-	NSA
NAM	NAMRC020	556847	8768319	1242	80	RC	-50	42.8	48.0	6.4m @ 0.39 % Co
NAM	NAMRC021	556762	8768388	1236	140	RC	-50	42.8	1	NSA
NAM	NAMRC022	556879	8768359	1263	85	RC	-52	220.8	ı	NSA
NAM	NAMRC023	556784	8768406	1243	65	RC	-50	42.8	30.0	5.2m @ 0.21 % Co
NAM	NAMRC024	557166	8767998	1249	75	RC	-65	122.8	-	NSA
NAM	NAMRC025	557204	8767943	1256	65	RC	-55	122.8	38.0	5.7m @ 0.33 % Co
NAM	NAMRC026	557207	8767972	1256	75	RC	-55	122.8	29.0	13.3m @ 0.28 % Co
DZ	NAMRC027	555909	8768067	1224	45	RC	-50	290.8	-	NSA
DZ	NAMRC028	555924	8768044	1225	65	RC	-50	262.8	14.0	4.4m @ 0.34 % Co
DZ	NAMRC029	555904	8768043	1226	48	RC	-50	262.8	18.0	10.7m @ 0.33 % Co
DZ	NAMRC030	555929	8768059	1225	57	RC	-50	290.8	24.0	10.8m @ 0.23 % Co
DZ	NAMRC031	555944	8768055	1224	70	RC	-50	290.8	39.0	2.5m @ 0.24 % Co
DZ	NAMRC032	555882	8768040	1226	40	RC	-51	261.8	6.0	32.0m @ 0.70 % Co
DZ	NAMRC033	555966	8768025	1224	110	RC	-50	262.8	1	NSA
DZ	NAMRC034	555869	8767951	1228	140	RC	-50	69.8	61.0	3.7m @ 0.34 % Co
DZ	NAMRC034	555869	8767951	1228	140	RC	-50	69.8	70.0	3.7m @ 0.34 % Co
DZ	NAMRC035	555938	8768022	1225	90	RC	-50	262.8	ī	NSA
DZ	NAMRC036	555919	8768020	1226	70	RC	-50	262.8	20.0	7.5m @ 0.25 % Co
DZ	NAMRC036	555919	8768020	1226	70	RC	-50	262.8	35.0	11.3m @ 0.22 % Co
DZ	NAMRC037	555893	8767955	1228	80	RC	-50	69.8	26.0	13.2m @ 0.37 % Co
DZ	NAMRC038	555891	8768018	1227	60	RC	-50	262.8	-	NSA
DZ	NAMRC039	555928	8767968	1227	53	RC	-50	69.8	7.0	4.5m @ 0.27 % Co
DZ	NAMRC040	555899	8767906	1230	86	RC	-50	71.8	32.0	8.7m @ 0.39 % Co
DZ	NAMRC041	555965	8767880	1229	90	RC	-50	249.8	44.0	4.1m @ 0.51 % Co
DZ	NAMRC041	555965	8767880	1229	90	RC	-50	249.8	58.0	5.7m @ 0.25 % Co
DZ	NAMRC042	555948	8767871	1231	64	RC	-50	249.8	19.0	3.3m @ 0.33 % Co
DZ	NAMRC042	555948	8767871	1231	64	RC	-50	249.8	29.0	14.7m @ 0.25 % Co
DZ	NAMRC043	555924	8767915	1230	65	RC	-50	71.8	9.0	7.7m @ 0.37 % Co
DZ	NAMRC044	555925	8767867	1232	35	RC	-50	249.8	3.0	2.0m @ 0.34 % Co
DZ	NAMRC045	555950	8767925	1228	43	RC	-50	71.8	7.0	10.6m @ 0.25 % Co
DZ	NAMRC046	555959	8767845	1228	54	RC	-45	251.8	16.0	9.5m @ 0.26 % Co
DZ	NAMRC046	555959	8767845	1228	54	RC	-45	251.8	44.0	5.5m @ 0.42 % Co
DZ	NAMRC047	555962	8767821	1229	55	RC	-50	251.8	24.0	8.7m @ 0.22 % Co
DZ	NAMRC048	555933	8767805	1233	30	RC	-50	251.8	-	NSA
DZ	NAMRC049	555933	8767787	1232	60	RC	-55	71.8	22.0	9.0m @ 0.37 % Co
NAM	NAMRC050	557227	8767928	1259	55	RC	-55	122.8	37.0	10.0m @ 0.29 % Co
NAM	NAMRC051	557254	8767969	1266	55	RC	-55	127.8	32.0	4.0m @ 0.27 % Co
NAM	NAMRC052	557228	8767985	1260	70	RC	-55	127.8	-	NSA
NAM	NAMRC053	557271	8767990	1267	50	RC	-55	127.8	31.0	5.0m @ 0.30 % Co
NAM	NAMRC053	557271	8767990	1267	50	RC	-55	127.8	42.0	4.0m @ 0.30 % Co
NAM	NAMRC054	557230	8768020	1257	75	RC	-55	127.8	42.0	4.0m @ 0.34 % Co
NAM	NAMRC055	557180	8767955	1252	72	RC	-55	122.8	48.0	8.6m @ 0.29 % Co
NAM	NAMRC056	557155	8767973	1247	80	RC	-55	122.8	-	NSA
14/7/141	147 (1411/0020	221 122	0.01313	1471	00	1.0	رر	122.0		INDA

Prospect	ID_Trou	E	N	RL	EOH	Туре	Prof	Azimuth	DH_De	Intercept_Co_TT
NAM	NAMRC057	557193	8767920	1253	45	RC	-55	122.8	-	NSA
NAM	NAMRC058	557169	8767936	1250	50	RC	-55	122.8	-	NSA
NAM	NAMRC059	557207	8768003	1253	80	RC	-55	127.8	-	NSA
NAM	NAMRC060	557185	8768006	1252	85	RC	-55	127.8	45.0	4.0m @ 0.26 % Co
NAM	NAMRC060	557185	8768006	1252	85	RC	-55	127.8	54.0	3.0m @ 0.28 % Co
NAM	NAMRC061	557294	8768013	1266	55	RC	-50	167.8	34.0	6.0m @ 0.28 % Co
NAM	NAMRC062	557269	8768021	1263	62	RC	-55	127.8	-	NSA
NAM	NAMRC063	557244	8768040	1257	70	RC	-55	127.8	-	NSA
NAM	NAMRC064	557220	8768060	1252	80	RC	-55	127.8	-	NSA
NAM	NAMRC065	557187	8768013	1252	85	RC	-55	127.8	-	NSA

Déclaration de conformité aux critères de Présentation des Rapports du Code JORC et Consentement à la Divulgation

Le présent rapport a été élaboré conformément aux directives définies dans l'Edition 2012 du Code Australasien pour la Communication des Résultats d'Exploration, des Ressources Minérales et des Réserves de Minerai ("Code JORC 2012").

Déclaration de la Personne compétente

Je soussigné, Marcus Tomkinson, confirme que je suis la personne compétente pour la section "Résultats de l'Exploration" du présent rapport et :

- J'ai lu et compris les exigences de l'Edition 2012 du Code Australasien pour la Communication des Résultats d'Exploration, des Ressources Minérales et des Réserves de Minerai (Code JORC, Edition 2012).
- Je suis une personne compétente au sens du Code JORC, Edition 2012, ayant cinq ans d'expérience en rapport avec le style de minéralisation et le type de gisement décrits dans le Rapport, et avec l'activité dont j'accepte la responsabilité.
- Je suis Membre de l'Institut Australasien des Mines et de la Métallurgie
- J'ai examiné les sections pertinentes des résultats d'exploration du présent Rapport auxquelles s'applique la présente Déclaration de Consentement.

Je suis employé à plein temps par MMG Ltd. au moment de l'estimation.

J'ai communiqué à la firme déclarante toute la nature de la relation entre moi et la société, y compris tout aspect qui pourrait être perçu par les investisseurs comme un conflit d'intérêts.

Je vérifie que les sections de ce Rapport relatives aux Résultats de l'Exploration sont basées sur et reflètent fidèlement et exactement, dans la forme et le contexte dans lesquels elles apparaissent, les informations contenues dans mes documents justificatifs relatifs aux Résultats de l'Exploration.

Consentement de la Personne Compétente

Conformément aux exigences de la Clause 9 du Code JORC Edition 2012 (Déclaration de Consentement Ecrit)

En ce qui concerne les sections de ce rapport dont je suis responsable, je consens à la publication des résultats de l'Exploration tels que présentés dans ce rapport :

Nom et Numéro de Membre

Marcus Tomkinson

Lieu de Résidence

23 Avril 2020

AUSIMM Membre 206648

Melbourne

Signature du Témoin : Nom et Lieu de Résidence du Témoin : (par exemple, ville/banlieue)

Blake Ericksen, Melbourne